



FUNDAÇÃO UNIVERSIDADE FEDERAL DE MATO GROSSO DO SUL  
PROGRAMA DE PÓS-GRADUAÇÃO EM CIÊNCIAS VETERINÁRIAS  
CURSO DE MESTRADO



**PESQUISA MOLECULAR E MICROSCÓPICA  
DE FILARÍDEOS EM CANINOS NO MUNICÍPIO DE CAMPO  
GRANDE, MATO GROSSO DO SUL, BRASIL**

**RODRIGO LEITE SOARES**

Campo Grande – MS  
2020

**RODRIGO LEITE SOARES**

**PESQUISA MOLECULAR E MICROSCÓPICA  
DE FILARÍDEOS EM CANINOS NO MUNICÍPIO DE CAMPO  
GRANDE, MATO GROSSO DO SUL, BRASIL**

*Molecular and microscopical research of filarids in canines from  
municipality of Campo Grande, Mato Grosso do Sul, Brazil*

**RODRIGO LEITE SOARES**

**Orientador: Carlos Alberto do Nascimento Ramos**

Dissertação apresentada ao Programa de Pós-Graduação em Ciências Veterinárias da Universidade Federal de Mato Grosso do Sul, como requisito parcial para obtenção do título de Mestre em Ciências Veterinárias.

Campo Grande – MS  
2020

“Rapadura é doce, mas num é mole não”  
Sabedoria popular

## **AGRADECIMENTOS**

Agradeço a Deus pela minha vida, minha essência e por iluminar meu caminho, trazendo oportunidades, aprendizado e, principalmente, amizades;

Aos meus pais, pelo amor incondicional, pela educação, valores de minha criação, e todo apoio/ incentivo aos meus estudos, trabalhos e projetos de vida;

A todos familiares e amigos, que sempre me apoiam e torcem pelo meu sucesso pessoal e profissional;

Ao meu orientador e professor Carlos Alberto do Nascimento Ramos. Agradeço pela amizade, paciência, oportunidades e ensinamentos, mas principalmente por ser uma das maiores referências de profissional e ser humano que tive o prazer de conhecer, e que com certeza lembrei por toda minha vida;

Aos professores, técnicos e amigos da Faculdade de Medicina Veterinária e Zootecnia da Universidade Federal de Mato Grosso do Sul. Muito obrigado por toda ajuda, apoio, companheirismo e amizade;

Aos professores e técnicos do Programa de Pós-Graduação em Ciências Veterinárias. Obrigado pelo conhecimento e ajuda durante todo o mestrado;

Aos funcionários do Centro de Controle de Zoonoses e da Secretaria Municipal de Saúde de Campo Grande- MS, pela parceria e auxílio nas coletas de amostras;

A Coordenação de Aperfeiçoamento de Pessoal de Nível Superior (CAPES), pela concessão de recursos financeiros;

A todos que, diretamente ou indiretamente, contribuíram para que a realização deste trabalho fosse possível.

---

## SUMÁRIO

---

<b>LISTA DE TABELAS.....</b>	vi
<b>LISTA DE FIGURAS.....</b>	vii
<b>RESUMO.....</b>	viii
<b>ABSTRACT.....</b>	ix
<b>CAPÍTULO 1.....</b>	10
<b>1. INTRODUÇÃO .....</b>	10
<b>2. OBJETIVOS.....</b>	11
2.1 OBJETIVOS GERAIS.....	11
2.2 OBJETIVOS ESPECÍFICOS.....	12
<b>3. REVISÃO DA LITERATURA.....</b>	12
3.1 FILARÍDEOS EM CANINOS.....	12
3.1.1 <i>Dirofilaria</i> .....	12
3.1.2 <i>Acanthocheilonema</i> .....	16
3.1.3 <i>Cercopithifilaria</i> .....	18
3.2 DIAGNÓSTICO DE FILARIOSE CANINA.....	20
3.2.1 Análise microscópica.....	20
3.2.2 Provas sorológicas.....	23
3.2.3 Provas moleculares.....	24
<b>4. REFERÊNCIAS BIBLIOGRÁFICAS .....</b>	26
<b>CAPÍTULO 2 .....</b>	30
Artigo 1- Filarids in canines from Midwest Brazil: Epidemiological and diagnostic aspects .....	30
Abstract.....	30
Introduction.....	31
Material and methods.....	31
Results and Discussion.....	32
Acknowledgment.....	35
References.....	35
<b>CAPÍTULO 3.....</b>	40
Artigo 2- Molecular detection of <i>Cercopithifilaria bainae</i> and other tick-borne pathogens in <i>Rhipicephalus sanguineus</i> s.l. isolated from dogs in Midwest Brazil.....	40
Abstract.....	41
Resumo.....	41

Introduction.....	42
Material and methods .....	43
Results and Discussion .....	44
Acknowledgment .....	47
References.....	47
<b>CAPÍTULO 4.....</b>	<b>54</b>
Artigo 3- Giant cutaneous cyst in a dog infected by <i>Cercopithifilaria bainae</i> .....	54
Abstract.....	55
Introduction.....	55
Materials and methods.....	56
Results.....	59
Discussion.....	59
Acknowledgment .....	61
References.....	62
<b>CAPÍTULO 5.....</b>	<b>67</b>
Artigo 4- Primeiro relato de dirofilariose canina ( <i>Dirofilaria immitis</i> ) em Campo Grande, Mato Grosso do Sul.....	67
Resumo.....	67
Introdução.....	68
Casuística.....	69
Discussão.....	71
Agradecimentos.....	74
Referências.....	74
<b>CAPITULO 6.....</b>	<b>76</b>
<b>CONSIDERAÇÕES FINAIS.....</b>	<b>76</b>
<b>ANEXOS.....</b>	<b>77</b>
Aprovação de Comitê de Ética de Uso Animal.....	77
Aprovação do Colegiado de Curso.....	78
Aprovação da Secretaria Municipal de Saúde de Campo Grande...	79
Autorização SisGen – Sistema Nacional de Gestão de Patrimônio Genético e do Conhecimento Tradicional Associado.....	80
Termo de Consentimento Livre e Esclarecido.....	81
Questionário Epidemiológico.....	82
Normas das Revistas.....	84

---

**LISTA DE TABELAS**

---

Tabela 1. Diferenças morfométricas e morfológicas das principais microfilárias em cães.....	22
---	----

## LISTA DE FIGURAS

---

Figura 1.	Diferença morfológica entre macho e fêmea de <i>Dirofilaria immitis</i> .....	13
Figura 2.	Microfilária de <i>Dirofilaria immitis</i> .....	14
Figura 3	Esquematização do ciclo de vida de <i>Dirofilaria immitis</i> .....	15
Figura 4	Microfilária de <i>Acanthocheilonema reconditum</i> .....	16
Figura 5	Ciclo de vida de <i>Acanthocheilonema reconditum</i> .....	17
Figura 6	Microfilária de <i>Cercopithifilaria bainae</i> .....	19
Figura 7	Ciclo de vida de <i>Cercopithifilaria bainae</i> .....	19
Figura 8	Microfilária de <i>Dirofilaria immitis</i> em esfregaço sanguíneo.....	21
Figura 9	Técnica de <i>Knott</i> modificado.....	22
Figura 10	Teste sorológico SNAP (ELISA) para detecção de antígenos de fêmeas adultas de <i>Dirofilaria immitis</i> .....	23
Figura 11	Teste sorológico de imunomigração rápida para detecção de antígenos de fêmeas adultas de <i>D. immitis</i> .....	24
Figura 12	Produtos de amplificação da PCR para detecção de fragmento do gene 12S rRNA de filarídeos, visualizados após eletroforese em gel de agarose 2%.	25

1 SOARES, R. L. Pesquisa molecular de filarídeos em caninos no município de Campo Grande, Mato  
2 Grosso do Sul, Brasil. 2020. Mestrado- Programa de Pós-Graduação em Ciências Veterinárias.  
3 Faculdade de Medicina Veterinária e Zootecnia, Universidade Federal de Mato Grosso do Sul,  
4 Campo Grande, MS. 2020.

5

## 6 RESUMO

7 Filarídeos em caninos incluem espécies cujo microfilárias circulam na corrente sanguínea (ex., *Dirofilaria*  
8 *immitis* e *Acantocheilonema reconditum*) ou habitam no tecido subcutâneo (ex, *Cercopithifilaria* spp. e  
9 *Onchocerca* spp.) O objetivo deste estudo foi avaliar a ocorrência de filarídeos em cães e seus potenciais  
10 hospedeiros artrópodes do município de Campo Grande, Mato Grosso do Sul, Brasil. Esta dissertação é  
11 composta por quatro artigos. Artigo 1- Objetivou investigar a ocorrência de infecções filariais em cães residentes  
12 em Campo Grande, Mato Grosso do Sul, Brasil. As amostras de sangue e pele de cães domiciliados ( $n = 80$ )  
13 foram microscopicamente (teste de Knott modificado e exame de sedimento de fragmento de pele) e  
14 molecularmente (PCR do gene 12S rRNA PCR) avaliados. Informações epidemiológicas foram obtidas por  
15 exame físico e questionário com os proprietários dos cães. O exame microscópico e molecular de amostras de  
16 sangue revelou que 5,0% (4/80) foram positivos para *D. immitis* em ambos os testes. Amostras de microfilárias  
17 dérmicas (todas identificadas como *Cercopithifilaria* sp.) foram detectadas em 42,5% (34/80) das amostras,  
18 considerando pelo menos um teste realizado. *Cercopithifilaria* sp. teve associação significativa com presença  
19 de carrapatos (*Rhipicephalus sanguineus*), acesso à rua e pequenos nódulos dérmicos. Foi observado  
20 excelente nível de concordância ( $Kappa = 0,759$ ) entre os dois métodos de diagnóstico (exame microscópico  
21 e PCR). O sequenciamento de DNA confirmou a identificação de *D. immitis* e *C. bainae* circulando no Mato  
22 Grosso do Sul. A PCR mostrou maior sensibilidade e serve para detectar e classificar espécies de microfilárias,  
23 mas a análise microscópica deve ser considerada como teste de triagem para detecção do gênero de filarídeos  
24 em cães. Considerando que, na área de estudo, *Rhipicephalus sanguineus* e mosquitos são prevalentes ao  
25 longo do ano, medidas preventivas devem ser adotadas para evitar a infestação por artrópodes e a infecção  
26 por filarioïdes. Artigo 2- O objetivo do presente estudo foi detectar *Cercopithifilaria bainae* e outros patógenos  
27 transmitidos por carrapatos e realizar a caracterização molecular do carrapato *Rhipicephalus sanguineus* s.l.  
28 coletado em cães. Carrapatos ( $n = 432$ , incluindo 8 larvas, 59 ninfas e 365 adultos) foram amostrados de cães  
29 domiciliados ( $n = 73$ ) residentes no município de Campo Grande, Mato Grosso do Sul (centro-oeste do Brasil).  
30 Todos os carrapatos foram identificados morfológicamente como *R. sanguineus*. O DNA genômico foi extraído  
31 em pools (três a cinco carrapatos por animal), seguido pela definição de haplótipos (com base no gene 16S  
32 rRNA) e pela investigação de patógenos (*Cercopithifilaria* sp., *Ehrlichia canis*, *Anaplasma platys*, *Hepatozoon*  
33 *canis*, *Babesia vogeli* e *Rickettsia* spp.). Os espécimes coletados foram identificados como haplótipos A e B de  
34 *R. sanguineus*. Foram detectados DNA de *Cercopithifilaria bainae* (43,83%; 32/73), *Ehrlichia canis* (24,65%;  
35 18/73), *Anaplasma platys* (19,17%; 14/73) e *Hepatozoon canis* (5,47%; 4/73). A identidade dos patógenos foi  
36 confirmada por análise de sequência de DNA. O presente estudo confirma a circulação dos haplótipos A e B  
37 de *R. sanguineus* no estado de Mato Grosso do Sul e sua importância como vetor de vários patógenos de  
38 interesse veterinário. Finalmente, este é o primeiro relato de *C. bainae* em carrapatos na região centro-oeste  
39 do Brasil. Artigo 3- O objetivo do presente estudo é relatar um caso de cisto cutâneo gigante em um cão  
40 infectado por *Cercopithifilaria bainae*. Um cão sem raça definida, 9 anos, macho, deu entrada em uma clínica  
41 veterinária de Dourados, Mato Grosso do Sul (Centro-Oeste do Brasil) com uma massa na região lombossacral.  
42 No exame clínico, observou-se que a massa tinha aproximadamente 15 cm de diâmetro, com consistência  
43 flutuante e presença de fluido viscoso; a lesão, no entanto, era não ulcerada e não aderente. O exame citológico  
44 revelou presença de celularidade linfocitária moderada e macrófagos espumosos, eritrofagocitose e presença  
45 de numerosas microfilárias. Após análise morfológica e molecular do gene rRNA 12S, as microfilárias foram  
46 identificadas como *C. bainae*, exibindo 99-100% de identidade com as seqüências de DNA disponíveis no  
47 Genbank. A cirurgia foi recomendada e após a ressecção do cisto gigante, o cão foi tratado com ivermectina  
48 por duas semanas e o quadro clínico foi completamente resolvido. Com base na presença de microfilárias no  
49 líquido do cisto, o papel desse filarídeo no determinismo da lesão foi discutido. Artigo 4- O presente trabalho  
50 tem por objetivo relatar o primeiro caso de dirofilariose canina em Campo Grande, Mato Grosso do Sul. No dia  
51 6 de setembro de 2018, um canino, fêmea, poodle, de 14 anos de idade, foi atendido numa clínica veterinária  
52 particular de Campo Grande- MS, apresentando hipertensão arterial e eosinofilia. O animal foi medicado e após  
53 nove dias, retornou com piora do quadro clínico (emese, melena, taquicardia, taquipneia). Mais exames  
54 laboratoriais foram solicitados, em que observou-se alterações cardíacas, hepáticas, renais e pancreáticas,  
55 além da presença de microfilárias, identificadas morfológicamente como *D. immitis* e confirmada espécie por  
56 teste sorológico e molecular. O animal foi internado, mas veio a óbito no quinto dia. Apesar de Campo Grande  
57 tratar-se de uma área não endêmica, o animal possui relato de viagem para região litorânea, sem realização  
58 de tratamento profilático. Portanto, representa um caso alótone de dirofilariose na região.

59

60 *Keywords:* *A. reconditum*, *C. bainae*, *D. immitis*

61 SOARES, R. L. Molecular research of filariids in canines from municipality of Campo Grande, Mato  
 62 Grosso do Sul, Brazil. 2020. Master's degree- Programa de Pós-Graduação em Ciências  
 63 Veterinárias. Faculdade de Medicina Veterinária e Zootecnia, Universidade Federal de Mato Grosso  
 64 do Sul, Campo Grande, MS. 2020.

## ABSTRACT

Canine filarioids include microfilariae species that circulate in bloodstream (e.g., *Dirofilaria immitis* and *Acanthocheilonema reconditum*) or dwell into the subcutaneous tissue (e.g., *Cercopithifilaria* spp. and *Onchocerca* spp.). The aim of this dissertation was to evaluate the occurrence of filariids in dogs and their potential arthropod hosts from municipality of Campo Grande, Mato Grosso do Sul, Brazil. This dissertation consists of four articles. Article 1- The aim of this study was to investigate the occurrence of filarial infections in dogs from Campo Grande, State of Mato Grosso do Sul, Brazil. Blood and skin samples of domiciled dogs ( $n = 80$ ) were microscopically (modified Knott's test and skin fragment sediment examination) and molecularly (12S rRNA gene PCR) evaluated. Epidemiological information was obtained by physical examination and questionnaire with dog's owner. Microscopic and molecular examination of blood samples revealed that 5.0% (4/80) were positive for *D. immitis* in both tests. Specimens of dermal microfilariae (all identified as *Cercopithifilaria* sp.) were detected in 42.5% (34/80) of samples considering at least one test performed. *Cercopithifilaria* had significant association with tick presence (*Rhipicephalus sanguineus*), street access and small subcutaneous nodule. Good concordance level (Kappa= 0.759) between the two diagnostic methods (microscopic examination and PCR) was observed. DNA sequencing confirmed identification of *D. immitis* and *C. bainae* circulating in Mato Grosso do Sul. PCR showed more sensitivity and serves to detect and classify microfilaria species, but the microscopic analysis should be considered as screening test for detection of filariids genus in dogs. Considering that in the area of study *Rhipicephalus sanguineus* and mosquitoes are prevalent throughout the year, preventive measures should be disposed in order to avoid arthropods infestation and filarioids infection. Article 2- The aim of the present study was to detect *Cercopithifilaria bainae* and other tick-borne pathogens and to perform molecular characterization of the tick *Rhipicephalus sanguineus* s.l. collected from dogs. Ticks ( $n= 432$ , including 8 larvae, 59 nymphs, and 365 adults) were sampled from domiciled dogs ( $n= 73$ ) living in Campo Grande, Mato Grosso do Sul (Midwest Brazil). All ticks were morphologically identified as *R. sanguineus*. Genomic DNA was extracted in pools (three to five ticks per animal) and was used for definition of *R. sanguineus* haplotypes (based on 16S rRNA analysis) and pathogen identification (*Cercopithifilaria* sp., *Ehrlichia canis*, *Anaplasma platys*, *Hepatozoon canis*, *Babesia vogeli* and *Rickettsia* spp.). *Rhipicephalus sanguineus* specimens were identified as haplotypes A and B. DNA of *Cercopithifilaria bainae* (43.83%; 32/73), *Ehrlichia canis* (24.65%; 18/73), *Anaplasma platys* (19.17%; 14/73), and *Hepatozoon canis* (5.47%; 4/73) was detected. The identity of pathogens was confirmed by DNA sequence analysis. The present study confirms the presence of haplotypes A and B of *R. sanguineus* in the state of Mato Grosso do Sul and its importance as a vector of several pathogens of veterinary concern. Finally, this is the first report to identify *C. bainae* in ticks in the Midwestern region of Brazil. Article 3- The aim of this study was describe a case of giant cutaneous cyst in a dog infected by *Cercopithifilaria bainae*. A 9-year-old male mixed-breed dog presented to a veterinary facility in Dourados, Mato Grosso do Sul (Midwest Brazil) with a mass in the lumbosacral region. On clinical examination, the mass was observed to be approximately 15 cm in diameter with a floating consistency and conspicuous presence of viscous fluid; the lesion, however, was non-ulcerated and non-adherent. Cytological examination revealed the presence of moderate lymphocyte cellularity and sputum macrophages, erythrophagocytosis and the presence of numerous microfilariae. After morphological and molecular analysis of the 12S ribosomal RNA gene, the microfilariae were identified as *C. bainae*, exhibiting 99-100% identity with DNA sequences available from Genbank. Surgery was recommended and after resection of the giant cyst, the dog was treated with ivermectin for two weeks and the clinical condition was completely resolved. Based on the presence of microfilariae in the cyst fluid the role of this filarioid in the determinism of the lesion has been discussed. Article 4- The present study aims to report the first case of canine heartworm disease in Campo Grande, Mato Grosso do Sul. On September 6, 2018, a 14-year-old female canine, poodle, was seen at a private veterinary clinic in Campo Grande- MS, with arterial hypertension and eosinophilia. The animal was medicated and, after nine days, returned with a worsening of the clinical condition (emesis, melena, tachycardia, tachypnea). Further laboratory tests were requested, in which cardiac, hepatic, renal and pancreatic changes were observed, in addition to the presence of microfilariae, morphologically identified as *D. immitis* and a species confirmed by serological and molecular testing. The animal was hospitalized, but died on the fifth day. Although Campo Grande is a non-endemic area, the animal has reports of travel to the coastal region, without prophylactic treatment. Therefore, it represents an allochthonous case of heartworm disease in the region.

116  
 117 *Keywords:* *A. reconditum*, *C. bainae*, *D. immitis*

118

## CAPÍTULO 1

119

### 120 1. INTRODUÇÃO

121

122 A filariose canina é uma parasitose de distribuição mundial cujos agentes  
123 etiológicos são filarídeos (Filarioidea: Onchocercidae). Mundialmente, as espécies  
124 mais comuns parasitando cães são pertencentes aos gêneros *Dirofilaria*,  
125 *Acantocheloneema* e *Cercopithifilaria* (BAIN et al., 2008; OTRANTO et al., 2012).

126 *Dirofilaria immitis* é a espécie mais estudada em cães, devido a seu potencial  
127 patogênico e importância zoonótica (MILANEZ DE CAMPOS, 1997), sendo  
128 transmitida por culicídeos (Nematocera: Culicidae) dos gêneros *Aedes*, *Culex* e  
129 *Anopheles* (ANDERSON, 2000). A forma adulta de *D. immitis* se alimenta de  
130 plasma e pode ser encontrada no ventrículo direito e nas artérias pulmonares dos  
131 cães causando tosse, dispneia, fraqueza, ascite, anorexia, desidratação, perda de  
132 peso e óbito (SEVIMLI et al., 2007).

133 No gênero *Acanthocheloneema*, *A. reconditum* é a principal espécie em cães,  
134 sendo transmitido por pulgas e piolhos (OLMEDA-GARCÍA et al., 1993; DANTAS-  
135 TORRES E FIGUEIREDO, 2007). Suas formas adultas habitam o tecido  
136 subcutâneo e muscular do hospedeiro definitivo, enquanto as microfilárias são  
137 encontradas principalmente na circulação sanguínea periférica. Normalmente a  
138 infecção por *A. reconditum* destaca-se por apresentar caráter transitório e sem  
139 consequências patológicas, sendo diagnosticada na maioria das vezes de forma  
140 acidental (KNIGHT, 1987). No entanto, já foram relatados presença de anemia  
141 hemolítica acompanhada de distúrbios hepáticos e renais em cães parasitados por  
142 *A. reconditum* (HASHEM E BADAWY, 2008).

143 No Brasil, estudos e relatos de filarídeos em cães são normalmente restritos  
144 as espécies encontradas principalmente no sangue, como *D. immitis* e *A.*  
145 *reconditum*. Entretanto *Cercopithifilaria bainae* também já foi descrito no Rio de  
146 Janeiro (ALMEIDA e VICENTE, 1984) e registrado no Nordeste do país (RAMOS,  
147 et al., 2016). Trata-se de um filarídeo cujo suas formas evolutivas estão presentes  
148 na derme ou tecido subcutâneo em tem como principal transmissor conhecido o  
149 carapato *Rhipicephalus sanguineus* sensu lato (OTRANTO et al. 2011; BRIANTI

150 et al., 2012). Sua patogenicidade é desconhecida até então, sendo considerada de  
151 menor importância quando comparada com *D. immitis*. Entretanto, há relatos de  
152 que larvas de *C. bainae* possam induzir alterações locais como dermatite intersticial  
153 perivascular (OTRANTO et al., 2012; BOYD et al., 2019) e sistêmicas como  
154 poliartrite crônica em cães (GABRIELLI et al., 2014).

155 A circulação de cães domésticos infectados é associado como um dos  
156 principais modos de introdução e disseminação dos filarídeos (Ex. *Dirofilaria*,  
157 *Acantocheloneema* e *Cercopithifilaria*) para áreas antes livres (DA SILVA e  
158 LANGONI, 2009). A diferenciação entre as espécies de filarídeos nos cães pode  
159 ser realizada mediante detecção suas microfilárias presentes em amostras  
160 (sanguíneas e/ou pele), seguido de análises microscópicas e/ou moleculares  
161 (KNOTT, 1939; OTRANTO et al., 2012; RAMOS et al., 2016).

162 O Brasil, em seu amplo território, possui características importantes para  
163 transmissão dos filarídeos que acometem cães. O clima, o desmatamento e a falta  
164 de saneamento básico favorecerem o desenvolvimento biológico e a manutenção  
165 de uma elevada população de vetores em potencial no meio urbano (DA SILVA E  
166 LANGONI, 2009). Em Campo Grande- MS, no ano de 2016, observou-se a  
167 presença de *C. bainae* infectando cães atendidos no Hospital Veterinário da  
168 Universidade Federal de Mato Grosso do Sul. O diagnóstico foi confirmado por meio  
169 de reação em cadeia da polimerase (PCR) e sequenciamento de DNA. No entanto,  
170 a magnitude, importância clínica e epidemiológica, para essa e outras espécies de  
171 filarídeos, não são conhecidas na região.

172 Dessa forma, o presente estudo tem por objetivo avaliar a ocorrência de  
173 filarídeos em cães e seus potenciais hospedeiros artrópodes no município de  
174 Campo Grande, Mato Grosso do Sul, e definir aspectos clínicos e epidemiológicos  
175 dos mesmos na região.

176

## 177 **2. OBJETIVOS**

178

### 179 **2.1. OBJETIVO GERAL**

180 Avaliar a ocorrência de filarídeos em cães domésticos e seus potenciais  
181 hospedeiros artrópodes no município de Campo Grande- MS, Brasil.

182

183 **2.2. OBJETIVOS ESPECÍFICOS**

- 184 • Identificar as espécies de filarídeos presentes em amostras de sangue e pele  
185 de cães;
- 186 • Avaliar aspectos clínico-epidemiológicos de cães infectados por filarídeos no  
187 município de Campo Grande, MS;
- 188 • Comparar a eficiência dos métodos diagnósticos (análise microscópica e técnica  
189 de PCR);
- 190 • Identificar filarídeos e outros patógenos em vetores que parasitam o animal;
- 191 • Relatar casos clínicos de cães acometidos por filarídeos.

192

193 **3. REVISÃO DA LITERATURA**

194

195 **3.1. FILARÍDEOS EM CANINOS**

196 A filariose canina é uma parasitose de ampla distribuição mundial cujos  
197 agentes etiológicos são vermes filarioides pertencentes à ordem Spirurida e família  
198 Onchocercidae (ANDERSON, 2000; OTRANTO et al., 2011). A família  
199 Onchocercidae é composta por cerca de 80 gêneros, que acometem uma gama de  
200 hospedeiros e podem causar doenças graves nos animais e no homem, em regiões  
201 tropicais e subtropicais (ANDERSON, 2000; OTRANTO e EBERHARD, 2011).  
202 Mundialmente, as espécies mais comuns parasitando cães são pertencentes aos  
203 gêneros *Dirofilaria*, *Acantocheloneema* e *Cercopithifilaria* (BAIN et al., 2008;  
204 OTRANTO et al., 2012).

205

206 **3.1.1 *Dirofilaria***

207 O gênero *Dirofilaria* é representado principalmente por duas espécies: *D. repens* e *D. immitis*. *Dirofilaria repens* geralmente causa infecção subcutânea  
208 pouco patogênica em cães da Europa, Ásia e África (DA SILVA E LANGONI, 2009),  
209 enquanto *D. immitis* é a espécie mais estudada, tratando-se de um parasito do  
210 sistema circulatório (coração e grandes vasos), podendo ocasionar doenças  
211 cardiorrespiratórias em cães, além de possuir importante caráter zoonótico  
212 (MILANEZ DE CAMPOS, 1997; SMITH et al., 2015).

214 A dirofilariose, causada por *D. immitis*, também conhecida popularmente  
 215 como doença do “verme do coração”, é transmitida por um hospedeiro intermediário  
 216 da família Culicidae, cujas espécies já descritas incluem *Culex pipiens*, *Culex*  
 217 *quinquefasciatus*, *Aedes aegypti*, *Aedes albopictus*, *Anopheles maculipennis* e  
 218 *Coquillettidia richiardii* (CIRIO, 2005; DA SILVA E LANGONI, 2009). O cão é o seu  
 219 hospedeiro definitivo e, por vezes, o gato e o homem podem surgir como  
 220 hospedeiros acidentais (ANDERSON, 2000).

221 Os nematódeos adultos localizam-se nas artérias pulmonares (machos) e no  
 222 ventrículo direito (fêmeas) dos animais susceptíveis (Figura 1). São delgados e de  
 223 corpo filiforme. A fêmea adulta pode medir entre 25- 30 cm de comprimento e 1-  
 224 1,3 mm de largura, enquanto o macho mede entre 12- 20 cm de comprimento e 0,7-  
 225 0,9 mm de largura, com uma cauda em espiral (GENCHI et al., 2014).

226



227

228 **Figura 1.** Diferença morfológica entre macho e fêmea de *Dirofilaria immitis*. **Fonte:** Adaptado de  
 229 <http://cal.vet.upenn.edu/projects/merial/Nematodes/images/heartwormF.GIF>

230

231 As fêmeas são vivíparas, e após a cópula dos nematódeos adultos, liberam  
 232 microfilárias na circulação sanguínea do hospedeiro (Figura 2). Essas larvas  
 233 possuem em média 298 µm de comprimento e 7,3 µm de largura, com extremidade  
 234 anterior ovalada e a posterior reta (BRITO et al., 2001).



235

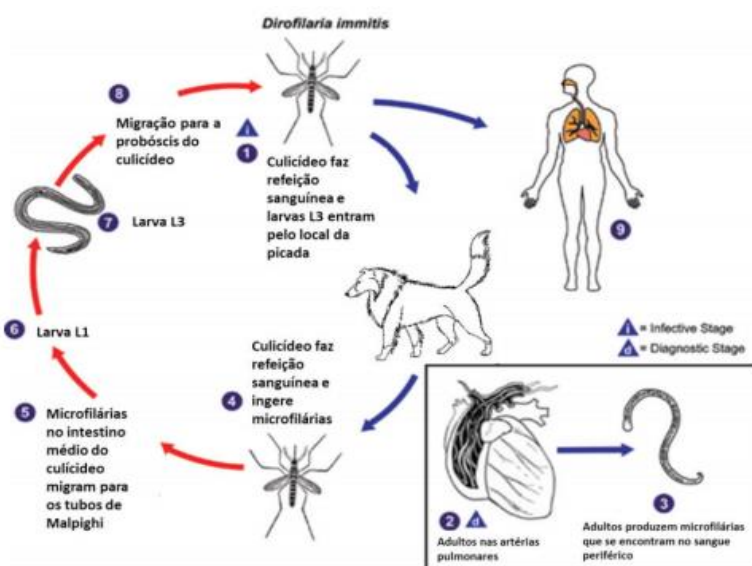
236

**Figura 2.** Microfilária de *Dirofilaria immitis*. **Fonte:** Acervo do autor

237

238        As fêmeas de mosquitos ingerem as microfilárias durante o hematofagismo.  
239        Estas larvas se desenvolvem até L3 no corpo do mosquito e são transmitidas para  
240        outro cão, durante os próximos repastos sanguíneos. Entre 71 e 110 dias após a  
241        infecção os parasitas atingem as artérias pulmonares (machos) e o ventrículo  
242        direito (fêmeas). Após três meses, os nematódeos atingem a maturidade sexual,  
243        acasalam e completam o ciclo com a liberação de microfilárias na circulação dos  
244        cães (Figura 3). As microfilárias podem ser encontradas na circulação sanguínea  
245        periférica entre seis e oito meses após a infecção (KNIGHT, 1987; CIRIO, 2005; DA  
246        SILVA e LANGONI, 2009).

247



248

249 **Figura 3.** Esquematização do ciclo de vida de *Dirofilaria immitis*. Adaptado de <http://www.cdc.gov>

250

251 O ciclo zoonótico ocorre quando fêmeas de mosquito infectadas com L3  
 252 realizam repasto sanguíneo em humanos (OGAWA, 2013). O ciclo não se completa  
 253 e as L4 formam os chamados nódulos em “forma de moeda” nos pulmões do  
 254 hospedeiro, podendo ser confundido com neoplasia (GARCEZ et al., 2006; SIMÓN  
 255 et al., 2007). Em humanos, foram relatados 51 casos de dirofilariose pulmonar no  
 256 Brasil, e centenas de casos em todo o mundo (RODRIGUES-SILVA et al., 2004).  
 257 Desde 1979, devido à importância desta parasitose para os cães e a população  
 258 humana, e pela íntima relação dos animais domésticos com o ser humano, a  
 259 enfermidade passou a ser considerada uma zoonose pela Organização Mundial da  
 260 Saúde (OMS), e atualmente é tratada como uma Zoonose Emergente  
 261 Negligenciada (DA SILVA E LANGONI, 2009).

262 Os cães podem ser assintomáticos ou manifestarem sinais como tosse  
 263 crônica, intolerância a exercícios, dispneia, ruídos cardíacos e pulmonares,  
 264 hepatomegalia e síncope. Nas formas graves, manifestações de insuficiência  
 265 cardíaca direita, como ascite, congestão aguda do fígado e rins, hemoglobinúria e  
 266 morte em 24 a 72 horas podem ocorrer (ACHA E SZYFRES, 2003; SMITH et al.,  
 267 2015).

268 A distribuição de *D. immitis* é cosmopolita, podendo apresentar prevalências  
 269 superiores a 50% em determinadas áreas (LUZON-PENA E GÓMEZ BAUTISTA,  
 270 1993). No Brasil, segundo Barbosa e Alves (2006), a prevalência média em cães é

271 de aproximadamente 10,2% para cães microfilarêmicos e 9,1% baseado em testes  
 272 sorológicos. É também citada como endêmica em áreas litorâneas, com  
 273 prevalência de 29,7% em Niterói (RJ) e 14% no Rio de Janeiro (LABARTHE et al.,  
 274 1998); 9,41% na Cidade de Uberlandia (MG) (FERREIRA et al., 1999); 10,7% em  
 275 Recife (PE) (ALVES et al., 1999); 5,8 % no Mato Grosso (FERNANDES et al.,  
 276 1999), 15% em Santa Catarina (ARAÚJO et al., 2003); 8% no Estado de São Paulo  
 277 (SOUZA E LARSSON, 2001).

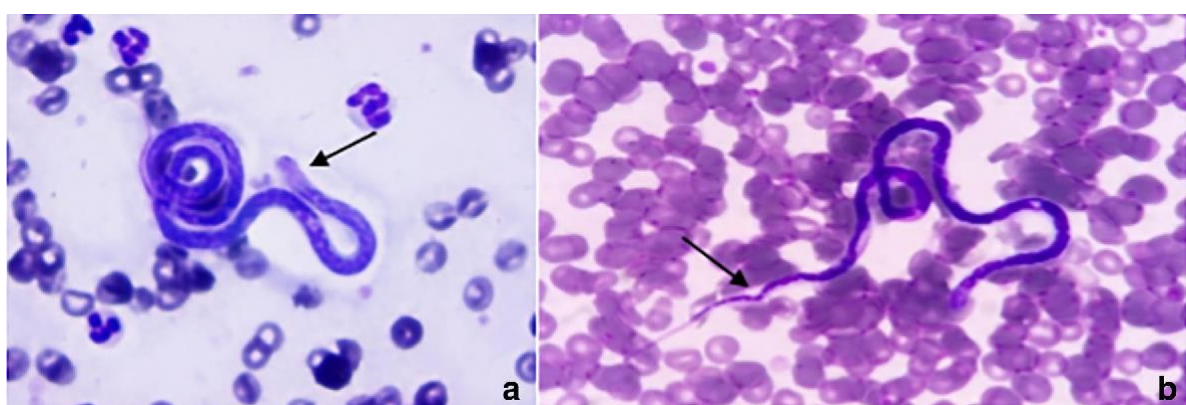
278

279 **3.1.2 *Acanthocheilonema***

280 No gênero *Acanthocheilonema*, *A. reconditum* é a principal espécie  
 281 responsável por filariose em cães, sendo encontrado nos tecidos subcutâneos peri-  
 282 renal e cavidade peritoneal (LEITE et al., 2012). São transmitidos por pulgas e  
 283 piolhos, cujas espécies descritas incluem *Ctenocephalides felis*, *C. canis*, *Pulex*  
 284 *irritans*, *Trichodectes canis* e *Heterodoxus spiniger* (DANTAS-TORRES E  
 285 FIGUEIREDO, 2007; LEITE et al., 2012).

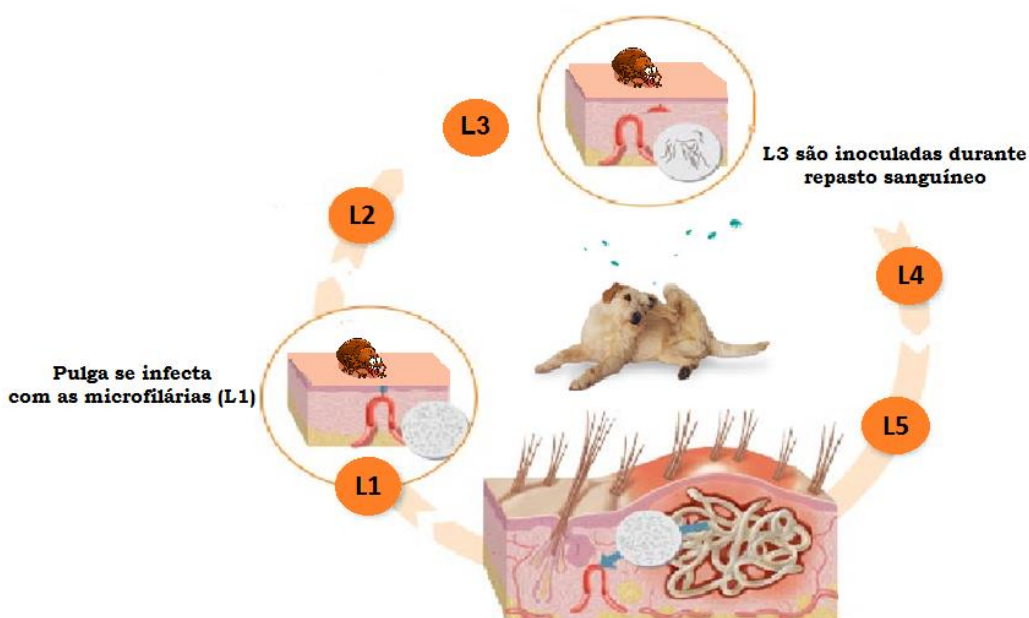
286 Os machos adultos medem cerca de 13,0 mm de comprimento e as fêmeas  
 287 17- 32 mm. Após o acasalamento, as fêmeas fecundadas originam microfilárias,  
 288 que podem ser encontradas principalmente na circulação sanguínea periférica dos  
 289 cães (Figura 5). As microfilárias de *A. reconditum* tem em média cerca de 250-  
 290 270mm de comprimento e 4- 4,5mm de largura, com um corpo arredondado e  
 291 curvado, gancho cefálico distinto e uma extremidade anterior romba (HUYNH et al.,  
 292 2001; LEITE et al., 2012).

293



294 **Figura 4 - Microfilária de *Acanthocheilonema reconditum*.** a) Regiãocefálica com extremidade  
 295 anterior romba- seta; (b) Cauda em gancho – seta. Microscopia optica (ampliação 1000 x) **Fonte:**  
 296 <https://doi.org/10.1007/s00580-018-2859-2>  
 297

298  
 299       A pulga ou piolho se infecta com as microfilárias durante repasto sanguíneo  
 300 em animal infectado. Na hemocele desses ectoparasitas ocorre o desenvolvimento  
 301 das microfilárias até L3. As L3 migram para as peças bucais da pulga/piolho,  
 302 aguarda novo repasto sanguíneo para infectar os cães. No tecido subcutâneo do  
 303 cão, a L3 se desenvolve em L4 e L5, quando então ocorre a diferenciação entre  
 304 macho e fêmea. Posteriormente, ocorrerá a cópula e formação de microfilárias, que  
 305 irão novamente para a circulação sanguínea (Figura 6) (LINARD et al., 2004;  
 306 ENGELMANN et al., 2018).



307  
 308       **Figura 5:** Ciclo de vida de *Acanthocheilonema reconditum*. **Fonte:** Adaptado de  
 309 <https://www.advocate-spot-on.com/en/why-use/>  
 310

311       Normalmente a infecção por *A. reconditum* destaca-se por apresentar  
 312 caráter transitório e sem consequências patológicas significativas (KNIGHT, 1987),  
 313 sendo diagnosticada na maioria das vezes de forma accidental. No entanto podem  
 314 causar abcessos e ulcerações cutâneas (URQUHART et al., 1996). Estudos  
 315 realizados por Hashem e Badawy (2008) também comprovaram presença de  
 316 anemia hemolítica acompanhada de distúrbios hepáticos e das funções renais em  
 317 14 cães parasitados por *A. reconditum*. Alguns casos de acometimento ocular por  
 318 *Acantocheloneema spp.*, também já foram descritos em humanos (BEAVER et al.,  
 319 1980; BEAVER, 1989), incluindo *A. reconditum* no espaço subconjuntival do olho  
 320 direito de um paciente com 62 anos na Austrália (HUYNH et al., 2001).

321 No Brasil ainda é subestimado o percentual de cães microfilarêmicos e/ou  
322 portadores de formas adultas de *A. reconditum*, devido à escassa quantidade de  
323 publicações (LEITE et al., 2012). No entanto, já foram relatados prevalência de  
324 1,6% no estado da Bahia (BARROS et al., 1993); 0,6% em Cuiabá-MT  
325 (FERNANDES et al., 2000); 1,3% em Maceió-AL (BRITO et al., 2001); e 6,9% em  
326 Recife-PE (ALVES et al., 1999).

327

328 3.1.3 *Cercopithifilaria*

329 Em contraste com alguns parasitos filarióides em que as formas imaturas  
330 circulam na corrente sanguínea, outros filarídeos foram caracterizados como  
331 parasitos dérmicos, como *Cercopithifilaria* spp. (OTRANTO et al., 2012). Vinte e  
332 oito espécies já foram descritas (OTRANTO et al., 2013), das quais três parasitam  
333 o tecido subcutâneo de cães: *C. bainae*, *C. grassi* e *Cercopithifilaria* sp. II sensu  
334 Otranto et al. 2012 (BAIN et al., 2008; OTRANTO et al. 2012; ANDERSSON et al.,  
335 2017). *Cercopithifilaria bainae* é a espécie mais comum em cães, e sua distribuição  
336 está associada principalmente com a presença do carrapato *Rhipicephalus*  
337 *sanguineus* (s.l), conhecido como seu principal transmissor (OTRANTO et al. 2011;  
338 BRIANTI et al., 2012).

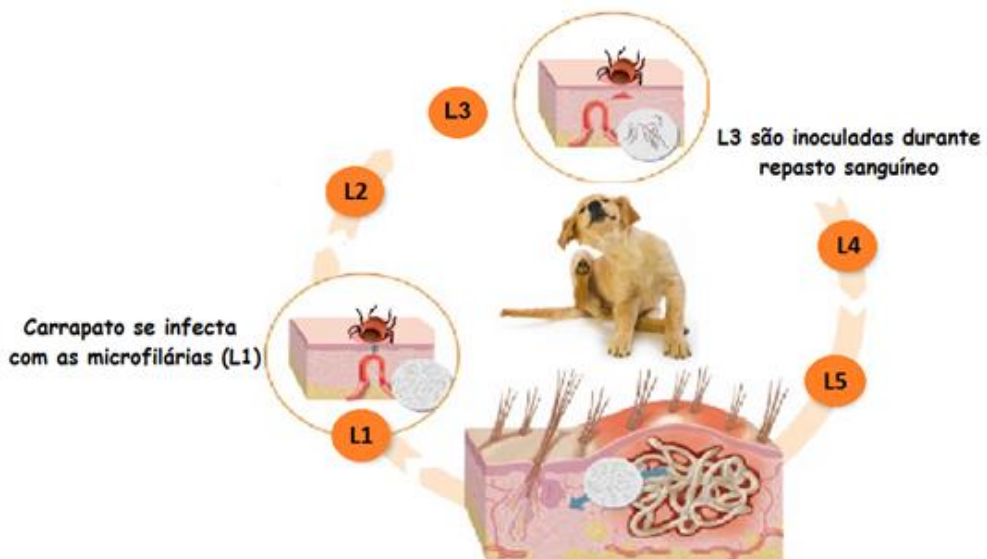
339 As fêmeas adultas de *C. bainae* possuem entre 14-19 mm de comprimento  
340 e os machos 9,0-12,0 mm de comprimento, e são encontrados nos tecidos  
341 subcutâneos e tecidos adiposos peri-renais dos cães infectados. Já as microfilárias  
342 presentes na derme (Figura 6) possuem em média  $180,2 \pm 2,3 \mu\text{m}$  de comprimento  
343 e  $4,6 \pm 0,2 \mu\text{m}$  de largura, com extremidade anterior arredondada, corpo achatado  
344 dorsoventralmente e cutícula espessa com estrias transversais (OTRANTO et al.,  
345 2013; RAMOS et al., 2016).

346



347  
348 **Figura 6:** Microfilária de *Cercopithifilaria bainae*. **Fonte:** Arquivo Pessoal

349  
350 O ciclo de vida (Figura 7) envolve larvas infectantes (L3) sendo inoculadas  
351 pelo carapato (*Rhipicephalus sanguineus*). As L3 residem na derme do cão, onde  
352 se tornam adultas e se reproduzem, gerando as microfilárias. O ciclo é concluído  
353 quando os carrapatos ingerem as microfilárias presentes na derme, enquanto se  
354 alimentam nos cães (BRIANTI et al., 2012; OTRANTO et al., 2012; SANTOS et al.,  
355 2017).



356  
357 **Figura 7:** Ciclo de vida de *Cercopithifilaria bainae*. **Fonte:** Adaptado de [https://www.advocate-](https://www.advocate-spot-on.com/en/why-use/)  
358 [spot-on.com/en/why-use/](https://www.advocate-spot-on.com/en/why-use/)

360 Embora *C. bainae* seja a espécie de filária dérmica mais descrita nos cães,  
361 sua patogenicidade é desconhecida até então. Entretanto, há relatos de suas larvas  
362 possam induzir alterações locais, como dermatites (OTRANTO et al., 2012; BOYD  
363 et al., 2019), e sistêmicas, como poliartrite crônica em cães (GABRIELLI et al.,  
364 2014).

365 No Brasil, os relatos de filarídeos em caninos são normalmente restritos a  
366 estudos de infecções de filárias no sangue, como *D. immitis* e *A. reconditum*.  
367 Entretanto, *C. bainae*, já foi registrado parasitando cães no Rio de Janeiro  
368 (ALMEIDA E VICENTE, 1984) e em Pernambuco (RAMOS et al., 2016).  
369 Recentemente, DNA de *Cercopithifilaria* spp. também foi detectado em carrapatos  
370 *R. sanguineus* (s.l) no Nordeste do país (LATROFA et al., 2014; SANTOS et al.,  
371 2017). No entanto, pouco ainda se sabe sobre as espécies de microfilárias  
372 dérmicas, aspectos como a dinâmica sazonal e a distribuição na população canina  
373 e em seus respectivos vetores (SANTOS et al., 2017).

374

### 375 3.2. DIAGNÓSTICO DE FILARIOSE CANINA

376 Os sinais clínicos manifestados em cães parasitados por filarídeos são  
377 variáveis dependendo da espécie relacionada, sendo comum também os animais  
378 assintomáticos (GRANDI et al., 2007). O diagnóstico laboratorial requer a detecção  
379 de suas microfilárias em amostras sanguíneas e/ou fragmentos de pele, mediante  
380 análise microscópica, provas sorológicas ou moleculares.

381

#### 382 3.2.1 Análise microscópica

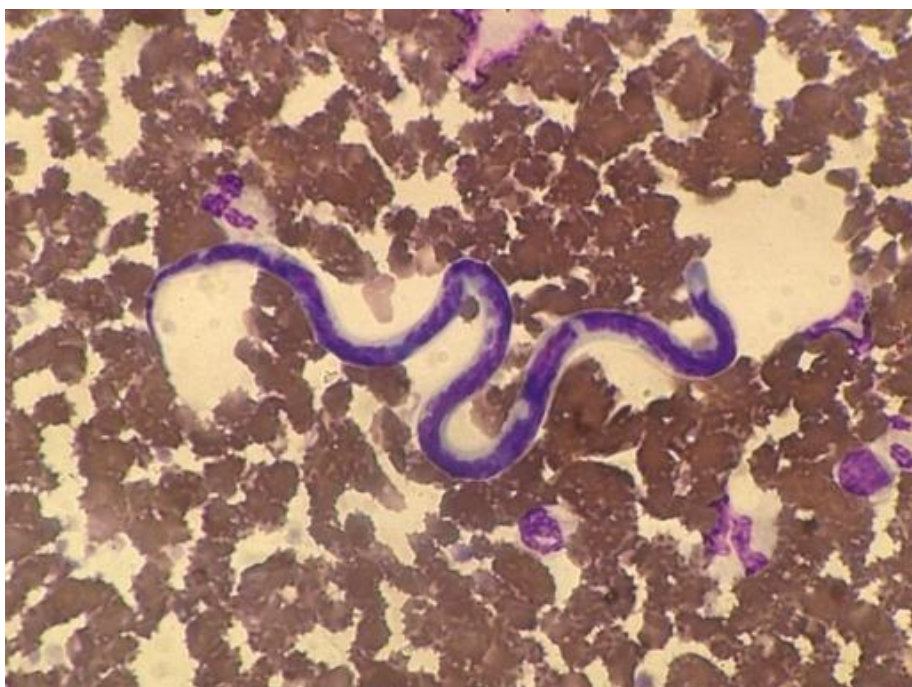
383 São métodos diagnósticos que se fundamentam na detecção de microfilárias  
384 presentes no sangue (ex. esfregaço sanguíneo, gota espessa, Knott modificado)  
385 e/ou análise do sedimento de fragmentos de pele (DA SILVA E LANGONI et., 2009;  
386 RAMOS et al., 2016).

387 O esfregaço sanguíneo direto é um teste simples que pode ser usado como  
388 triagem para encontrar microfírias sanguíneas (Ex *D. immitis* e *A. reconditum*), no  
389 entanto, para melhor sensibilidade do teste, é necessário que o animal esteja  
390 infectado com um grande número de larvas. Em infecções mais brandas, o teste

391 pode gerar resultado falso negativo (DILLON, 2007; DA SILVA E LANGONI et al.,  
392 2009).

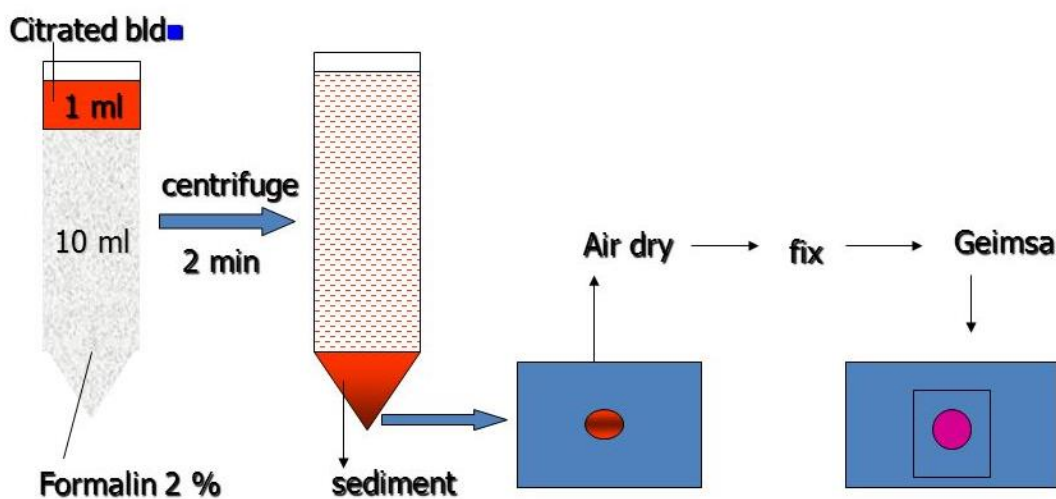
393 Já a técnica de gota espessa examina o sangue a fresco para detectar a  
394 presença e avaliar padrões de tamanho e movimentação de microfilárias, servindo  
395 de auxílio para diferenciar *A. reconditum* de *D. immitis* (KNIGHT, 1977; BRITO et  
396 al., 2001). Esta primeira espécie realiza movimentos erráticos e deslocam-se com  
397 rapidez, enquanto *D. immitis* são dotadas de movimentos ondulantes  
398 serpentiformes e movem-se lentamente (BRITO et al., 2001; LEITE et al., 2012).

399



400  
401 **Figura 8:** Microfilária de *Dirofilaria immitis* em esfregaço sanguíneo. **Fonte:** Laboratório VetAnalisa  
402

403 A detecção e diferenciação de espécies por estas duas técnicas é mais  
404 difícil, sendo o teste de *Knott* modificado (KNOTT, 1939) mais usado para  
405 determinar a presença de microfilárias e diferenciá-las, com base em aspectos  
406 morfológicos e morfométricos. Esta técnica consiste em formolizar o sangue, de  
407 modo a destruir os glóbulos vermelhos e posteriormente misturar um corante (Ex.  
408 azul de metileno, giensa) ao sedimento, para examinar sob microscopia ótica em  
409 diferentes aumentos (400 e 1000X) (Figura 9). Possui boa sensibilidade,  
410 especificidade e baixo custo (SMITH et al., 2015).



411

412 **Figura 9:** Técnica de *Knott* modificado. **Fonte:** disponível em:413 <https://www.slideshare.net/shabanko/diagnosis-1226947>

414

415 Já as microfilárias dérmicas podem ser analisadas por exame microscópico  
 416 do sedimento de recortes cutâneos. Os fragmentos de pele são imersos em solução  
 417 salina por cerca de 6 horas em temperatura ambiente e todo o sedimento deve ser  
 418 examinado microscopicamente em diferentes aumentos (100 e 400X) (OTRANTO  
 419 et al., 2012; RAMOS et al., 2016).

420 As diferenças morfométricas e morfológicas das microfilárias das principais  
 421 espécies, de acordo com Ramos et al. (2016), podem ser observadas na seguinte  
 422 tabela (Tabela 1).

423

424 **TABELA 1.** Diferenças morfométricas e morfológicas das principais microfilárias em cães.

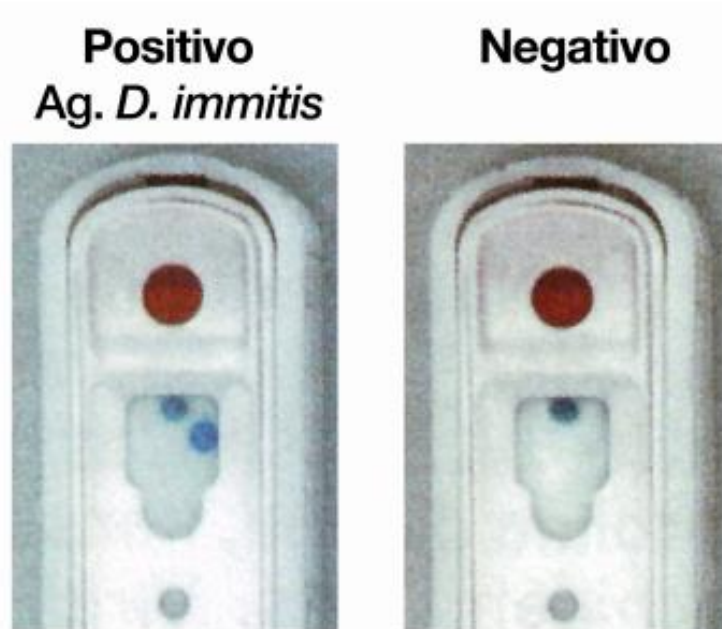
Espécie	Comprimento e largura	Características morfológicas
<i>Dirofilaria immitis</i>	$301,2 \pm 7,6 \mu\text{m}$ e $5,9 \pm 0,8 \mu\text{m}$	Extremidade frontal cônica; extremidade posterior reta
<i>Acanthocheilonema reconditum</i>	$272,3 \pm 4,3 \mu\text{m}$ e $4,1 \pm 0,3 \mu\text{m}$	Corpo arredondado e curvado; ganchocefálico; extremidade anterior romba
<i>Cercopithifilaria bainae</i>	$180,2 \pm 2,3 \mu\text{m}$ e $4,6 \pm 0,2 \mu\text{m}$	Corpo achatado dorso-ventralmente; cutícula espessa com estrias transversais.

425

426 3.2.2 Provas sorológicas

427 Testes que envolvem a reação antígeno-anticorpo são utilizados  
 428 rotineiramente para pesquisa de infecção por filarídeos em cães, no entanto são  
 429 restritos para *D. immitis*. Os testes que pesquisam抗ígenos (Ag) circulantes  
 430 permitem a detecção desde altas intensidades até infecções ocultas (ausência de  
 431 microfilárias) com baixa carga parasitária. É o método recomendado pela *American*  
 432 *Heartworm Society* (AHS) para triagem da infecção em cães. Possuem alta  
 433 especificidade e maior sensibilidade que os testes de pesquisa de microfilárias  
 434 (ALMOSNY, 2002; NELSON e COUTO, 2006). Os testes mais utilizados são os  
 435 ensaios imunoenzimáticos- ELISA (Figura 10) ou de imunomigração rápida (Figura  
 436 11). Estes testes irão detectar a presença de抗ígenos circulantes provenientes do  
 437 trato genital de fêmeas adultas (URQUHART et al., 1996; TILLEY et al., 2008).

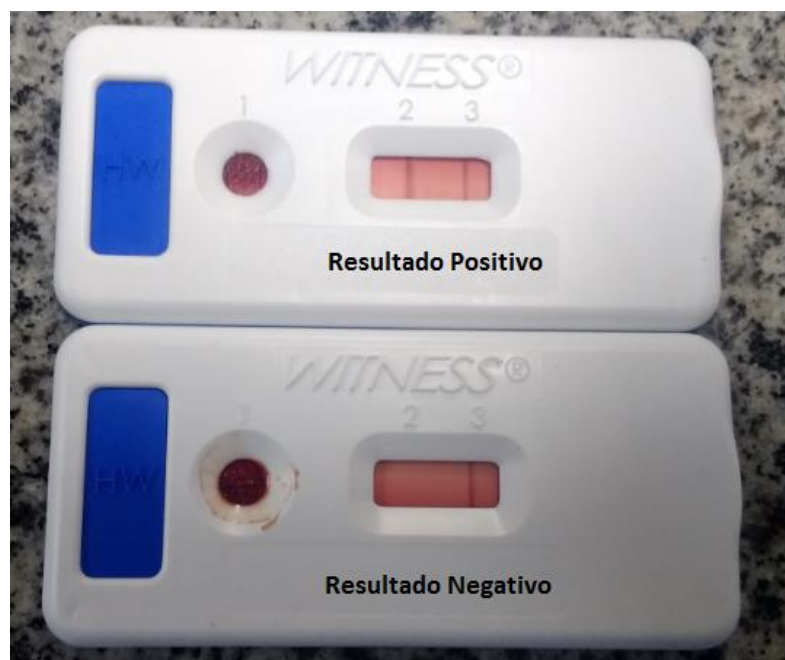
438



439

440 **Figura 10:** Teste sorológico SNAP (ELISA) para detecção de抗ígenos de fêmeas adultas de  
 441 *Dirofilaria immitis*. **Fonte:** Almosny, 2002.

442



443

444 **Figura 11:** Teste sorológico de imunomigração rápida para detecção de antígenos de fêmeas  
445 adultas de *D. immitis*. **Fonte:** Acervo do autor

446

447 Um problema é que detectam somente antígenos de fêmeas adultas, cerca  
448 de sete a oito meses após infecção. Infecções recentes (< 8 meses) ou animais  
449 infectados somente com machos, resultarão quase sempre em falso negativo. Para  
450 sanar essas limitações, as técnicas de *immunoblotting* têm sido capazes de detectar  
451 mais precocemente cães infectados e infecções envolvendo parasitas machos e/ou  
452 fêmeas (FERNANDES et al., 1999; DA SILVA E LANGONI, 2009). No entanto, a  
453 possibilidade de reação cruzada com antígenos de outros helmintos deixa em  
454 dúvida a qualidade dos resultados obtidos por este método, tanto para fins  
455 epidemiológicos, como para diagnóstico específico (FERNANDES et al., 1999).  
456 Portanto, o uso destes testes não é aconselhado em locais em que não se conhece  
457 as espécies de filarídeos presentes nestas áreas (GENCHI et al., 2007).

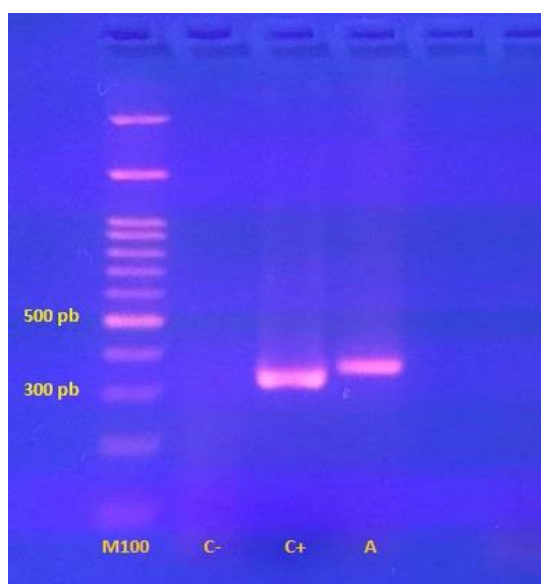
458

### 459 3.2.3 Provas moleculares

460 A Reação em Cadeia da Polimerase (PCR) têm sido usada para identificação  
461 de espécies de filarídeos. Consiste na amplificação de um segmento do DNA  
462 específico do parasita, utilizando oligonucleotídeos iniciadores (*primers*), e podem  
463 ser visualizados após eletroforese em gel de agarose (Figura 12).

464 Muitos pesquisadores têm como alvo a detecção de uma sequência parcial  
465 do gene subunidade 1 da enzima citocromo oxidase mitocondrial (cox1 DNAmt)  
466 (FERRI et al., 2009) e 12S rRNA, de *Acanthocheilonema spp.*, *Cercopithifilaria spp.*,  
467 e *Dirofilaria spp.* (OTRANTO et al., 2011)

468



469

470 **Figura 12-** Produtos de amplificação da PCR para detecção de fragmento do gene 12S rRNA de  
471 filarídeos, visualizados após eletroforese em gel de agarose 2%. M100 (Ludwig Biotec) representa  
472 marcador molecular de 100 pares de base; C- controle Negativo; C+ controle positivo; e na coluna  
473 4 representa a amostra positiva testada. **Fonte:** arquivo pessoal.

474

475 A partir das amplificações da PCR, pode- se utilizar enzimas de restrição,  
476 para diferenciar as espécies (CASIRAGHI et al., 2006) ou a análise por  
477 sequenciamento de DNA (OTRANTO et al., 2011). Além destes, PCR multiplex  
478 também pode ser utilizada para detectar e diferenciar simultâneamente os  
479 filarioides caninos (LATROFA et al., 2012).

480 Apesar de ser considerada onerosa, devido aos custos com equipamentos,  
481 reagentes e mão de obra, a caracterização molecular de filarídeos tem se mostrado  
482 uma ferramenta de extrema importância, pois auxiliam na identificação desses  
483 parasitas, no conhecimento sobre mecanismos de ação e resistência de alguns  
484 fármacos utilizados no tratamento de filariose (GENCHI et al., 2007), além de  
485 enriquecer os bancos de dados (ex. Genbank) sobre a filogenia desses parasitos.

486

487 **4. REFERÊNCIAS BIBLIOGRÁFICAS**

- 488 ACHA, P.N.; SZYFRES, B. **Filariasis zoonóticas.** Zoonosis y enfermedades  
489 transmisibles comunes al hombre y a los animales. 3.ed. Washington: OPS, 2003.  
490 V.3, p.284-291.
- 491 ALMEIDA, G.L.G.; VICENTE, J.J. *Cercopithifilaria bainae* parasita de *Canis*  
492 *familiaris* (L.) (Nematoda, Filarioidea). **Atas Soc. Biol. Rio de Janeiro**, v.24, p.18,  
493 1984.
- 494 ALMOSNY, N.R.P. **Hemoparasitos em pequenos animais domésticos e**  
495 **como zoonoses.** 1. ed. Rio de Janeiro: L.F. Livros de Veterinária Ltda., 2002.  
496 p.112-126.
- 497 ALVES, L.C.; SILVA, L.V.A.; FAUSTINO, M.A. *et al.* Survey of canine heartworm  
498 in the city of Recife, Pernambuco, Brazil. **Mem. Inst. Oswaldo Cruz**. v.94, n.5, p.  
499 587- 590, 1999.
- 500 ANDERSON, R.C. **Nematode parasites of vertebrates, their development and**  
501 **transmission.** 2. ed. Wallingford, UK, 2000. 650 p.
- 502 ANDERSSON, M.O.; CHITIMIA-DOBBLER, L. Detection of *Cercopithifilaria bainae* in  
503 western Romania. **Parasitol. Res.**, 116: 3,235– 3,238, 2017.
- 504 ARAUJO, R.T.; MARCONDES, C.B.; BASTOS, L.C.; SARTOR, D.C. Canine  
505 dirifilariasis in the region of Conceicao Lagoon, Florianópolis, and in the Military  
506 Police kennel, São Jose, State of Santa Catarina, Brazil. **Vet. Parasitol.**, 113: 239-  
507 42. 2003.
- 508 ARAUJO, F.R.; RAMOS, C.A.N.; LUIZ, H.L. *et al.* **Avaliação de um protocolo de**  
509 **extração de DNA genômico a partir de sangue total.** Campo Grande: Embrapa  
510 Gado de Corte, n.5, 2009. (Comunicado Técnico, 120)
- 511 AYRES, M. AYRES, M.J.; AYRES, D.L. *et al.* **BIOESTAT – Aplicações**  
512 **estatísticas nas áreas das Ciências Bio-Médicas.** Versão 5.0. Belém, Pará:  
513 Sociedade Civil Mamirauá, 324p. 2007.
- 514 BAIN, O.; CASIRAGHI, M.; MARTIN, *et al.* Thenematoda Filarioidea: critical  
515 analysis linking molecular and traditional approaches. **Parasite** v.15, n.3, p.342–  
516 348, 2008.
- 517 BARBOSA, C.L.; ALVES, L.C. Dirofilariose canina: situação atual no Brasil. **Rev.**  
518 **Cons. Fed. Med. Vet.**, v.1, p.57-62, 2006.
- 519 BARROS, M.T.G.; SANTOS, E.P.; ALMEIDA, M.A.O. Frequência de microfilárias  
520 de *Dipetalonema reconditum* Grassi, 1890 em cães dos municípios de Salvador e  
521 Lauro de Freitas, Bahia. In: CONGRESSO INTERNACIONAL DE MEDICINA  
522 VETERINÁRIA EM LÍNGUA PORTUGUESA, 6., 1993, Salvador. **Anais...**  
523 Salvador: UFBA, 1993. p. 340.
- 524 BEAVER, P.C.; MEYER, E.A.; JARROLL, E.L.; *et al.* *Dipetalonema* from the eye of  
525 a man in Oregon, USA. A case report. **Am. J. Trop. Med. Hyg.**, v. 29, p. 367–372,  
526 1980.
- 527 BEAVER, P. C. Intraocular filariasis: a brief review. **Am. J. Trop. Med. Hyg.**, v. 40,  
528 n. 1, p. 40-45, 1989.

- 529 BOYD, M.; SANTORO, D.; CRAFT, W.F.; et al. Dermatitis caused by autochthonous  
530 *Cercopithifilaria bainae* from a dog in Florida, USA: clinical, histological and  
531 parasitological diagnosis and treatment. **Vet. Dermatol.**, v.30, n.1, p.68-20, 2019.
- 532 BRIANTI, E.; OTRANTO, D.; DANTAS-TORRES, F.; et al. *Rhipicephalus*  
533 *sanguineus* (Ixodida, Ixodidae) as intermediate host of a canine neglected filarial  
534 species with dermal microfilariae. **Vet. Parasitol.**, v.183, p.330–337, 2012.
- 535 BRITO, A.C., VILA-NOVA, M.C., MARTINS ROCHA, D.A. et al. Prevalência da  
536 filariose canina causada por *Dirofilaria immitis* e *Dipetalonema reconditum* em  
537 Maceió, Alagoas, Brasil. **Cad. Saúde Pública**, v.17, n.6, p.1497-1504, 2001.
- 538 CASIRAGHI, M., BAZZOCCHI, C., MORTARINO, M., et al. simple molecular  
539 method for discriminating common filarial nematodes of dogs (*Canis familiaris*). **Vet**  
540 **Parasitol.**, 141: 368 - 372. 2006.
- 541 CIRIO, S.M. **Epidemiologia e clínica de cães portadores de dirofilariose em**  
542 **espaços urbanos de município do litoral do Paraná e aspectos da histologia**  
543 **de *Culex quinquefasciatus* (Say, 1823) (Diptera, Culicidae)**. 2005. 155f. Tese  
544 (Doutorado em Ciências Biológicas) – Setor de Ciências Biológicas, Universidade  
545 Federal do Paraná, Curitiba.
- 546 DA SILVA, R.C.; LANGONI, H. Dirofilariasis. Neglected emerging zoonosis. **Ciênc.**  
547 **Rural**, v.39, n.5, p.1614-1623, 2009.
- 548 DILLON, R. Feline heartworm disease. Cats get heartworms too! **Auburn**  
549 **University. College of Veterinary Medicine**. 2007. Disponível em:  
550 <http://www.vetmed.auburn.edu/distance/cardio/>. Acesso em 26/05/2019.
- 551 ENGELMANN, A.M.; SCHAFER, A.S.; LHAMAS, C.L.; et al. Morphological and  
552 molecular identification of *Acanthocheilonema reconditum* in a canine. **Comp.**  
553 **Clin. Path.**, v.28, p.271–274, 2019.
- 554 FERNANDES, C.G.N., MOURA, A.T., DIAS, A.R., et al. Ocorrência de dirofilariose  
555 canina na região da Grande Cuiabá, Estado de Mato Grosso-Brasil. **Braz. J. Vet.**  
556 **Res. Anim. Sci**, 36: 258-261. 1999.
- 557 FERREIRA, A.F.; BARBOSA, F.C.; MASTRANTONIO, E.C. Ocorrência da  
558 dirofilariose canina na cidade de Uberlândia, MG, Brasil. **Vet. Notícias**, v.5, n.1, p.  
559 57-61, 1999.
- 560 FERRI, E. BARBUTO, M.; BAIN, O.; et al. Integrated taxonomy: traditional approach  
561 and DNA barcoding for the identification of filarioid worms and related parasites  
562 (Nematoda). **Front. Zool.**, v.6, n.1, p.1, 2009.
- 563 GABRIELLI, S.; GIANNELLI, A.; BRIANTI, E. et al. Chronic polyarthritis associated  
564 to *Cercopithifilaria bainae* infection in a dog. **Vet. Parasitol.** v.205, n.1-2, p.401–  
565 404, 2014.
- 566 GARCEZ, L.M.; DE SOUZA, N.F.; MOTA, E.F. et al. Focus of canine heartworm  
567 disease in Marajo Island, North of Brazil: a risk factor for human health. **Rev. Soc.**  
568 **Bras. Med. Trop.**, 39: 333–336, 2006.
- 569 GRANDI, G., ŽIVIČNJAK, T., BECK, R. Pathogenesis of *Dirofilaria* spp. Infections.  
570 In: **Mappe Parassitologiche 8: *Dirofilaria immitis* and *D. repens* in dog and cat**

- 571 and human infections. Genchi, C., Rinaldi, L., Cringoli, G. (eds.). Nápoles.  
572 Rolando Editore. 2007. p. 60 – 66.
- 573 GENCHI, C., BOWMAN, D. & DRAKE, J. Canine heartworm disease (*Dirofilaria*  
574 *immitis*) in Western Europe: survey of veterinary awareness and perceptions.  
575 **Parasites vectors**, v.206, 2014.
- 576 HASHEM, M.; BADAWY, A.I.I. Blood cellular and biochemical studies on filariasis  
577 of dogs. **Res. J. An. Sci.**, v.2, n.5, p.128-134, 2008.
- 578 HUYNH, T.; THEAN, J.; MAINI, I. *Dipetalonema reconditum* in the human eye. **Br.**  
579 **J. Ophthalmol.**, London, v.85, n.11, p.1384, 2001.
- 580 KNIGHT, D.H., Heartworm infection. **Veterinary Clinics of North America. Small**  
581 **Animals Practice**, v.17, p.1463-1518, 1987.
- 582 KNOTT, J. A method for making microfilarial survey on day blood. **Med. Hyg**, v.33,  
583 p.191–196, 1939.
- 584 LABARTHE, N., SERRAO, M.L., MELO, Y.F., et al. Mosquito frequency and feeding  
585 habits in an enzootic canine dirofilariasis area in Niteroi, state of Rio de Janeiro,  
586 Brazil. **Mem. Inst. Oswaldo Cruz**, v.93, p.145-54, 1998.
- 587 LATROFA, M.S., WEIGL, S., DANTAS-TORRES, F., et al. A multiplex PCR for the  
588 simultaneous detection of species of filariooids infesting dogs. **Acta Trop.** v.122, p.  
589 36-41, 2012.
- 590 LATROFA, M.S.; DANTAS-TORRES, F., GIANNELLI, A., OTRANTO, D. Molecular  
591 detection of tick-borne pathogens in *Rhipicephalus sanguineus* group ticks. **Ticks**  
592 **Tick-borne Dis.** v.5, p.943-946, 2014.
- 593 LEITE, L.C.; LUZ, E.; MOLINARI, H.P. et al.; Infecção de cães domésticos (*Canis*  
594 *lupus familiaris*, Linnaeus, 1758) da região metropolita na de Guaratuba, Paraná,  
595 Brasil por microfilárias circulantes de *Acanthocheilonema reconditum* (Grassi,  
596 1899). **Ciênc. Agrár.**, v.331149-1156, 2012.
- 597 LINARDI, P.M.; GUIMARÃES, L.R. **Sifonápteros do Brasil**. São Paulo: Museu de  
598 Zoologia USP/FAPESP, 2000. 291p.
- 599 LUZON-PENA, M.; GOMEZ-BAUTISTA, M. Epidemiologia da dirofilariose. **Canis et**  
600 **Felis**, v.3, p.19-31, 1993.
- 601 MILANEZ DE CAMPOS, J.R. Human Pulmonary dirofilariasis analysis of 24 cases  
602 from Sao Paulo, Brazil. **Chest**. v. 112, p. 729-733, 1997.
- 603 NELSON, R.W.; COUTO, C. **Medicina Interna de Pequenos Animais**. 2. ed, p.127  
604 - 139,1998.
- 605 OGAWA, GUILHERME MAERSCHNER. **Prevalência de *Dirofilaria immitis***  
606 **(Leyd,1856) em cães e sua ocorrência em mosquitos (Diptera, Culicidae) na**  
607 **cidade de Porto Velho, Rondônia, Brasil /** Guilherme Maerschner Ogawa. – São  
608 Paulo, 2013. Tese (Doutorado) – Universidade de São Paulo. Instituto de Ciências  
609 Biomédicas.
- 610 OLMEDA-GARCÍA, A.S.; RODRÍGUEZ-RODRÍGUEZ, J.A.; ROJO-VÁZQUEZ, F.  
611 A. Experimental transmission of *Dipetalonema dracunculoides* (Cobb 1870) by  
612 *Rhipicephalus sanguineus* (Latreille 1806). **Vet. Parasitol**, v.47, p.339–342, 1993.

- 613 OTRANTO, D., EBERHARD, M.L. Zoonotic helminths affecting the human  
614 eye. **Parasites Vectors.** 4: 41, 2011.
- 615 OTRANTO, D.; BRIANTI, E.; DANTAS-TORRES, F. et al. Morphological and  
616 molecular data on the dermal microfilariae of a species of *Cercopithifilaria* from a  
617 dog in Sicily. **Vet. Parasitol.**, v.182, p.221–229, 2011.
- 618 OTRANTO, D.; BRIANTI, E.; ABRAMO, F. et al. Cutaneous distribution and  
619 localization of *Cercopithifilaria* sp. microfilariae in dogs. **Vet. Parasitol.**, v.190,  
620 p.143–150, 2012.
- 621 OTRANTO, D.; BRIANTI, E.; DANTAS-TORRES, F. et al. Species diversity of  
622 dermal microfilariae of the genus *Cercopithifilaria* infesting dogs in the  
623 Mediterranean region. **Parasitology**, 140, p.99–108, 2013.
- 624 RAMOS, R.A.; OLIVEIRA RÊGO, A.G.; FARIA FIRMINO, E.D. et al. Filarioïds  
625 infecting dogs in northeastern Brazil. **Vet. Parasitol.**, v.226, p.26–29, 2016.
- 626 REIFUR, L.; THOMAZ-SOCCOL, V.; MONTIANI-FERREIRA, F. Epidemiological  
627 aspects of filariasis on the coast of Paraná state, Brazil with emphasis on *Dirofilaria*  
628 *immitis*. **Vet. Parasitol.**, Michigan, USA, 122: 273-286, 2004.
- 629 RODRIGUES-SILVA, R.; GUERRA, R. J. DE A.; ALMEIDA, F. B. et al. Dirofilaríase  
630 pulmonar humana no estado do Rio de Janeiro: relato de um caso. **Rev. Soc. Bras.**  
631 **Med. Trop.**, v.37, n.1, p.56-59, 2004.
- 632 SANTOS, M.A.B.; SOUZA, I.B.; MACEDO, L.O., et al. *Cercopithifilaria bainae* in  
633 *Rhipicephalus sanguineus* sensu lato ticks from dogs in Brazil. **Ticks Tick-borne**  
634 **Dis.**, v.8, p.623–625, 2017.
- 635 SEVIMLI, F.K.; KOZAN, E.; BÜLBÜL, A. et al. *Dirofilaria immitis* infection in dogs:  
636 unusually located and unusual findings. **Parasitol. Res.**, v.101, p.1487-94, 2007.
- 637 SIMON, F.L.H. KRAMER, A., ROMÁN, W. et al. Immunopathology of *Dirofilaria*  
638 *immitis* infection. **Vet. Res. Commun.**, 31, 161–171, 2007.
- 639 SMITH, JR. F., TILLEY, L., OYAMA, M., Sleeper, M. **Manual of Canine and Feline**  
640 **Cardiology**. 3th ed. St. Louis: Elsevier. 2015, 472p.
- 641 SOUZA, N.F.; LARSSON, M.H.M.A. Freqüência de dirofilariose canina (*D. immitis*)  
642 em algumas regiões do Estado de São Paulo por meio da detecção de抗ígenos  
643 circulantes. **Arq. Bras. Med. Vet. Zootec.**, v. 53, p. 321-325, 2001.
- 644 TILLEY, L.P.; SMITH, Jr; FRANCIS, W.K. **Consulta Veterinária em 5 Minutos:**  
645 **Espécie Canina e Felina**. 3. ed. São Paulo: Manole Ltda., 2008, p.380-381.
- 646 TORRES, F.D.; FIGUEREDO, L.A. *Heterodoxus spiniger* (Enderlein, 1909) on  
647 domestic dogs (*Canis familiaris*, L. 1758) from the city of Recife, Pernambuco State,  
648 Brazil. **Braz. J. Vet. Res. An. Sci.** v.44, n.2, p.77-80, 2007.
- 649 URQUHART, G.M.; ARMOUR, J.; DUNCAN, J. L.; et al. **Parasitologia Veterinária**,  
650 2<sup>a</sup> ed., Rio de Janeiro: Guanabara Koogan, 1996. p. 77-79.

## CAPÍTULO 2

1  
2  
3 Artigo 1- (formatado seguindo as normas do periódico: *Parasitology Research*)  
4

### 5 Filarids in canines from Midwest Brazil: Epidemiological and diagnostic aspects

6  
7 Rodrigo Leite Soares<sup>a,\*</sup>, Angélica Oliveira da Silva<sup>a</sup>; Mateus Lotério Coelho<sup>a</sup>, Rafael Antonio do Nascimento Ramos<sup>b</sup>,  
8 Juliane Francielle Tutija<sup>a</sup>, Carlos Antonio do Nascimento Ramos<sup>a</sup>  
9

10 <sup>a</sup>Faculdade de Medicina Veterinária e Zootecnia, Universidade Federal de Mato Grosso do Sul, Campo Grande, Mato  
11 Grosso do Sul, Brazil

12 <sup>b</sup>Unidade Acadêmica de Garanhuns, Universidade Federal Rural de Pernambuco, Recife, Pernambuco, Brazil

13  
14 \*Corresponding author: Rodrigo Leite Soares, Av. Senador Filinto Muller, 2443, Vila Ipiranga, Campo Grande, Mato  
15 Grosso do Sul, Brasil. e-mail: rodrigo\_flr@hotmail.com

#### 16 17 Abstract

18 Canine filarioids include microfilariae species that circulate in bloodstream (e.g., *Dirofilaria immitis* and  
19 *Acanthocheilonema reconditum*) or dwell into the subcutaneous tissue (e.g., *Cercopithifilaria* and *Onchocerca* sp.) of  
20 animals. The aim of this study was to investigate the occurrence of filarial infections in dogs living in Campo Grande,  
21 State of Mato Grosso do Sul, Midwest Brazil. Blood and skin samples of domiciled dogs (n = 80) were microscopically  
22 (modified Knott's test and skin fragment sediment examination) and molecularly (12S rRNA gene PCR) evaluated.  
23 Epidemiological information was obtained by physical examination and questionnaire with dog's owner. Microscopic  
24 and molecular examination of blood samples revealed that 5.0% (4/80) were positive for *D. immitis* in both tests.  
25 Specimens of dermal microfilariae (all identified as *Cercopithifilaria*) were detected in 42.5% (34/80) of samples  
26 considering at least one test performed. *Cercopithifilaria* infection had significant association with tick presence  
27 (*Rhipicephalus sanguineus*), street access and small dermal nodules. Excellent concordance level (Kappa= 0.759)  
28 between the two diagnostic methods (microscopic examination and PCR) was observed. DNA sequencing confirmed the  
29 morphological identification and presence of *D. immitis* and *C. bainae* circulating in Mato Grosso do Sul. PCR showed  
30 more sensitivity and serves to detect and classify microfilariae species, but the microscopic analysis should be considered  
31 as screening test for detection of filarioids genus in dogs. Considering that in the area of study *Rhipicephalus sanguineus*  
32 and mosquitoes are prevalent throughout the year, preventive measures should be disposed in order to avoid the animal  
33 infestation and filarioids infection.

34  
35 **Keywords** *D. immitis* – *A. reconditum* – *C. bainae* – *R. sanguineus*

## 36 Introduction

37 Canine filarioids are distributed in tropical and subtropical regions and belong to the family Onchocercidae  
 38 (Nematoda: Filarioidea) whose circulate in bloodstream (e.g., *Dirofilaria immitis* and *Acantocheilonema reconditum*) or  
 39 dwell into the subcutaneous tissue (e.g., *Cercopithifilaria* spp. and *Onchocerca* spp.) (Otranto et al. 2015; Ramos et al.  
 40 2016). Among these nematodes *D. immitis* is the most studied species due to its zoonotical importance and pathogenicity  
 41 in dogs. This nematode is transmitted by culicid vectors of the genus *Aedes*, *Culex* and *Anopheles* (Da Silva and Langoni  
 42 2009) and cause the so-called heartworm disease in dogs. This infection is featured by animals be asymptomatic or exhibit  
 43 nonspecific signs such as cough, dyspnea, weakness, anorexia, and in some severe cases syncope, cachexia, ascites and  
 44 death (Sevimli et al. 2007; Smith et al. 2015).

45 Filarioid that have transient character and minor pathological relevance in dogs is *A. reconditum* (Knight 1987).  
 46 Adult forms dwell into the subcutaneous and peri-renal tissue and their microfilariae circulate into the bloodstream. It is  
 47 transmitted by fleas (e.g., *Ctenocephalides felis*, *C. canis*; *Pulex irritans*) and lices (e.g., *Trichodectes canis* e *Heterodoxus*  
 48 *spiniger*) (Dantas-Torres and Figueiredo 2007; Leite et al. 2012).

49 *Cercopithifilaria* includes three species that also inhabit the subcutaneous tissue of dogs (i.e. *C. bainae*, *C. grassi*  
 50 and *Cercopithifilaria* sp. II sensu Otranto et al. 2012) (Otranto et al. 2013b). *Cercopithifilaria bainae* is the most common  
 51 species in dogs, and its distribution overlaps the geographical area of occurrence of its vector, the tick *Rhipicephalus*  
 52 *sanguineus* sensu lato (Brianti et al. 2012). Although its pathogenicity is currently unknown, limited histological  
 53 researches of dogs indicated that the presence of *C. bainae* microfilariae in the skin might cause focal epidermal and  
 54 subepidermal inflammation, aside from moderate edematous alterations and perivascular interstitial dermatitis (Otranto  
 55 et al. 2012; Boyd et al. 2019). In addition, a systemic chronic polyarthritis case was associated to this filarioid in a dog  
 56 from Europe (Gabrielli et al. 2014).

57 In Brazil, the knowledge on filarioid species infecting dogs is mostly restricted to studies of blood infections by  
 58 means microscopic and serological exams (Labarthe et al. 2014). There is no report regarding the clinical and  
 59 epidemiologic importance of filarial species in dogs from the State of Mato Grosso do Sul, Midwest region, Brazil.  
 60 Therefore, the aim of this study was to evaluate the occurrence of filarial infections in dogs living in Campo Grande, which  
 61 belongs to the previously mentioned macrorregion.

## 63 Materials and methods

### 64 Animal samples

65 From Setember 2018 to June 2019, blood samples and skin fragments (3mm × 3mm) were collected of 80  
 66 domiciled dogs. Animals came from the Zoonosis Center Control and Teaching Veterinary Hospital of the Universidade  
 67 Federal de Mato Grosso do Sul, both located in the municipality of Campo Grande (20°26'34" South and 54°38'47"  
 68 West) Midwest region Brazil.

69 Clinical and epidemiological information was obtained through physical examination and applying a questionnaire  
 70 to the dog's owner to evaluate associations with filariids presence. Epidemiological information questioned included sex,  
 71 age, reproductive status, resident area, contact with other animals, street access, recent deworming, knowledge about  
 72 coinfection with another pathogen, and presence of dermal nodules. Ectoparasites were collected manually for a period  
 73 of five minutes from each animal to evaluate association with ticks and fleas species. The specimens were placed in glass

74 vials containing 70% ethanol and subsequently ticks were identified based on morphology following Barros-Battesti et  
75 al. (2006) and the fleas according to Linardi and Santos (2012).

76

## 77 Microscopical analysis

78 The search of blood microfilariae was assessed using the modified Knott test (Knott 1939). Dermal microfilariae  
79 were examined by microscopic examination of skin fragment according to Otranto et al. (2012). Blood and dermal  
80 microfilariae were identified morphometrically and morphologically according to Ramos et al. (2016).

81

## 82 Molecular analysis

83 Genomic DNA of skin's sediment and blood samples was extracted using the protocol described by Araujo et al.  
84 (2009). DNA quality and quantity of all samples was evaluated by electrophoresis in 1% agarose gel and  
85 spectrophotometry (A260/A280), respectively. The samples were submitted to polymerase chain reaction (PCR)  
86 according to Otranto et al. (2011) using the primers Fila\_12S\_F (5' CGGGAGTAAAGTTTGTTAACCG 3') and  
87 Fila\_12S\_R (5' CATTGACGGATGGTTGTACCAC 3'), which targets a partial conserved region of 12S rRNA gene  
88 (330 bp) of *Acanthocheilonema*, *Cercopithifilaria* and *Dirofilaria* (Otranto et al. 2011). DNA of *C. bainae* previously  
89 stored in the Laboratory of Molecular Biology of the Universidade Federal de Grosso do Sul (GenBank accession number  
90 MG793436) was taken as positive control. Nuclease free water was used as negative control.

91 The amplifications were visualized by electrophoresis in 2% agarose gel stained with GelRed (Biotium). A 100  
92 bp marker (Ludwig Biotec) was used to verify the lengths of the amplified fragments. The amplicons were purified using  
93 Clean Sweep PCR Purification (Thermo Fisher Scientific Carlsbad, CA, USA) according to the manufacturer's  
94 instructions. Samples were sequenced in both directions using the same primers by Sanger's method (Sanger et al. 1977)  
95 in an ABI-3130 automated sequencer (Applied Biosystems). The Chromatograms were evaluated and edited using Contig  
96 Editor version 2.2.0 (Gene Studio) and the identity of the DNA consensus sequence were determined by comparisons  
97 with sequences available in the GenBank database using the BLASTn search tool (Altschul et al. 1990).

98

## 99 Data analysis

100 The frequency of filarioids infecting dogs was associated to clinical-epidemiological information and presence of  
101 ectoparasites by the Fisher's exact test with 5% significance. The concordance in the results of the diagnostic tests was  
102 verified by the Kappa test. All calculations were done using BioEstat 5.0 software (Ayres et al. 2007).

103

## 104 Results and Discussion

105 Through microscopic and molecular examination of blood samples, 5.0% (4/80) were positive for *D. immitis*  
106 considering both tests. although there are methodological differences, these results are lower compared to costal regions  
107 of Brazil as Rio de Janeiro and Pernambuco (Labarthe et al. 1998; Alves et al. 1999) but similar to observed by Fernandes  
108 et al. (1999) in Mato Grosso (5.8%), which show that non-coastal cities at Midwest-Brazil may also harbor this parasite.  
109 According to Da Silva and Langoni (2009), the introduction and dissemination of heartworm disease in previously free  
110 areas is associated with infected dog circulation. However, in the present study, two dogs had never traveled to endemic

111 areas. Therefore, these cases can be considered the first autochthonous cases in Campo Grande, Mato Grosso do Sul  
112 (Midwest Brazil).

113 *Acantocheilonema* and *Cercopithifilaria* were not found in blood samples (0%). In Brazil, studies have shown that  
114 the prevalence of *A. reconditum* is low (Barros et al. 1993; Fernandes et al. 1999; Brito et al. 2001) even though the  
115 current knowledge regarding this parasite species is still scarce. The present findings also confirmed this trend. Adult  
116 nematodes and larvae of *Cercopithifilaria* are found in the subcutaneous tissue, but a recent report in Campo Grande  
117 (Midwest, Brazil) showed that microfilariae may also circulate into the bloodstream of dog (Tutija et al. 2020). *Dirofilaria*  
118 *immitis* may cause severe heart disease and requires expensive and potential aggressive therapy. In contrast, infection by  
119 *C. bainae* and *A. reconditum* is usually an accidental finding, with no clinical signs (Otranto et al. 2012). In this sense,  
120 differential diagnosis between filarids types in blood samples is important for the treatment prescription and prognosis  
121 establishment.

122 Microfilariae can be diagnosed using morphological and morphometric observation. Ramos et al. (2016) show that  
123 *D. immitis* has  $301.2 \pm 7.6 \mu\text{m}$  in length and  $5.9 \pm 0.8 \mu\text{m}$  in width, featured by conical anterior and a straight posterior  
124 ends, respectively. Microfilariae of *A. reconditum* has  $272.3 \pm 4.3 \mu\text{m}$  in length and  $4.1 \pm 0.3 \mu\text{m}$  in width, and are  
125 characterized by blunt anterior end. Microfilariae of *C. bainae* has  $180.2 \pm 2.3 \mu\text{m}$  in length and  $4.6 \pm 0.2 \mu\text{m}$  in width,  
126 rounded anterior end, short dorsal-ventrally flattened body and thick cuticle with transverse striations. The present  
127 morphological observations revealed microfilariae of *D. immitis* ( $300.05 \pm 23 \mu\text{m}$  in length and  $6.1 \pm 1.1 \mu\text{m}$  in width)  
128 similar to those observed by Ramos et al. (2016). This especie was confirmed by molecular analysis and partial 12S rRNA  
129 gene sequencer, which the microfilariae presented 100% identity (E value 4e-145) to *D. immitis* with DNA sequences  
130 available in GenBank. (Accession number: KU885998, KP898738, KF707482).

131 About epidemiological parameters, *D. immitis* has been significantly associated with intrinsic factors of the animal,  
132 such as advanced age, male, breed and large size (Yildirim et al. 2007; Garcez et al. 2006; Vezzani et al. 2011). However,  
133 none association was observed in the present study ( $p > 0.05$ ), similar to the data Almeida et al. (2001). Extrinsic factors,  
134 such as environment, management, length of stay and activity performed are common cited to favor *D. immitis* infection  
135 in dogs, but these features were not evaluated in the present study.

136 In the microscopic and molecular examination of skin samples, dermal microfilariae were detected in 42.5%  
137 (34/80) considering at least one test performed. Due to the wide distribution of its main vector, *R. sanguineus* sensu lato  
138 (Brianti et al. 2012), it is speculated that the distribution of *C. bainae* may also be extensive. Some canine studies reported  
139 prevalence (9.4% to 13.9%) in some regions of Italy and others of the Mediterranean (Otranto et al. 2012; Solinas et  
140 al. 2014). On other hand, a prevalence rate of 0.96% has been reported in the northeastern region of Brazil (Ramos et al.  
141 2016). However, to our knowledge, the present study expressess the highest frequency of *C. bainae* infection in dogs.

142 At microscopic analyzes dermal microfilariae specimens were detected in 33.75% (27/80) and were all identified  
143 as belonging to *Cercopithifilaria* (Figure 1) based on morfometric (i.e.,  $182.18 \pm 20 \mu\text{m}$  long and  $4.8 \pm 0.5 \mu\text{m}$  wide) and  
144 morphological features (i.e., rounded anterior end, short dorsal-ventrally flattened body and thick cuticle with transverse  
145 striations) (Ramos et al., 2016). This technique is simpler, cheaper and more commonly used to diagnose dermal  
146 microfilariae (i.e., *Cercopithifilaria* and *Onchocerca*) (Otranto et al. 2015; Ramos et al. 2016), however, it is more  
147 difficult to determine species of filarids.

148 According to PCR, 40% (32/80) of the samples were positive for the presence of dermal microfilariae and all 12S  
149 rRNA gene fragments sequence showed 99-100% of genetic identity with *C. bainae* comparing with available sequences  
150 deposited in GenBank (Acession numbers: KF381408; JF461461; KP760321). The PCR showed better diagnose

151 sensibility than microscopic examination, but both tests have excellent concordance level (Kappa= 0.759), regarding to  
 152 dermal microfilariae (Table 2). These results were higher than observed by Otranto et al. (2012) that obtained low  
 153 sensibility of PCR and bad concordance between these two diagnostic methods. The better performance of PCR in this  
 154 study is due different DNA extraction protocol which it was used skin's sediment while Otranto et al. (2012) used  
 155 fragments of skin to DNA extraction and subsequent PCR. The fact is that most microfilariae are deposited at the bottom  
 156 of eppendorf tubes; therefore, the present study shows that the use of skin sediment to detect and classify dermal  
 157 microfilariae species by PCR is more sensible, however the microscopic examination, being simpler and having an  
 158 excellent concordance level with PCR, should be considered as screening test to detect dermal filarids genus in dogs.

159 Dermatitis and granuloma have already been described with the presence of adult worms and/or microfilariae of  
 160 filarioids infecting dogs like *Dirofilaria repens*, *Onchocerca lupi* and *C. bainae* (Albanese et al. 2013; Otranto et al.  
 161 2013b; Boyd et al., 2019) and should be considered for confirmatory diagnosis of dermal filarioids species. However, in  
 162 this study, only *C. bainae* was found and associated with dermal nodules less than 1 cm (Table 1). Therefore, when  
 163 dealing with dermatitis and papules in dogs from Campo Grande, infection by *Cercopithifilaria* should be investigated.

164 In this study, animals with street access were significantly associated with infections by *Cercopithifilaria* ( $p=$   
 165 0.026) probably due to greater chance of exposure to potential vectors in the environment. It is known that *C. bainae*  
 166 infecting dogs overlaps the geographical area of *R. sanguineus* occurrence, however, low frequencies of ticks positive for  
 167 *C. bainae* (less than 3.9%; determined by molecular analysis) have been observed in regions from Italy, Spain and Greece,  
 168 although the frequencies of infection in dogs in the same regions varied from 0 to 45.4% (Otranto et al. 2013a,b). In the  
 169 present study, besides to the significant association with *R. sanguineus* presence ( $p=$  0.039), the high frequency of  
 170 infection by *Cercopithifilaria* in dogs (42.5%; 34/80) was similar to observed in *R. sanguineus* sensu latu (A and B  
 171 haplotypes) in the same region (43.83%; 32/73) by Soares et al. (2020). Therefore, the present study reinforces the  
 172 importance and vectorial competence of *R. sanguineus* for *Cercopithifilaria* transmission to dogs.

173 Flea presence on 16 dogs (all identified as *Ctenocephalides felis*), have no significative association with  
 174 *Cercopithifilaria* infecting dogs ( $p=$  0.263). There is no report about *Cercopithifilaria* be transmisted by flea too.  
 175 Although *C. felis* be relationed to *A. reconditum* transmission (Leite et al. 2012), this study shows that this filarid have no  
 176 importance in dogs from Campo Grande, Mato Grosso do Sul. Others parameters evaluated (i.e., age, sex, resident area,  
 177 contact with other animals, deworming recent, castrated, coinfection with another disease) had no significance association  
 178 with *Cercopithifilaria* infection ( $p>$  0.05).

179 The DNA sequence evaluations confirmed the morphological identification and presence of *D. immitis* and *C.  
 180 bainae* circulating in dogs from Campo Grande, Mato Grosso do Sul, Midwest Brazil. PCR showed more sensibility and  
 181 serves to detect and classify microfilaria species, but the microscopic analysis should be considered as screening test for  
 182 detection of filarids genus in dogs, mainly in the presence of dermal nodules. Considering that in the area of study  
 183 mosquitoes and *R. sanguineus* are prevalent throughout the year, preventive measures should be disposed in order to  
 184 avoid the animal infestation and filarioids infection.

185

## 186 Acknowledgment

187 This work was supported by the Coordination of Improvement of Higher Education Personnel (CAPES), Brazil  
 188 (Financing Code 001).

189

**190 References**

- 191 Almeida MAO, Barros MTG, Santos EP, Ayres MCC, Guimarães JE, Gondim FP. (2001) Parasitismo de cães por  
192 microfilárias de *Dirofilaria immitis*: influência da raça, sexo e idade. Revista Brasileira de Saúde e Produção Animal  
193 2:59-64.
- 194 Altschul SF, Gish W, Miller W, Myers EW, Lipman DJ. (1990) Basic local alignment search tool. J. Mol. Biol. 215, 403–  
195 410.
- 196 Alves LC, Silva LVA, Faustino MAG, McCall JW, Supakoderj P, Labarthe NW, Sanchez M, Caires O. (1999) Survey of  
197 canine heartworm in the city of Recife, Pernambuco, Brazil. Memórias do Instituto Oswaldo Cruz, Rio de Janeiro, 94(5):  
198 587-590.
- 199 Araujo FR, Ramos CAN, Luiz HL, Peres IAHFS, Oliveira RHM, Souza IIF. (2009) Avaliação de um protocolo de  
200 extração de DNA genômico a partir de sangue total. Campo Grande: Embrapa Gado de Corte; 5 p. 120 Comunicado  
201 Técnico.
- 202 Ayres M, Ayres-Júnior DL, Ayres AAS. (2007). BioEstat—Aplicações estatísticas nas áreas de ciências biomédicas Ong  
203 Mamiraua, Belém, PA.
- 204 Barros MTG, Santos EP, Almeida MAO. (1993) Freqüência de microfilárias de *Dipetalonema reconditum* Grassi, 1890  
205 em cães dos municípios de Salvador e Lauro de Freitas, Bahia. In: Congresso Internacional de Medicina Veterinária Em  
206 Língua Portuguesa, 6., Salvador. Anais... Salvador: UFBA, p. 340.
- 207 Barros-Battesti DM, Arzua M, & Bechara GH. (2006) Carrapatos de importância médico-veterinária da região  
208 neotropical: um guia ilustrado para identificação de espécies. São Paulo: Vox/ICTTD-3/Butantan; 223 p.
- 209 Boyd M, Santoro D, Craft WF, Ginn PE, Childress AL, Wellehan JFX, & Walden HS. (2019) Dermatitis caused by  
210 autochthonous *Cercopithifilaria bainae* from a dog in Florida, USA: clinical, histological and parasitological diagnosis  
211 and treatment. Vet. Dermatol, 30(1): 68-20.
- 212 Brianti E, Otranto D, Dantas-Torres F, Weigl S & Latrofa MS. (2012) *Rhipicephalus sanguineus* (Ixodida, Ixodidae) as  
213 intermediate host of a canine neglected filarial species with dermal microfilariae. Veterinary Parasitology, 10: 330–337.
- 214 Brito AC, Vila-Nova MC, Rocha DAM, Costa LG, Almeida WAP, Lopes Juniro RR, Fontes G, Rocha EMM, Regis L.  
215 (2001) Prevalência de filariose canina causada por *Dirofilaria immitis* e *Dipetalonema reconditum* em Maceió, Alagoas,  
216 Brasil. Cadernos de Saúde Pública, Rio de Janeiro, 17(6): 1497-1504.
- 217 Da Silva RC, Langoni H. (2009) Dirofilariasis. Neglected emerging zoonosis. Ciência Rural, 39(5):1614-1623
- 218 Gabrielli S, Giannelli A, Brianti E, Dantas-Torres F, Bufalini M, Fraulo M, LaTorre F, Ramos RA, Cantacessi C, Latrofa  
219 MS, Cancrini G, Otranto D. (2014) Chronic polyarthritis associated to *Cercopithifilaria bainae* infection in a dog. Vet.  
220 Parasitol, 205: 401-404.
- 221 Garcez LM, de Souza NF, Mota EF, Dickson LAJ, Abreu WU, Cavalcanti VFN, Gomes PAF (2006) Focus of canine  
222 heartworm disease in Marajo Island, North of Brazil: a risk factor for human health. Rev Soc Bras Med Trop 39:333–  
223 336.

- 224 Hall RE, Kestler DP, Agarwal S, Goldstein KM. (1999) Expression of the monocytic differentiation/activation factor P48  
225 in species. *Mycoplasma Microb Pathog*, 27(3): 145-153.
- 226 Knight DH. (1987) Heartworm infection. *Veterinary Clinics of North America. Small Animals Practice*, USA, 17: 1463-  
227 1518.
- 228 Knott J. (1939) A method for making microfilarial survey on day blood. *Med. Hyg*, 33: 191-196.
- 229 Labarthe NV, Serrão ML, Melo YF, Oliveira SJ, Lourenço-de-Oliveira R. (1998). Mosquito frequency and feeding habits  
230 in an enzootic canine *Dirofilaria immitis* area in Niterói, State of Rio de Janeiro, Brazil. *Mem Inst Oswaldo Cruz*, 93: 145-54.
- 231 Labarthe NV, Paiva JP, Reifur L, Mendes-de-Almeida F, Merlo A, Pinto CJ, Juliani OS, Almeida MA, Alves LC. (2014).  
232 Updated canine infection rates for *Dirofilaria immitis* in areas of Brazil previously identified as having a high incidence  
233 of heartworm-infected dogs. *Parasites Vectors* 7: 493.
- 234 Leite LC, Luz E, Cirio SM, Leite MC, Molinari HP, Zadorosnei ACB, Oliveira TMFS, Leite SC. (2012) Infection in  
235 domestic dogs (*Canis lupus familiaris*, Linnaeus, 1758) from Guaratuba, Paraná, Brazil by circulating microfilariae  
236 of *Acanthocheilonema reconditum* (Grassi, 1889). *Semin. Cienc. Agrar* 33(3):1149-1155.
- 237 Linardi PM & Santos JLC. (2012) *Ctenocephalides felis felis* vs. *Ctenocephalides canis* (Siphonaptera: Pulicidae): some  
238 issues in correctly identify these species. *Revista Brasileira de Parasitologia Veterinária*, 21(4), 345-354.
- 239 Otranto D, Brianti E, Dantas-Torres F, Weigl S, Latrofa MS, Gaglio G, Cauquil L, Giannetto S, Bain O. (2011)  
240 Morphological and molecular data on the dermal microfilariae of a species of *Cercopithifilaria* from a dog in Sicily. *Vet  
241 Parasitol*, 182: 221-229.
- 242 Otranto D, Brianti E, Latrofa MS, Annoscia G, Weigl S, Lia RP, Gaglio G, Napoli E, Giannetto S, Papadopoulos E, Mirò  
243 G, Dantas-Torres F, Bain O. (2012) On a *Cercopithifilaria* sp. transmitted by *Rhipicephalus sanguineus*: an neglected, but  
244 widespread filarioid of dogs. *Parasites Vectors*, 5: 1.
- 245 Otranto D, Brianti E, Dantas-Torres F, Mirò G, Latrofa MS, Mutafchiev Y, Bain O. (2013a). Species diversity of dermal  
246 microfilariae of the genus *Cercopithifilaria* infesting dogs in the Mediterranean region. *Parasitology* 140, 99-108.
- 247 Otranto D, Varcasia A, Solinas C, Scala A, Brianti E, Dantas-Torres F, Annoscia G, Martin C, Mutafchiev Y, Bain O,  
248 (2013b) Redescription of *Cercopithifilaria bainae* Almeida & Vicente, 1984 (Spirurida, Onchocercidae) from a dog in  
249 Sardinia, Italy. *Parasit. Vectors* 6: 132.
- 250 Otranto D, Giannelli A, Trumble NS, Chavkin M, Kennard G, Latrofa MS, Bowman DD, Dantas-Torres F, Eberhard ML.  
251 (2015) Clinical case presentation and a review of the literature of canine onchocercosis by *Onchocerca lupi* in the United  
252 States. *Parasites Vectors*, 8: 89.
- 253 Ramos RA, Oliveira Rêgo AG, Farias Firmino ED, Ramos CA, Carvalho GA, Dantas-Torres F, Otranto D. & Alves LC.  
254 (2016) Filarioids infecting dogs in northeastern Brazil. *Veterinary Parasitology*, 226: 26-29.
- 255 Sanger F, Nicklen S, Coulson AR, (1977) DNA sequencing with chain-terminating inhibitors. *Proc. Natl. Acad. Sci.  
256 U.S.A.* 74: 5463-5467.

- 257 Santos MAB, Souza IB, Macedo LO, Ramos CAN, Rego AGO, Alves LC, Ramos RAN, Carvalho GA.  
 258 (2017). *Cercopithifilaria bainae* in *Rhipicephalus sanguineus* sensu lato ticks from dogs in Brazil. Ticks and Tick Borne  
 259 Diseases, 8: 623–625.
- 260 Sevimli FK, Kozan E, Bülbül A, Birdane FM, Köse M, Sevimli A. (2007) *Dirofilaria immitis* infection in dogs: unusually  
 261 located and unusual findings. Parasitology Research, 101: 1487-94.
- 262 Smith JRF, et al. Manual of Canine and Feline Cardiology. 3. ed. St. Louis: Elsevier, 2015, 472 p.
- 263 Soares RL, da Silva AO, Coelho ML; Echeverria JT, de Souza ML, Babo-Terra VJ; Pasquatti TN, Ramos RAN, Ramos,  
 264 CAN. (2020). Molecular detection of *Cercopithifilaria bainae* and other tick-borne pathogens in *Rhipicephalus*  
 265 *sanguineus* s.l. isolated from dogs in Midwest Brazil, Brazilian journal of veterinary Parasitology, printing-press.
- 266 Torres FD, Figueredo LA. (2007) *Heterodoxus spiniger* (Enderlein, 1909) on domestic dogs (*Canis familiaris*, L. 1758)  
 267 from the city of Recife, Pernambuco State, Brazil. Brazilian Journal of Veterinary Research and Animal Science, São  
 268 Paulo, 44(2): 77-80.
- 269 Vezzani D, Carbajo AE, Fontanarrosa MF, Scodellaro CF, Basabe J, Cangiano G, and Eiras DF. (2011). Epidemiology  
 270 of canine heartworm in its southern distribution limit in South America: risk factors, inter-annual trend and spatial  
 271 patterns. Vet. Parasitol, 176: 240–249.
- 272 Yildirim A, Ica A, Atalay O, Duzlu O, and Inci A. (2007). Prevalence and epidemiological aspects of *Dirofilaria*  
 273 *immitis* in dogs from Kayseri province, Turkey. Res. Vet. Sci., 82: 358–363.

274



275  
 276 **Figure 1:** *Cercopithifilaria bainae* detected by microscopic examination of skin's fragment sedimentation

**Table 1.** Epidemiological aspects associated with *Dirofilaria* and *Cercopithifilaria* infection in dogs from Campo Grande, Mato Grosso do Sul, Midwest Brazil.

Parameters	Samples	Dogs					
		<i>Dirofilaria</i>	<i>Dirofilaria</i>	<i>p</i> -Value*	<i>Cercopithifilaria</i>	<i>Cercopithifilaria</i>	<i>p</i> -Value*
		+	-		+	-	
<b>Sex</b>							
Male	36	3	33	0.321	19	17	0.260
Female	44	1	43		15	27	
<b>Age</b>							
< 5 years	59	2	57	0.280	26	33	0.797
> 5 years	21	2	19		8	13	
<b>castrated</b>							
yes	15	1	14	0.980	5	10	0.565
no	65	3	62		29	36	
<b>Area resident</b>							
urban	74	4	70	1.0	33	41	0.233
rural	6	0	6		1	5	
<b>Contact with other animals</b>							
yes	55	3	52	1.0	22	33	0.626
no	25	1	24		12	13	
<b>Street access</b>							
yes	24	0	24	0.310	15	9	0.026
no	56	4	52		19	37	
<b>Deworming recent</b>							
yes	28	1	27	1.0	12	16	1.0
no	52	3	49		22	30	
<b>Coinfection with another disease</b>							
yes	44	1	43	0.321	22	22	0.174
no	36	3	33		12	24	
<b>Tick presence<sup>1</sup></b>							
yes	45	2	43	1.0	24	21	0.039
no	35	2	33		10	25	
<b>Flea presence<sup>2</sup></b>							
yes	16	0	16	0.578	9	7	0.263
no	64	4	60		25	39	
<b>Dermal nodule (less than 1cm)</b>							
yes	27	1	26	1.0	16	11	0.035
no	53	3	50		18	35	

\*Fisher's exact test

<sup>1</sup>*Rhipicephalus sanguineus*<sup>2</sup>*Ctenocephalides felis*

279 **Table 2.** Comparison between PCR results and microscopic examination for dermal microfilariae detection

Test	PCR +	PCR -	Total colum
Microscopic examination +	25	2	27
Microscopic examination -	7	46	53
Total line	32	48	80

280 Kappa test= 0.759

**CAPÍTULO 3**

1  
2  
3 (Artigo 2- Aceito e publicado de acordo com o periódico: *Revista Brasileira de*  
4 *Parasitologia Veterinária- RBPV*)  
5

6 **SHORT COMMUNICATION**

7 **Molecular detection of *Cercopithifilaria bainae* and other tick-borne pathogens in**  
8 ***Rhipicephalus sanguineus* s.l. isolated from dogs in Midwest Brazil**

9  
10 **Detecção molecular de *Cercopithifilaria bainae* e outros patógenos transmitidos por**  
11 **carápatos em *Rhipicephalus sanguineus* s.l. isolados de cães no Centro-Oeste do**  
12 **Brasil**

13  
14 ***C. bainae* and tick-borne pathogen in *R. sanguineus***

15  
16 Rodrigo Leite Soares<sup>1</sup>; Angélica Oliveira da Silva<sup>1</sup>; Mateus Lotério Coelho<sup>1</sup>; Jessica  
17 Teles Echeverria<sup>1</sup>; Michelli Lopes de Souza<sup>1</sup>; Veronica Jorge Babo-Terra<sup>1</sup>; Taynara  
18 Nunes Pasquatti<sup>2</sup>; Rafael Antonio Nascimento Ramos<sup>3</sup>; Carlos Alberto do Nascimento  
19 Ramos<sup>1</sup>

20  
21 <sup>1</sup>Faculdade de Medicina Veterinária e Zootecnia (FAMEZ), Universidade Federal de  
22 Mato Grosso do Sul (UFMS), Campo Grande, MS, Brasil

23 <sup>2</sup>Universidade Católica Dom Bosco, Campo Grande, MS, Brasil

24 <sup>3</sup>Unidade Acadêmica de Garanhuns, Universidade Federal Rural de Pernambuco  
25 (UFPRE), Garanhuns, PE, Brasil

26  
27 \*Corresponding author: Rodrigo Leite Soares. Universidade Federal de Mato Grosso do  
28 Sul. Av. Senador Filinto Muller, 79070-900, Campo Grande, MS, Brasil. Tel: 55(67)  
29 98174-2669. E-mail: rodrigo\_flz@hotmail.com. <https://orcid.org/0000-0002-4821-218X>

30 **Abstract**

31 The aim of the present study was to detect *Cercopithifilaria bainae* and other tick-borne  
32 pathogens and to perform molecular characterization of the tick *Rhipicephalus*  
33 *sanguineus* s.l. collected from dogs. Ticks (n= 432, including 8 larvae, 59 nymphs, and  
34 365 adults) were sampled from domiciled dogs (n= 73) living in Campo Grande, Mato  
35 Grosso do Sul (Midwest Brazil). All ticks were morphologically identified as *R.*  
36 *sanguineus*. Genomic DNA was extracted in pools (three to five ticks per animal) and  
37 was used for definition of *R. sanguineus* haplotypes (based on 16S rRNA analysis) and  
38 pathogen identification (*Cercopithifilaria* sp., *Ehrlichia canis*, *Anaplasma platys*,  
39 *Hepatozoon canis*, *Babesia vogeli* and *Rickettsia* spp.). *Rhipicephalus sanguineus*  
40 specimens were identified as haplotypes A and B. DNA of *Cercopithifilaria bainae*  
41 (43.83%; 32/73), *Ehrlichia canis* (24.65%; 18/73), *Anaplasma platys* (19.17%; 14/73),  
42 and *Hepatozoon canis* (5.47%; 4/73) was detected. The identity of pathogens was  
43 confirmed by DNA sequence analysis. The present study confirms the presence of  
44 haplotypes A and B of *R. sanguineus* in the state of Mato Grosso do Sul and its importance  
45 as a vector of several pathogens of veterinary concern. Finally, this is the first report to  
46 identify *C. bainae* in ticks in the Midwestern region of Brazil.

47

48 **Keywords:** Ticks, genetic characterization, dog, central western region, Brazil.

49

50 **Resumo**

51 O objetivo do presente estudo foi detectar *Cercopithifilaria bainae* e outros patógenos  
52 transmitidos por carrapatos e realizar a caracterização molecular do carrapato  
53 *Rhipicephalus sanguineus* s.l. coletado em cães. Carrapatos (n= 432, incluindo 8 larvas,  
54 59 ninfas e 365 adultos) foram amostrados de cães domiciliados (n= 73) residentes no  
55 município de Campo Grande, Mato Grosso do Sul (centro-oeste do Brasil). Todos os  
56 carrapatos foram identificados morfologicamente como *R. sanguineus*. O DNA genômico  
57 foi extraído em pools (três a cinco carrapatos por animal), seguido pela definição de  
58 haplótipos (com base no gene 16S rRNA) e pela investigação de patógenos  
59 (*Cercopithifilaria* sp., *Ehrlichia canis*, *Anaplasma platys*, *Hepatozoon canis*, *Babesia*  
60 *vogeli* e *Rickettsia* spp.). Os espécimes coletados foram identificados como haplótipos A  
61 e B de *R. sanguineus*. Foram detectados DNA de *Cercopithifilaria bainae* (43,83%;

62 32/73), *Ehrlichia canis* (24,65%; 18/73), *Anaplasma platys* (19,17%; 14/73) e  
63 *Hepatozoon canis* (5,47%; 4/73). A identidade dos patógenos foi confirmada por análise  
64 de sequência de DNA. O presente estudo confirma a circulação dos haplótipos A e B de  
65 *R. sanguineus* no estado de Mato Grosso do Sul e sua importância como vetor de vários  
66 patógenos de interesse veterinário. Finalmente, este é o primeiro relato de *C. bainae* em  
67 carapatos na região centro-oeste do Brasil.

68

69 **Palavras-chave:** Carapato, Caracterização genética, cão, Centro-Oeste, Brasil.

70

## 71 **Introduction**

72 Ticks and tick-borne pathogens constitute an important problem of medical and  
73 veterinary concern around the world. Several microorganisms (e.g., *Rickettsia rickettsii*,  
74 *Borrelia burgdorferi* and *Ehrlichia canis*) transmitted by ticks may cause infection in  
75 humans and animals (ALMEIDA et al., 2013; SCHREIBER et al., 2014). Therefore,  
76 studies on the detection of ticks and their associated pathogens provide valuable  
77 information to better understand their epidemiology (SCHREIBER et al., 2014).

78 Among the tick species infesting dogs, *Rhipicephalus sanguineus* sensu lato is considered  
79 the most important and is widespread throughout the world. Two genetic lineages are  
80 currently recognized within this species (i.e., the Southern or temperate lineage and the  
81 Northern or tropical lineage) (MORAES-FILHO et al., 2011). The vector competence of  
82 ticks belonging to these different lineages has been subject of speculation. For example,  
83 differences have been observed in the transmission of distinct Brazilian strains of *E. canis*  
84 to dogs (MORAES-FILHO et al., 2015) and it is likely that this variation in vector  
85 competence also holds true for other pathogens. In the state of Mato Grosso do Sul  
86 (central western Brazil), little is known about the occurrence of different lineages of *R.*  
87 *sanguineus*, although there is evidence of genetic similarity between local strains and  
88 those recognized as tropical lineages and reported in the States of Rio de Janeiro and São  
89 Paulo (BURLINI et al., 2010; MORAES-FILHO et al., 2011).

90 *Ehrlichia canis* and *Anaplasma platys* are among the most prevalent and disease-causing  
91 pathogens in dogs in Brazil (RAMOS et al., 2010; SOARES et al., 2017). On the other  
92 hand, the distribution and epidemiological impact of other pathogens are poorly  
93 documented. For instance, although the filarial *Cercopithifilaria bainae* was first reported

94 in Brazil in 1984 (ALMEIDA & VICENTE, 1984), the parasite has only gained attention  
95 in the last four years, especially in the North-Eastern regions of the country (RAMOS et  
96 al., 2016; SANTOS et al., 2017).

97 Researchers have placed increasing importance on investigating the occurrence of  
98 pathogens in ticks (SCHREIBER et al., 2014; MELO et al., 2016), which is an interesting  
99 alternative to surveys carried out in dogs, especially for pathogens that present with low  
100 parasitemia. Therefore, the present study aimed to characterize *R. sanguineus* strains  
101 infesting dogs in Campo Grande, State of Mato Grosso do Sul, Brazil, as well as to  
102 identify the main pathogens carried by this tick.

103

#### 104 **Materials and Methods**

105 The present study was approved by the Ethics Committee for Animal Experimentation of  
106 the Federal University of Mato Grosso do Sul (protocol number: 961/2018).

107 Ticks were collected from 73 naturally infested domiciled dogs at the Veterinary  
108 Teaching Hospital of the Federal University of Mato Grosso do Sul and the Zoonosis  
109 Control Center, municipality of Campo Grande (20°30'32.0"S 54°37'15.2"W), Mato  
110 Grosso do Sul (MS), Brazil.

111 Ticks were manually and randomly collected from each dog during a period of 5 min, for  
112 a total of 432 ticks. The specimens were placed in glass vials containing 70% ethanol and  
113 subsequently identified based on morphological characteristics, according to Barros-  
114 Battesti et al. (2006).

115 Adult ticks were pooled (three to five per animal) and DNA was extracted from them.  
116 The ticks were first washed with autoclaved distilled water and dried. The selected  
117 parasites were macerated in microtubes; this was followed by addition of 500 µl of 20%  
118 sodium dodecyl sulfate and 10 µl of proteinase K (20 mg/ml), incubation for 24 hours at  
119 56°C, addition of 400 µl of chloroform and vigorous homogenization by vortexing. After  
120 the addition of 300 µl of protein precipitation solution (0.8 M potassium acetate and 11%  
121 glacial acetic acid), the mixture was centrifuged at 10,000 × g for 10 minutes. The  
122 aqueous phase was transferred to a microtube and DNA was precipitated by the addition  
123 of 1 ml of 100% ethanol. After centrifugation at 10,000 × g for 5 minutes, the pellet was  
124 washed with 1 ml of 70% ethanol and dried at room temperature (approximately 25°C)  
125 for 30 minutes. The pellet was suspended in 1x TE buffer. DNA integrity and quantity

126 were evaluated by electrophoresis in 0.8% agarose gels and spectrophotometry  
127 (A260/A280), respectively.

128 Samples were submitted to polymerase chain reaction (PCR) using the primers described  
129 in Table 1. A single PCR was used for the detection of *Cercopithifilaria* sp., *B.*  
130 *vogeli*, *Hepatozoon* sp., and *Rickettsia* sp., and a nested PCR was used for *E. canis* and  
131 *A. platys*. The PCR products were visualized in an UV transilluminator after 1.5% agarose  
132 gel electrophoresis and staining with Gel Red (Biotium, Fremont, CA, USA).

133 Amplicons were purified using Clean Sweep PCR Purification reagent (Thermo Fisher  
134 Scientific Carlsbad, CA, USA) and sequenced in both directions by Sanger sequencing in  
135 an ABI-3130 automated sequencer (Applied Biosystems). Sequences were analyzed with  
136 the aid of Contig editor version 2.2.0 (Gene Studio Inc), and the identity of DNA  
137 sequences was determined by comparison with sequences available in the GenBank  
138 database using the BLASTn search tool.

139 Ten tick-positive samples were subjected to 16S rRNA sequencing. A phylogenetic tree  
140 was constructed using the UPGMA method (SNEATH & SOKAL, 1973). DNA  
141 sequences of ticks available in the GenBank database were used for phylogenetic analysis.  
142 Bootstrap resampling (1000 replicates) was performed for statistical support of reliability  
143 of tree nodes (FELSENSTEIN, 1985) using the MEGA software version 6.0 (TAMURA  
144 et al., 2013).

145 Moreover, five samples positive for *Cercopithifilaria* sp., four positive for *E. canis*, four  
146 positive for *A. platys*, and two positive for *Hepatozoon* sp., were similarly submitted for  
147 DNA sequencing. The DNA sequences were deposited in Genbank under the accession  
148 numbers shown in Table 2.

149

## 150 **Results and Discussion**

151 All ticks analyzed in the present study were morphologically identified as *R. sanguineus*  
152 partially or completely engorged (n=432, including 8 larvae, 59 nymphs and 365 adults).  
153 The 16S rRNA gene was amplified from all 73 samples (pools); the 10 samples sequenced  
154 revealed  $\geq 99\%$  identity (100% coverage) with sequences of *R. sanguineus* available in  
155 the Genbank database.

156 In the phylogenetic analysis, the Campo Grande (CG) strains clustered with haplotypes  
157 A and B (Figure 1), previously identified by Moraes-Filho et al. (2011) and defined as  
158 tropical haplotypes.

159 The present results confirmed the presence of these *R. sanguineus* haplotypes in the  
160 region and corroborate the observations made by Melo et al. (2016), who found only the  
161 A and B haplotypes in the Pantanal region of the state of Mato Grosso, Brazil. The C  
162 haplotype described in the Northern regions of South America (e.g., Colombia)  
163 (MORAES-FILHO et al., 2011) segregated into a separate branch from the strains from  
164 Mato Grosso do Sul, but with all these haplotypes having a common ancestry. In contrast,  
165 the D, E, and F haplotypes (temperate haplotypes) formed a separate clade, supported by  
166 a high bootstrap value. These haplotypes have been reported in Chile, Argentina,  
167 Uruguay, and Southern Brazil (state of Rio Grande do Sul) (MORAES-FILHO et al.,  
168 2011) and have greater genetic proximity to strains from Europe (SZABÓ et al., 2005).

169 Regarding the pathogens analyzed from ticks (divided in 73 pools) by PCR,  
170 *Cercopithifilaria* sp., (43.83%; 32/73), *E. canis* (24.65%; 18/73), *A. platys* (19.17%;  
171 14/73), and *Hepatozoon* sp. (5.47%; 4/73) were identified. DNA from *Babesia vogeli* and  
172 *Rickettsia* spp. were not detected in any sample. The DNA sequencing results confirmed  
173 the presence of *C. bainae*, *E. canis*, *A. platys*, and *H. canis* in ticks from Campo Grande,  
174 and the sequences were deposited in Genbank under the accession numbers shown in  
175 Table 2.

176 A part from *C. bainae*, all other pathogens have been frequently reported in dogs in the  
177 region of interest (RAMOS et al., 2015; SOARES et al., 2017), among which *E. canis*  
178 stands out as the most prevalent agent and is often associated with veterinary health  
179 problems. An *E. canis* infection rate of 55.75% of has been described in pet dogs from  
180 Campo Grande- MS (SOARES et al., 2017), as well as a rate of 8.5% in stray cats in the  
181 same region (ANDRÉ et al., 2015).

182 The high prevalence of *E. canis* in dogs in the region may also be associated with the  
183 presence of A and B haplotypes of *R. sanguineus* observed in the present study,  
184 corroborating the findings of a vector competence study by Moraes-Filho et al. (2015),  
185 who observed in that the tropical haplotype of *R. sanguineus* is more effective at  
186 transmitting *E. canis* to dogs compared to temperate haplotypes.

187 It should be highlighted that *A. platys* was one of the most frequent pathogens found in  
188 the studied ticks (19.17%), a finding which is compatible with the *A. platys* prevalence  
189 rate described in dogs in the region. According to Soares et al. (2017), the infection  
190 frequency of dogs by *A. platys* in Campo Grande was 16.96% between 2007 and 2009.  
191 The high prevalence of *A. platys* and *E. canis* in dogs and ticks in the region provides  
192 evidence that the A and B haplotypes of *R. sanguineus* are competent vectors for both  
193 pathogens, which can be found in the same geographic areas where the tropical  
194 haplotypes (A and B) of *R. sanguineus* circulate.

195 Another important result of the present study was the identification, for the first time, of  
196 *C. bainae* in ticks from the central western region of Brazil. *Rhipicephalus sanguineus* is  
197 a vector for this filarid, which parasitizes the dermis of dogs (BRIANTI et al., 2012). It  
198 has been recently described in dogs and *R. sanguineus* in North-Eastern Brazil (RAMOS  
199 et al., 2016; SANTOS et al., 2017). However, its clinical importance remains unknown.  
200 In the present study, *R. sanguineus* (haplotypes A and B) was considered a competent  
201 vector for this pathogen in the region, since *C. bainae* was detected in 43.83% of tick  
202 samples. Despite the small number of collected ticks and the analyses being carried out  
203 in pools, this prevalence was very high, since Santos et al. (2017) found *C. bainae* in only  
204 51 (2.67%) out of 1906 ticks.

205 Moreover, Otranto et al. (2012) found the frequency of ticks positive for *C. bainae*  
206 (determined through molecular analysis) to be lower than 3.9% in the studied regions of  
207 Italy, Spain, and Greece, although the frequencies of infection in dogs in these regions  
208 ranged from 0 to 45.4%. This indicates that the frequency of dogs infected by *C. bainae*  
209 in the city of Campo Grande may be high as well. Further studies are needed to clarify  
210 this issue.

211 In the present study, *Hepatozoon canis* was detected in only 5.47% (4/73) of the *R.*  
212 *sanguineus* samples, but this prevalence is compatible with this pathogen infecting dogs  
213 (3.63%; 6/165) from the same region (RAMOS et al., 2015). Although *R. sanguineus* has  
214 been implicated as the main vector of *H. canis* pathogens in urban areas of Brazil, low  
215 infection rates have been reported in dogs, despite high tick infestation rates (RAMOS et  
216 al., 2010, RAMOS et al., 2015). The prevalence observed in dogs and ticks from Campo  
217 Grande- MS points to the low competence of *R. sanguineus* (A and B haplotypes) in  
218 acquiring and transmitting these specific isolates of the protozoan.

219 Previous studies have reported unsuccessful attempts at describing the development of *H.*  
220 *canis* in ticks, including *R. sanguineus* from Brazil (FORLANO et al., 2005; GOMES et  
221 al., 2010; DEMONER et al., 2013). On the other hand, the development of *H. canis* in  
222 populations of *R. sanguineus* in Europe has been reported frequently (BANETH et al.,  
223 2001; GIANNELLI et al., 2013). Therefore, genetic and morphological variability in *R.*  
224 *sanguineus* populations can probably be attributed to the tick's ability to transmit this  
225 pathogen in different regions.

226 Although no DNA from *Babesia vogeli* and *Rickettsia* spp. was found in the tick pools  
227 analyzed, both pathogens occur in the region, albeit at a low frequency. DNA from  
228 *Babesia vogeli* was found in dogs from the city of Campo Grande at a frequency of only  
229 3.3% (2/60) (SOUSA et al., 2013). *Rickettsia rickettsii* was identified in only one tick of  
230 a total of 2015 specimens collected from dogs in the city of Campo Grande (ALMEIDA  
231 et al., 2013).

232 The results of the present study confirm the presence of *C. bainae*, *E. canis*, *A. platys*,  
233 and *H. canis* in dogs in the municipality of Campo Grande, MS, Brazil and demonstrate  
234 the importance of the tick *R. sanguineus* (haplotypes A and B) as a host and potential  
235 vector of a set of pathogens in the region.

236

### 237 **Acknowledgment**

238 This work was supported by the Coordination of Improvement of Higher Education  
239 Personnel (CAPES), Brazil (Financing Code 001).

240

### 241 **References**

- 242 Almeida GLG, Vicente JJ. *Cercopithifilaria bainae* sp. n. parasita de *Canis familiaris*  
243 (L.) (Nematoda, Filarioidea). *Atas Soc Biol Rio de Janeiro* 1984; 24: 18.  
244 Almeida RCF, Garcia MV, Cunha RC, Matias J, Silva EA, Matos MFC, et al. Ixodid  
245 fauna and zoonotic agents in ticks from dogs: first report of *Rickettsia rickettsii* in  
246 *Rhipicephalus sanguineus* in the state of Mato Grosso do Sul, mid-western Brazil. *Exp*  
247 *Appl Acarol* 2013; 60(1): 63-72. <https://doi.org/10.1007/s10493-012-9641-y>  
248 Andre MR, Herrera HM, Fernandes SJ, de Sousa KC, Goncalves LR, Domingos IH et al.  
249 Tick-borne agents in domesticated and stray cats from the city of Campo Grande, state of

- 250 Mato Grosso do Sul, midwestern Brazil. *Ticks Tick Borne Dis* 2015; 6(6): 779-786.  
251 <https://doi.org/10.1016/j.ttbdis.2015.07.004>
- 252 Baneth G, Samish M, Alekseev E, Aroch I, Shkap V. Transmission of *Hepatozoon*  
253 *canis* to dogs by naturally-fed or percutaneously-injected ticks *Rhipicephalus sanguineus*  
254 ticks. *J Parasitol* 2001; 87(3): 606-611. [https://doi.org/10.1645/0022-3395\(2001\)087\[0606:TOHCTD\]2.0.CO;2](https://doi.org/10.1645/0022-3395(2001)087[0606:TOHCTD]2.0.CO;2)
- 256 Barros-Battesti DM, Arzua M & Bechara GH. *Carapatos de importância médica-*  
257 *veterinária da região neotropical: um guia ilustrado para identificação de espécies.*  
258 1<sup>a</sup> ed. São Paulo: Vox/ICTTD-3/Butantan, 2006.
- 259 Brianti E, Otranto D, Dantas-Torres F, Weigl S, Latrofa MS, Gaglio G, et al.  
260 *Rhipicephalus sanguineus* (Ixodida, Ixodidae) as intermediate host of a canine neglected  
261 filarial species with dermal microfilariae. *Vet Parasitol* 2012; 183(3-4): 330-337.  
262 <https://doi.org/10.1016/j.vetpar.2011.07.031>
- 263 Burlini L, Teixeira KR, Szabó MP, Famadas KM. Molecular dissimilarities of  
264 *Rhipicephalus sanguineus* (Acari: Ixodidae) in Brazil and its relation with samples  
265 throughout the world: is there a geographical pattern? *Exp Appl Acarol* 2010; 50(4): 361-  
266 374. <https://doi.org/10.1007/s10493-009-9321-8>
- 267 Demoner LC, Rubini AS, Paduan KS, Metzger B, Paula Antunes JM, Martins TF, et al.  
268 Investigation of tick vectors of *Hepatozoon canis* in Brazil. *Ticks Tick Borne Dis* 2013;  
269 4(6): 542-546. <https://doi.org/10.1016/j.ttbdis.2013.07.006>
- 270 Duarte SC, Linhares GFC, Romanowsky TN, Silveira Neto OJ, Borges LMF. Assessment  
271 of primers designed for the subspecies-specific discrimination among *Babesia canis*  
272 *canis*, *Babesia canis vogeli* and *Babesia canis rossi* by PCR assay. *Vet Parasitol* 2008;  
273 152(1-2): 16-20. <https://doi.org/10.1016/j.vetpar.2007.12.013>
- 274 Felsenstein J. Confidence limits on phylogenies: an approach using the bootstrap.  
275 *Evolution* 1985; 39(4): 783-791. <https://doi.org/10.1111/j.1558-5646.1985.tb00420.x>
- 276 Forlano M, Scofield A, Elisei C, Fernandes KR, Ewing SA, Massard CL. Diagnosis  
277 of *Hepatozoon* spp. in *Amblyomma ovale* and its experimental transmission in domestic  
278 dogs in Brazil. *Vet Parasitol* 2005; 134(1-2): 1-7.  
279 <https://doi.org/10.1016/j.vetpar.2005.05.066>
- 280 Giannelli A, Ramos RAN, Di Paola G, Mencke N, Dantas-Torres F, Baneth G, et al.  
281 Transstadial transmission of *Hepatozoon canis* from larvae to nymphs of *Rhipicephalus*

- 282 *sanguineus*. *Vet Parasitol* 2013; 196(1-2): 1-5.  
283 <https://doi.org/10.1016/j.vetpar.2013.02.017>
- 284 Gomes PV, Mundim MJ, Mundim AV, Ávila DF, Guimarães EC, Cury MC. Occurrence  
285 of *Hepatozoon* sp. in dogs in the urban area originating from a municipality in  
286 southeastern Brazil. *Vet Parasitol* 2010; 174(1-2): 155-161.  
287 <https://doi.org/10.1016/j.vetpar.2010.07.020>
- 288 Inokuma H, Okuda M, Ohno K, Shimoda K, Onishi T. Analysis of the 18S rRNA gene  
289 sequence of a *Hepatozoon* detected in two Japanese dogs. *Vet Parasitol* 2002; 106(3):  
290 265-271. [https://doi.org/10.1016/s0304-4017\(02\)00065-1](https://doi.org/10.1016/s0304-4017(02)00065-1)
- 291 Labruna MB, Whitworth T, Horta MC, Bouyer DH, McBride JW, Pinter A, et al.  
292 *Rickettsia* species infecting *Amblyomma cooperi* ticks from an area in the state of São  
293 Paulo, Brazil, where Brazilian spotted fever is endemic. *J Clin Microbiol* 2004; 42(1):  
294 90-98. <https://doi.org/10.1128/jcm.42.1.90-98.2004>
- 295 Mangold AJ, Bargues MD, Mas-Coma S. Mitochondrial 16S rDNA sequences and  
296 phylogenetic relationships of species of *Rhipicephalus* and other tick genera among  
297 Metastriata (Acari: Ixodidae). *Parasitol Res* 1998; 84(6): 478-484.  
298 <https://doi.org/10.1007/s004360050433>
- 299 Martin AR, Brown GK, Dunstan RH, Roberts TK. *Anaplasma platys*: an improved PCR  
300 for its detection in dogs. *Exp Parasitol* 2005; 109(3): 176-  
301 180. <https://doi.org/10.1016/j.exppara.2004.11.007>
- 302 Melo ALT, Witter R, Martins TF, Pacheco TA, Alves AS, Chitarra CS, et al. A survey of  
303 tick-borne pathogens in dogs and their ticks in the Pantanal biome, Brazil. *Med Vet  
304 Entomol* 2016; 30(1): 112-116. <https://doi.org/10.1111/mve.12139>
- 305 Moraes-Filho J, Krawczak FS, Costa FB, Soares JF, Labruna MB. Comparative  
306 evaluation of the vector competence of four South American populations of the  
307 *Rhipicephalus sanguineus* group for the bacterium *Ehrlichia canis*, the agent of canine  
308 monocytic ehrlichiosis. *PLoS ONE* 2015; 10(9): e0139386.  
309 <https://doi.org/10.1371/journal.pone.0139386>
- 310 Moraes-Filho J, Marcili A, Nieri-Bastos FA, Richtzenhain LJ, Labruna MB. Genetic  
311 analysis of ticks belonging to the *Rhipicephalus sanguineus* group in Latin America. *Acta  
312 Trop* 2011; 117(1): 51-55. <https://doi.org/10.1016/j.actatropica.2010.09.006>

- 313 Otranto D, Brianti E, Dantas-Torres F, Weigl S, Latrofa MS, Gaglio G, et al.  
314 Morphological and molecular data on the dermal microfilariae of a species  
315 of *Cercopithifilaria* from a dog in Sicily. *Vet Parasitol* 2011; 182(2-4): 221-229.  
316 <https://doi.org/10.1016/j.vetpar.2011.05.043>
- 317 Otranto D, Brianti E, Abramo F, Gaglio G, Napoli E, Latrofa MS, et al. Cutaneous  
318 distribution and localization of *Cercopithifilaria* sp. microfilariae in dogs. *Vet Parasitol*  
319 2012; 190: 143-150. <https://doi.org/10.1016/j.vetpar.2012.05.016>.
- 320 Ramos CAN, Babo-Terra VJ, Pedroso TC, Souza Filho AF, Araújo FR, Cleveland HPK.  
321 Molecular identification of *Hepatozoon canis* in dogs from Campo Grande, Mato Grosso  
322 do Sul, Brazil. *Rev Bras Parasitol Vet* 2015; 24(2): 247-250.  
323 <http://dx.doi.org/10.1590/S1984-29612015019>
- 324 Ramos RAN, Ramos CAN, Araujo FR, Oliveira R, Souza I & Pimentel D. Molecular  
325 survey and genetic characterization of tick-borne pathogens in dogs in metropolitan  
326 Recife (north-eastern Brazil). *Parasitol Res* 2010; 107: 1115-1120.  
327 <http://dx.doi.org/10.1590/0001-3765201720150556>
- 328 Ramos RA, Oliveira RAG, Farias FED, Ramos CA, Carvalho GA, Dantas-Torres F, et  
329 al. Filarioids infecting dogs in northeastern Brazil. *Vet Parasitol* 2016; 226: 26-29.  
330 <https://doi.org/10.1016/j.vetpar.2016.06.025>
- 331 Santos MAB, de Souza IB, de Macedo LO, Ramos CAN, Rego AGO, Alves LC, et al.  
332 *Cercopithifilaria bainae* in *Rhipicephalus sanguineus* sensu lato ticks from dogs in  
333 Brazil. *Ticks Tick Borne Dis* 2017; 8(4): 623-625.  
334 <https://doi.org/10.1016/j.ttbdis.2017.04.007>
- 335 Schreiber C, Krucken J, Beck S, Maaz D, Pachnicke S, Krieger K, et al. Pathogens in  
336 ticks collected from dogs in Berlin/Brandenburg, Germany. *Parasit Vectors* 2014; 7: 535.  
337 <https://dx.doi.org/10.1186%2Fs13071-014-0535-1>
- 338 Sneath PHA, Sokal RR. *Numerical Taxonomy*. Freeman: San Francisco; 1973.
- 339 Soares R, Ramos CA, Pedroso T, Babo-Terra VJ, Cleveland, HPK, Araújo FR. Molecular  
340 survey of *Anaplasma platys* and *Ehrlichia canis* in dogs from Campo Grande, Mato  
341 Grosso do Sul, Brazil. *An Acad Bras Ciênc* 2017; 89(1): 301-306.  
342 <http://dx.doi.org/10.1590/0001-3765201720150556>
- 343 Sousa KC, André MR, Herrera HM, de Andrade GB, Jusi MM, dos Santos LL, et al.  
344 Molecular and serological detection of tick-borne pathogens in dogs from an area

345 endemic for *Leishmania infantum* in Mato Grosso do Sul, Brazil. *Rev Bras Parasitol Vet*  
 346 2013; 22(4): 525-531. <http://dx.doi.org/10.1590/S1984-29612013000400012>

347 Szabó MP, Mangold AJ, João CF, Bechara GH, Guglielmone AA. Biological and DNA  
 348 evidence of two dissimilar populations of the *Rhipicephalus sanguineus* tick group  
 349 (Acari: Ixodidae) in South America. *Vet Parasitol* 2005; 130(1-2): 131-140.  
 350 <https://doi.org/10.1016/j.vetpar.2005.03.008>

351 Tamura K, Stecher G, Peterson D, Filipski A, Kumar S. MEGA6: Molecular Evolutionary  
 352 Genetics Analysis version 6.0. *Mol Biol Evol* 2013; 30(12): 2725-2729.  
 353 <https://doi.org/10.1093/molbev/mst197>

354 Wen B, Rikihisa Y, Mott JM, Greene R, Kim HY, Zhi N, et al. Comparison of nested  
 355 PCR with imunofluorescent antibody assay for detection of *Ehrlichia canis* infection in  
 356 dogs treated with doxycycline. *J Clin Microbiol* 1997; 35: 1852-1855.

357

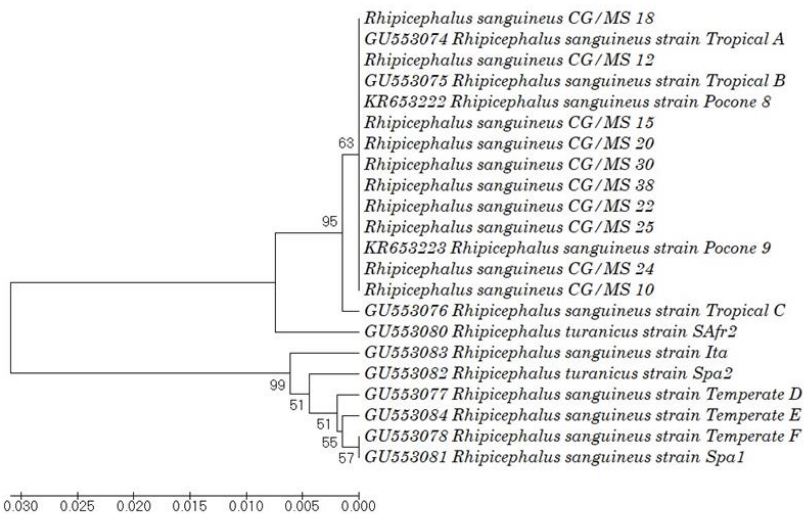
358 **Table 1.** Polymerase chain reaction primers used to test DNA extracts of ticks sampled  
 359 from dogs in Campo Grande, Mato Grosso do Sul, Brazil.

Target organism	Primers (5'-3')	Gene	Amplicon (bp)	Reference
Ticks	16S Tick F- CCGGTCTGAACCTCAGATCAAGT 16S Tick R- GCTCAATGATTAAATTGCTGT	16S rRNA	460	Mangold et al., 1998
<i>Babesia vogeli</i>	Bab1- TGAACCTTATCACTTAAAGG Bab4- CAACTCCTCCACGCAATCG	18S rRNA	590	Duarte et al., 2008
<i>Hepatozoon</i> sp.	HepF- ATACATGAGCAAAATCTCAAC HepR- CTTATTATTCCATGCTGCAG	18S rRNA	666	Inokuma et al., 2002
<i>Ehrlichia canis</i>	ECC - AGAACGAACGCTGGCGGCAAGCC ECB - CGTATTACCGCGGCTGCTGGC HE- ATAGGTACCGTCATTATCTTCCCTAT* ECA-CAATTATTATAGCCTCTGGCTATAGGAA*	16S rRNA	389	Wen et al., 1997
<i>Anaplasma platys</i>	8F- AGTTTGATCATGGCTAG 1448R- CCATGGCGTGACGGCAGTGT PLATYS- GATTTTGTCGTAGCTTGCTATG* EHR16SR- TAGCACTCATCGTTACAGC*	16S rRNA	678	Martin et al., 2005
<i>Cercopithifilaria</i> sp.	Fila12SF- CGGGAGTAAAGTTGTTAAACCG Fila12SR- CATTGACGGATGGTTGTACAC	12S rRNA	330	Otranto et al., 2011
<i>Rickettsia</i> spp.	CS78- GCAAGTATCGGTGAGGATGTAAT Cs323- GCTTCCTTAAATTCAATAATCAGGAT	gltA	401	Labruna et al., 2004

360 \*Used in a nested-PCR reaction

361 **Table 2.** Genbank accession numbers for the DNA sequences amplified from ticks  
 362 sampled from dogs in Campo Grande, Mato Grosso do Sul, Brazil.

Sequence identification	Genbank accession number
<i>Rhipicephalus sanguineus</i> Campo Grande/MS 10	MG793426
<i>Rhipicephalus sanguineus</i> Campo Grande/MS 12	MG793427
<i>Rhipicephalus sanguineus</i> Campo Grande/MS 15	MG793428
<i>Rhipicephalus sanguineus</i> Campo Grande/MS 18	MG793429
<i>Rhipicephalus sanguineus</i> Campo Grande/MS 20	MG793430
<i>Rhipicephalus sanguineus</i> Campo Grande/MS 22	MG793431
<i>Rhipicephalus sanguineus</i> Campo Grande/MS 24	MG793432
<i>Rhipicephalus sanguineus</i> Campo Grande/MS 25	MG793433
<i>Rhipicephalus sanguineus</i> Campo Grande/MS 30	MG793434
<i>Rhipicephalus sanguineus</i> Campo Grande/MS 38	MG793435
<i>Cercopithifilaria bainae</i> Campo Grande/MS 01	MG793436
<i>Cercopithifilaria bainae</i> Campo Grande/MS 02	MG793437
<i>Cercopithifilaria bainae</i> Campo Grande/MS 03	MG793438
<i>Cercopithifilaria bainae</i> Campo Grande/MS 04	MG793439
<i>Cercopithifilaria bainae</i> Campo Grande/MS 05	MG793440
<i>Ehrlichia canis</i> Campo Grande/MS 01	MG793441
<i>Ehrlichia canis</i> Campo Grande/MS 02	MG793442
<i>Ehrlichia canis</i> Campo Grande/MS 03	MG793443
<i>Ehrlichia canis</i> Campo Grande/MS 04	MG793444
<i>Anaplasma platys</i> Campo Grande/MS 01	MG793445
<i>Anaplasma platys</i> Campo Grande/MS 02	MG793446
<i>Anaplasma platys</i> Campo Grande/MS 03	MG793447
<i>Anaplasma platys</i> Campo Grande/MS 04	MG793448
<i>Hepatozoon canis</i> Campo Grande/MS 01	MG793449
<i>Hepatozoon canis</i> Campo Grande/MS 02	MG793450



364

365 **Figure 1.** Phylogenetic tree constructed with the UPGMA method showing the  
 366 relationship between strains of *Rhipicephalus sanguineus* from Campo Grande, MS,  
 367 Brazil, and other isolates available in Genbank.

**CAPÍTULO 4**

1

2

3 Artigo 3- (formatado seguindo as normas da revista: *Veterinary Parasitology: Regional  
4 Studies and Reports*)

5

6 **Giant cutaneous cyst in a dog infected by *Cercopithifilaria bainae***

7

8 Rodrigo Leite Soares<sup>a,\*</sup>, Luana Bobadilha Parolin<sup>b</sup>, Nathália Lopes Fontoura Mateus<sup>b</sup>,  
9 Gabriella Rodrigues Duarte de Figueiredo<sup>b</sup>, Volnei Rebeque Rodrigues<sup>b</sup>, Gustavo Gomes  
10 de Oliveira<sup>b</sup>, Dheywid Karlos Mattos Silva<sup>b</sup>, Flávia Barbieri Bacha<sup>b</sup>, Rafael Antonio do  
11 Nascimento Ramos<sup>c</sup>, Domenico Otranto<sup>d</sup>, Juliane Francielle Tutija <sup>a</sup>, Carlos Alberto do  
12 Nascimento Ramos<sup>a</sup>

13

14 <sup>a</sup> Faculdade de Medicina Veterinária e Zootecnia, Universidade Federal de Mato Grosso  
15 do Sul, Campo Grande, Mato Grosso do Sul, Brazil

16 <sup>b</sup> Hospital Veterinário, Centro Universitário da Grande Dourados, Dourados, Mato  
17 Grosso do Sul, Brazil

18 <sup>c</sup> Unidade Acadêmica de Garanhuns, Universidade Federal Rural de Pernambuco, Recife,  
19 Pernambuco, Brazil

20 <sup>d</sup> Dipartimento di Medicina Veterinaria, Università degli studi di Bari, Valenzano, Bari,  
21 Italy

22

23 \*Corresponding author: Rodrigo Leite Soares, Av. Senador Filinto Muller, 2443, Vila  
24 Ipiranga, Campo Grande, MS, Brasil. e-mail: rodrigo\_fls@hotmail.com

25

26    **Abstract**

27    *Cercopithifilaria bainae* is the most prevalent species of filarioids within the genus. This  
28    parasite localizes in the skin, sometimes causing erythematous dermatitis. Herein, the  
29    authors describe a case of giant cutaneous cyst in a dog infected by *Cercopithifilaria*  
30    *bainae*. A 9-year-old male mixed-breed dog was presented to a veterinary facility in  
31    Dourados, Mato Grosso do Sul (Midwest Brazil) with a mass in the lumbosacral region.  
32    On clinical examination, the mass was observed to be approximately 15 cm in diameter  
33    with a floating consistency and conspicuous presence of viscous fluid; the lesion,  
34    however, was non-ulcerated and non-adherent. Cytological examination revealed the  
35    presence of moderate lymphocyte cellularity and spumous macrophages,  
36    erythrophagocytosis and the presence of numerous microfilariae. After morphological  
37    and molecular analysis of the 12S ribosomal RNA gene, the microfilariae were identified  
38    as *C. bainae*, exhibiting 99-100% identity with DNA sequences available from Genbank.  
39    Surgery was recommended and after resection of the giant cyst, the dog was treated with  
40    ivermectin for two weeks and the clinical condition was completely resolved. Based on  
41    the presence of microfilariae in the cyst fluid the role of this filarioid in the determinism  
42    of the lesion has been discussed.

43    **Keywords:** tick, *Cercopithifilaria*, microfilariae, canine

44

45    **1. Introduction**

46       Up to 28 species of filarioids are included in the genus *Cercopithifilaria* (Filarioida,  
47    Onchocercidae) of which three parasitize the subcutaneous tissue of dogs (i.e.,  
48    *Cercopithifilaria bainae*, *Cercopithifilaria grassi*, and *Cercopithifilaria* sp. II, sensu  
49    (Otranto et al., 2012). Canine infection by *C. bainae* has been frequently reported  
50    worldwide, and its distribution is mainly associated with the presence of its vector, the

51 brown tick *Rhipicephalus sanguineus* sensu lato (Brianti et al., 2012; Latrofa et al., 2014).  
52 In Brazil, information regarding *C. bainae* in dogs and *R. sanguineus* is restricted to case  
53 reports from the Southeast (Almeida and Vicente 1984) and Northeast (Latrofa et al.,  
54 2014; Ramos et al., 2016; Santos et al., 2017). This filarioid is considered of minimal  
55 pathogenic relevance; however, histological researches indicated that the presence of  
56 microfilariae in the skin could cause focal epidermal and subepidermal inflammation,  
57 aside from moderate edematous alterations and perivascular interstitial dermatitis  
58 (Otranto et al., 2012; Boyd et al., 2019). In addition, a case of chronic polyarthritis has  
59 been associated to this filarioid in a dog from Europe (Gabrielli et al., 2014). The aim of  
60 the present study was to report a case of a giant cutaneous cyst in a dog infected by *C.*  
61 *bainae* in Brazil.

62

## 63 2. Materials and methods

64 In March 2019, a 9-year-old male mixed breed dog was presented to the  
65 Veterinary Clinical of UNIGRAN, Dourados, Mato Grosso do Sul (22°12'43" South and  
66 54°49'43" West) with a history of tumor like growth in the lumbosacral region. The  
67 animal had free street access, vaccination against rabies and was previously infested by  
68 ticks. The owner had noticed that the growth had started approximately two months  
69 earlier.

70 Physical examination revealed a mass, approximately 15cm diameter, in the  
71 lumbosacral region with floating consistency and apparently not adhered to the  
72 musculature (Fig. 1a). The animal exhibited normal vital signs and behavioral parameters.  
73 Five adult ticks (three partially engorged females and two males) were collected,  
74 morphologically identified as *R. sanguineus* sensu lato (Barros-Battesti et al., 2006) and  
75 then placed in glass vials containing 70% ethanol until molecular processing.

76 Complementary examinations, such as assessment of complete blood cell count (CBC)  
77 and that of serum alanine transaminase, creatinine, alkaline phosphatase, urea, albumin,  
78 and total plasma protein levels were performed. Total plasma protein level was the only  
79 abnormality noted (10.2g/dl [reference range, 6 to 8g/dl]).

80 Approximately 25mL of fluid was collected from the cyst, an aliquot of which  
81 was submitted to cytological examination, which revealed moderate lymphocyte  
82 cellularity, foamy macrophages, erythrophagocytosis, and the presence of microfilariae.  
83 The same cyst fluid was subjected to a modified Knott's test (Knott 1939), stained with  
84 2% methylene blue, and microfilariae were identified morphologically according to  
85 Otranto et al. (2011) at light microscope (DMi8, Leica, Wetzlar, Germany; original  
86 magnification  $\times 40$ ). Sixty-four microfilariae/10 $\mu$ L were counted, and 10 measured. All  
87 microfilariae were identified as *Cercopithifilaria* sp. (Fig. 2) according to Otranto et al.  
88 (2012).

89 To confirm the filarioid species in the dog through molecular analysis, genomic  
90 DNA of the fluid material was extracted using a protocol previously described by Araújo  
91 et al. (2009). To molecular analysis of filarioid species in ticks, pool of five adult ticks  
92 were submitted to DNA extraction according to Soares et al. (2020). Molecular  
93 characterization of the microfilariae was performed by PCR amplification of the 12S  
94 ribosomal RNA (rRNA) gene (Otranto et al., 2011). DNA from *C. bainae* obtained in a  
95 previous study was used as positive control. Nuclease-free water was used as the no-DNA  
96 control.

97 The amplicons were purified using a commercially available kit (ExoSAP-IT  
98 Express, (Thermo Fisher Scientific Carlsbad, CA, USA) according to manufacturer's  
99 instructions. The samples were sequenced in both directions using the Sanger method and  
100 an automated sequencer (ABI 3130, Applied Biosystems, Thermo-Fisher, Waltham, MA,

101 USA). The chromatograms were evaluated and edited using Contig Editor version 2.2.0  
102 (Gene Studio), and the consensus sequence was submitted to BLAST analysis to  
103 determine sequence identity by comparison with sequences available in the GenBank  
104 database.

105 Blood sample scored negative at the serological tests for *Dirofilaria immitis*,  
106 *Ehrlichia canis*, *Anaplasma* sp., and *Borrelia burgdorferi* (SNAP 4Dx Plus®, IDEXX  
107 Laboratories), and *Leishmania infantum* (DPP® LVC, Bio-Manguinhos®). The  
108 prescribed treatment for the dog included prednisolone (1 mg/kg orally, twice per day for  
109 the first 7 days, and once daily for 7 additional days) to reduce inflammation and the  
110 remaining fluid. To treat microfilaria infection, a combination of moxidectin (minimum  
111 dose of 2.5 mg/kg body weight) and imidacloprid (minimum dose of 10.0 mg/kg body  
112 weight) spot-on (Advocate®, Bayer HealthCare) was prescribed.

113 In May, 2019, the dog returned to the veterinary clinic to assess its clinical  
114 condition. The mass had not decreased and presented a more consistent aspect (Fig. 1b).  
115 A second cytological examination revealed moderate lymphocyte cellularity and foamy  
116 macrophages, and the modified Knott test using fluid cyst detected 60 microfilariae/10  
117 µL. Based on the clinical condition of the animal, the surgical removal of mass was  
118 indicated.

119 During surgery, a red floating mass (approximately 15cm in diameter, weighing  
120 1.2kg) adhered to some points of the musculature was removed (Fig. 3a). The cyst  
121 presented a serosanguineous exudate and irregular firm yellowish nodules with different  
122 sizes (from 1 to 3 cm in diameter) (Fig. 3b). The internal content of cyst was assessed  
123 through bacterial analysis and scored negative. In addition, tissue fragments were fixed  
124 in 10% formalin solution, processed and stained with hematoxylin and eosin for  
125 histopathological analysis. Microscopically, there was a conspicuous amount of fibrous

126 tissue in the deep dermis, focal areas with edema, and a moderate number of plasma cells  
127 and eosinophils associated with moderate foci of hemorrhage and areas of necrosis.

128 After surgery, 250mg *amoxicillin* and 125mg *clavulanic acid* (Agemoxi CL®, 10  
129 mg/kg orally, twice per day for 10 days), 2 mg meloxicam (Maxicam®, 0.2 mg/kg, orally  
130 once per day for 4 days) and 500mg sodium dipyrone (10 drops, three times per day for  
131 5 days) were prescribed. Cleaning with physiological solution in the region of the skin  
132 suture, and application of antimicrobial and epithelial ointment (Vetaglos®, Vetnil, São  
133 Paulo, Brazil, twice per day, for 14 days) was also prescribed.

134 Subsequently suture removal, ivermectin (Mectimax®, 0.3mg/kg, orally, once per  
135 day for the first 7 days and 0.6 mg/kg, once per day, for 7 additional days) was  
136 administered. Seventeen days after surgical resection a complete resolution of the clinical  
137 condition was achieved.

138

### 139 **3. Results**

140 Microfilariae detected in the giant dermal cyst were identified as *Cercopithifilaria*  
141 sp. (Fig. 2) based on measurements (i.e.,  $182 \pm 5.5 \mu\text{m}$  in length,  $4.7 \pm 0.4 \mu\text{m}$  in width)  
142 and morphological features, (i.e., rounded head, dorsoventrally flattened body, and thick  
143 cuticle presenting transverse striations). After PCR of tick and fluid sample with  
144 subsequent DNA sequence analysis of the 12S rRNA gene, it was possible to identify the  
145 species *C. bainae* (identity, 99.62-100%). The DNA sequences obtained in the present  
146 study were deposited in the Genbank database under the accession number MN647587  
147 and MN646393.

148

### 149 **4. Discussion**

150 This study reports a clinical case of giant cutaneous cyst in a dog infected by *C.*  
151 *bainae*. Although the pathogenicity of *C. bainae* had been poorly understood, attention  
152 has been paid by dermatologists and clinicians due to the description of cutaneous  
153 manifestations (i.e., subcutaneous nodules and erythematous dermatitis) (Otranto et al.,  
154 2011; Boyd et al., 2019) and systemic disorders, such as chronic polyarthritis (Gabrielli  
155 et al., 2014). In the present study, the large number of microfilariae (above 60  
156 microfilariae/ 10 µL), their persistence after 2 months of treatment and the absence of  
157 coinfection with other pathogens suggest a putative involvement of *C. bainae* in this  
158 clinical condition.

159 The CBC and biochemical serum analysis did not reveal alterations (i.e., anemia,  
160 thrombocytopenia or increase in serum enzyme levels), which are common in infections  
161 by *Dirofilaria immitis*, causing heartworm diseases (Smith et al., 2015; Monobe et al.,  
162 2016). However, there is no information about hematological alterations associated to *C.*  
163 *bainae* infection, probably due to the subcutaneous localization of this parasite. It is  
164 important to notice that the presence of subcutaneous effusion and *C. bainae* microfilariae  
165 together had never been reported before. Most likely, it should be related to an  
166 exaggerated immune response against the parasite, with fluid sequestration or lymphatic  
167 obstruction.

168 In the present study, the lesions observed in the cyst on histopathological  
169 examination consisted of interstitial plasmacytic and eosinophilic dermatitis associated  
170 with edema, hemorrhage and necrosis. Dermal inflammation reactions (i.e., eosinophilic,  
171 phagocytic hyperplasia and/or granulomatous) have already been described with the  
172 presence of adult worms and/or microfilariae of filarioids infecting dogs, like *C. bainae*,  
173 *Dirofilaria repens* and *Onchocerca lupi* (Boyd et al., 2019; Albanese et al., 2013; Otranto

174 et al., 2013), and should be considered for confirmatory diagnosis and to rule out other  
175 differential diagnoses.

176 Little is known about the treatment of *C. bainae* infections. Previous studies have  
177 demonstrated the inefficacy of the association between melasormin and doxycycline used  
178 for *D. immitis* treatment (Lefoulon et al., 2016; Boyd et al., 2019). Probably, this  
179 inefficiency is related to the melasormin toxicity and doxycycline inefficacy due to the  
180 absence of *Wolbachia* spp. bacteria in *Cercopithifilaria* nematodes (Lefoulon et al., 2016;  
181 Boyd et al., 2019). For a long time, macrocyclic lactones (i.e., ivermectin, moxidectin,  
182 milbemycin) have been used for filarioids control. This has been confirmed by the  
183 successful treatment with moxidectin/imidacloprid (Multi Advantage®, Bayer,  
184 Leverkusen, Germany) of a case of erythematous dermatitis associated with *C. bainae*  
185 infection in a dog (Boyd et al., 2019).

186 The clinical recovery of the animal was achieved after surgical resection and  
187 implementation of a drug protocol based on the use of ivermectin for two weeks. Finally,  
188 in the present study, *C. bainae* have been detected in a tick-infested dog exhibiting a giant  
189 dermal cyst. Considering the presence of microfilariae in the cyst fluid the influence of  
190 this filarioid in the lesion has been speculated.

191

## 192 Competing interests

193 The authors declare no competing interests.

194

## 195 Acknowledgements

196 This work was supported by the Coordination of Improvement of Higher Education  
197 Personnel (CAPES), Brazil (Financing Code 001).

198

199 **References**

- 200 Albanese, F., Abramo, F., Braglia, C., Caporali, C., Venco, L., Vercelli, A., Ghibaudo,  
201 G., Leone, F., Carrani, F., Giannelli, A., Otranto, D., 2013. Nodular lesions due to  
202 infestation by *Dirofilaria repens* in dogs from Italy. Vet Dermatol. 24, 255–e56.
- 203 Almeida, G.L.G., Vicente, J.J., 1984. *Cercopithifilaria bainae* parasita de *Canis*  
204 *familiaris* (L.) (Nematoda, Filarioidea). Atas Soc. Biol. Rio de Janeiro, 24, 18.
- 205 Araújo, F.R., Ramos, C.A.N., Luiz, H.L., Peres, I.A.H.F.S., Oliveira, R.H.M., Souza,  
206 I.I.F., 2009. Avaliação de um protocolo de extração de DNA genômico a partir de  
207 sangue total. Campo Grande: Embrapa Gado de Corte; 5 p. 120 Comunicado Técnico.
- 208 Barros-Battesti, D.M., Arzua, M., Bechara, G.H., 2006. Carapatos de importância  
209 médica- veterinária da região neotropical: um guia ilustrado para identificação de  
210 espécies. São Paulo: Vox/ICTTD-3/Butantan 223p.
- 211 Boyd, M., Santoro, D., Craft, W.F., Ginn, P.E., Childress, A.L., Wellehan, J.F.X.,  
212 Walden, H.S., 2019. Dermatitis caused by autochthonous *Cercopithifilaria bainae*  
213 from a dog in Florida, USA: clinical, histological and parasitological diagnosis and  
214 treatment. Vet. Dermatol. 30, 68-20.
- 215 Brianti, E., Otranto, D., Dantas-Torres, F., Weigl, S., Latrofa, M.S., Gaglio, G., Napoli,  
216 E., Brucato, G., Cauquil, L., Giannetto, S., Bain, O., 2012. *Rhipicephalus sanguineus*  
217 (Ixodida, Ixodidae) as intermediate host of a canine neglected filarial species with  
218 dermal microfilariae. Vet. Parasitol. 10, 330–337.
- 219 Gabrielli, S., Giannelli, A., Brianti, E., Dantas-Torres, F., Bufalini, M., Fraulo, M.,  
220 LaTorre, F., Ramos, R.A., Cantacessi, C., Latrofa, M.S., Cancrini, G., Otranto, D.,  
221 2014. Chronic polyarthritis associated to *Cercopithifilaria bainae* infection in a dog.  
222 Vet. Parasitol. 205, 401-404.

- 223 Knott, J., 1939. A method for making microfilarial survey on day blood. Med. Hyg. 33,  
224 191–196.
- 225 Latrofa, M.S., Dantas-Torres, F., Giannelli, A., Otranto, D., 2014. Molecular detection of  
226 tick-borne pathogens in *Rhipicephalus sanguineus* group ticks. Ticks Tick-borne Dis.  
227 5, 943-946.
- 228 Lefoulon, E., Bain, O., Makepeace, B.L., Haese, C., Uni, S., Martin, C., Gavotte, L.,  
229 2016. Breakdown of coevolution between symbiotic bacteria *Wolbachia* and their  
230 filarial hosts. Peer J. 4, 1840.
- 231 Monobe, M.M., da Silva, R.C., Melanchauski, M.S., Lopes, R.S., 2016. Canine  
232 Heartworm Disease in a Brazilian non-endemic area. Arq. Ciênc. Vet. Zool. UNIPAR.  
233 19, 95-100.
- 234 Otranto, D., Brianti, E., Dantas-Torres, F., Weigl, S., Latrofa, M.S., Gaglio, G., Cauquil,  
235 L., Giannetto, S., Bain, O., 2011. Morphological and molecular data on the dermal  
236 microfilariae of a species of *Cercopithifilaria* from a dog in Sicily. Vet. Parasitol. 182,  
237 221–229.
- 238 Otranto, D., Brianti, E., Latrofa, M.S., Annoscia, G., Weigl, S., Lia, R.P., Gaglio, G.,  
239 Napoli, E., Giannetto, S., Papadopoulos, E., Mirò, G., Dantas-Torres, F., Bain, O.,  
240 2012. On a *Cercopithifilaria* sp. transmitted by *Rhipicephalus sanguineus*: a neglected,  
241 but widespread filarioid of dogs. Parasit. Vectors. 5, 1.
- 242 Otranto, D., Dantas-Torres, F., Giannelli, A., Abramo, F., Ignjatovic' Cupina, A., Petric,  
243 D., Cardoso, L., Mutafchiev, Y., Cortes, H., 2013. Cutaneous distribution and  
244 circadian rhythm of *Onchocerca lupi* microfilariae in dogs. PLoS Negl. Trop. Dis. 7,  
245 e2585.

246 Ramos, R.A., Oliveira Rêgo, A.G., Farias, F.E.D., Ramos, C.A., Carvalho, G.A., Dantas-  
247 Torres, F., Otranto, D., Alves, L.C., 2016. Filarioids infecting dogs in northeastern  
248 Brazil. *Vet. Parasitol.* 226, 26-29.

249 Santos, M.A.B., Souza, I.B., Macedo, L.O., Ramos, C.A.N., Rego, A.G.O., Alves, L.C.,  
250 Ramos, R.A.N., Carvalho, G.A., 2017. *Cercopithifilaria bainae* in *Rhipicephalus*  
251 *sanguineus* sensu lato ticks from dogs in Brazil. *Ticks Tick-Borne Dis.* 8, 623–625.

252 Smith, J.R.F., Tilley, L., Oyama, M., Sleeper, M., 2015. Manual of Canine and Feline  
253 Cardiology. 3th ed. (472p). St. Louis: Elsevier.  
254

255 Fig 1. Tumor in the lumbosacral region associated with *C. bainae* infection in a dog on  
256 March 23, 2019 (A) and May 15, 2019 (B).

257 Fig 2. *Cercopithifilaria bainae* in subcutaneous fluid stained with 2% methylene blue.

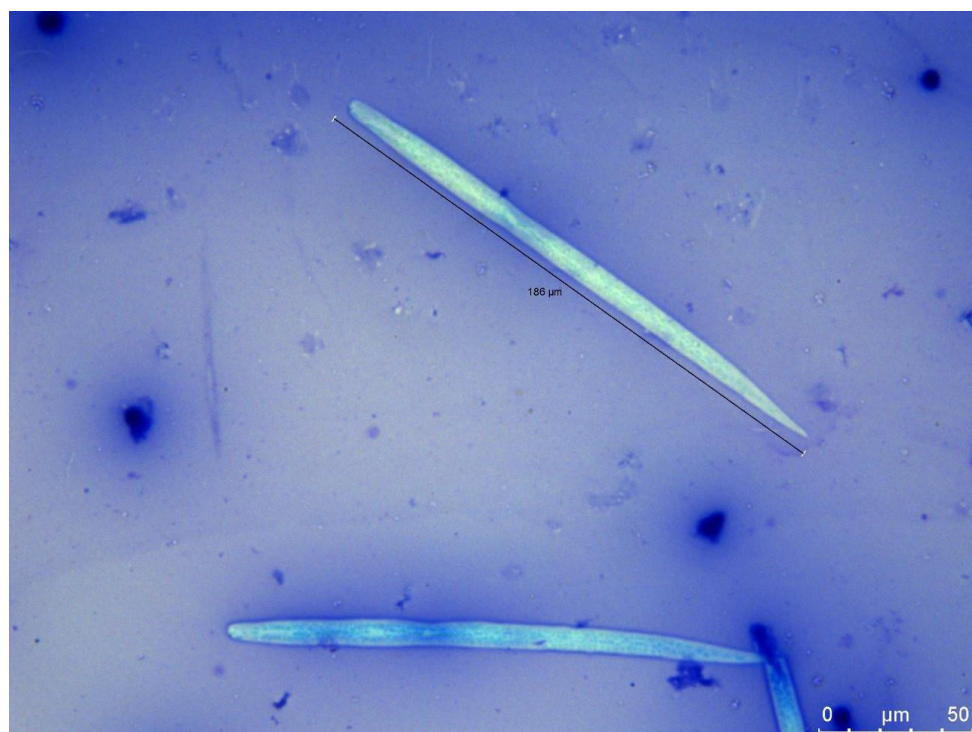
258 Fig 3. Giant cutaneous cyst associated with *C. bainae* infection in a dog. Mass of  
259 approximately 15cm in diameter and weighing 1.2kg removed by surgical procedure (A).  
260 Serosanguinous exudate and abundant irregular nodules with approximately 1 to 3 cm in  
261 diameter present within the mass (B).



262

263 Fig 1. Tumor in the lumbosacral region associated with *C. bainae* infection in a dog on  
264 March 23, 2019 (A) and May 15, 2019 (B).

265



266

267 Fig 2. *Cercopithifilaria bainae* in subcutaneous fluid stained with 2% methylene blue.

268

269

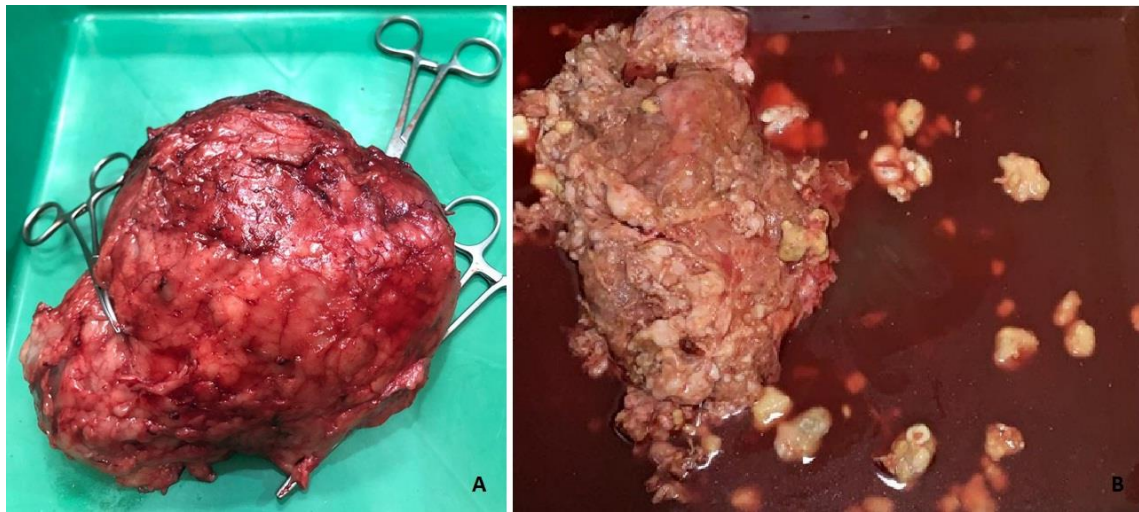


Fig 3. Giant cutaneous cyst associated with *C. bainae* infection in a dog. Mass of approximately 15cm in diameter and weighing 1.2kg removed by surgical procedure (A). Serosanguinous exudate and abundant irregular nodules with approximately 1 to 3 cm in diameter within the mass (B).

## 1 CAPÍTULO 5

2  
3 Artigo 4- (Artigo formatado seguindo as normas da *Acta veterinária Brasílica*)  
4

5 **PRIMEIRO RELATO DE DIROFILARIOSE CANINA (*Dirofilaria immitis*) EM CAMPO  
6 GRANDE, MATO GROSSO DO SUL, BRASIL**

7  
8 Rodrigo Leite Soares<sup>1\*</sup>, Angélica Oliveira da Silva<sup>1</sup>, Mateus Lotério Coelho<sup>1</sup>, Polliana Alves  
9 Franco<sup>2</sup>, Kallyna Flavia Monfort da Silva Ortí<sup>3</sup>, Carlos Alberto do Nascimento Ramos<sup>1</sup>

10  
11 <sup>1</sup> Faculdade de Medicina Veterinária e Zootecnia (FAMEZ), Universidade Federal de Mato  
12 Grosso do Sul (UFMS), Campo Grande, MS, Brasil

13 <sup>2</sup> Laboratório VetAnalisa, Campo Grande, MS, Brasil

14 <sup>3</sup> Clínica veterinária Senhor Pet, Campo Grande, MS, Brasil

15  
16 \*Corresponding author: Rodrigo Leite Soares. E-mail: rodrigo\_flz@hotmail.com.  
17 <https://orcid.org/0000-0002-4821-218X>

18  
19 **RESUMO** - A dirofilariose é uma zoonose emergente de ampla distribuição mundial. No  
20 Brasil, é causada por *Dirofilaria immitis* e transmitida por diferentes espécies de  
21 culicídeos. O presente trabalho tem por objetivo relatar o primeiro caso de dirofilariose  
22 canina em Campo Grande, Mato Grosso do Sul. No dia 6 de setembro de 2018, um canino,  
23 fêmea, poodle, de 14 anos de idade, foi atendido numa clínica veterinária particular de  
24 Campo Grande- MS, apresentando hipertensão arterial e eosinofilia. O animal foi  
25 medicado e após nove dias, retornou com piora do quadro clínico (emese, melena,  
26 taquicardia, taquipneia). Mais exames laboratoriais foram solicitados, em que observou-  
27 se alterações cardíacas, hepáticas, renais e pancreáticas, além da presença de  
28 microfilárias, identificadas morfológicamente como *D. immitis* e confirmada espécie por  
29 teste sorológico e molecular. O animal foi internado, mas veio a óbito no quinto dia. Apesar  
30 de Campo Grande tratar-se de uma área não endêmica, o animal possui relato de viagem  
31 para região litorânea, sem realização de tratamento profilático. Portanto, representa um  
32 caso alóctone de dirofilariose na região.

33

34 **Palavras-chave:** microfilária, verme do coração, canino

35

36 **INTRODUÇÃO**

37

38 Dirofilariose, também conhecida popularmente como “doença do verme do coração”  
39 (*hearthworm disease*), é uma zoonose emergente negligenciada cujo agente etiológico é  
40 *Dirofilaria immitis*. De transmissão vetorial, este nematódeo é responsável por ocasionar  
41 doença crônica de acometimento cardiopulmonar em cães (SEVIMLI et al., 2007).

42

43 Nestes animais a doença possui difícil diagnóstico clínico, pois os sintomas dependem do  
44 número de parasitos adultos presentes, do tempo de evolução da doença e da resposta  
45 imune do hospedeiro. Clinicamente, os animais podem apresentar-se assintomáticos ou  
46 exibirem sinais inespecíficos, como tosse, dispneia, fraqueza, anorexia, e em alguns casos  
47 mais graves, sincope, caquexia, ascite e óbito (SEVIMLI et al., 2007; SMITH et al., 2015).

48

49 O diagnóstico definitivo requer a detecção de antígenos circulantes de fêmeas adultas ou  
50 identificação de microfilárias em amostras sanguíneas mediante análise microscópica  
51 e/ou testes moleculares (DA SILVA; LANGONI, 2009; TAYLOR et al., 2010).

52

53 A distribuição da infecção é cosmopolita e caracterizada como endêmica em áreas  
54 litorâneas tropicais e subtropicais (TAYLOR et al., 2010), sendo relatado prevalências de  
55 14% no Rio de Janeiro (RJ) (LABARTHE et al., 1998); 10,7% em Recife (PE) (ALVES et al.,  
56 1999); 15% em Santa Catarina (ARAÚJO et al., 2003); 8% no Estado de São Paulo (SOUZA;  
57 LARSSON, 2001). Segundo Barbosa; Alves (2006), a prevalência média nacional em cães  
58 é de aproximadamente 10, 2% para cães microfilarêmicos e 9, 1% baseado em testes  
59 sorológicos, no entanto, não há relatos da presença de *D. immitis* em Mato Grosso do Sul.  
60 Portanto, o presente trabalho tem por objetivo relatar o primeiro caso dirofilariose canina  
61 na região.

62

63 **CASUÍSTICA**

64

65 No dia 6 de setembro de 2018, um canino, fêmea, poodle, de 14 anos de idade, foi atendido  
66 numa clínica veterinária particular em Campo Grande, Mato Grosso do Sul ( $19^{\circ}55'04''S$  e  
67  $54^{\circ}21'50''O$ ), sob a queixa de um “nódulo no olho”. O animal era castrado, alimentava- se  
68 unicamente de ração, vacinado e vermifugado anualmente, não possuia acesso à rua e  
69 nem ectoparasitas no momento do atendimento.

70  
71 Ao exame clínico foi observado presença de um nódulo na pálpebra inferior esquerda  
72 (1cm de diâmetro), tempo de perfusão capilar (TPC) 2 segundos, temperatura retal,  
73  $38,5^{\circ}C$ , Frequencia cardíaca (FC) e respiratória (FR) normais e pressão arterial  
74 aumentada (PAS 180 mmHg e PAD:100mmHg).

75  
76 Foi então solicitado hemograma completo e os bioquímicos séricos: alanina  
77 aminotransferase (ALT), creatinina, fosfatase alcalina (FA), ureia, proteínas totais e  
78 globulina. Na análise hematológica observou-se apenas eosinofilia ( $1425/\mu L$ ). Foi  
79 prescrito dipirona 500mg, 1 gota/kg, a cada 12 horas, durante sete dias e Anlodipino, 0,2  
80 mg/kg, VO, a cada 12 horas durante sete dias, para controle da hipertensão arterial.

81  
82 No dia 15/09/2018, o paciente retornou apresentando piora do quadro clínico. O animal  
83 apresentava êmese, melena, taquicardia (135 bpm) e taquipneia (65 rpm). Foi solicitada  
84 a internação do animal e novos exames laboratoriais como, urinálise, razão P/CU,  
85 hemograma, ecocardiograma e bioquímicos séricos: ALT, creatinina, ureia, proteínas  
86 totais, globulina, colesterol, lipase, amilase, cálcio, fósforo, AST, GGT, triglicerídeos,  
87 bilirrubina direta e indireta.

88  
89 No ecocardiograma notou-se dilatação ventricular direita, discreta hipertrofia ventricular  
90 esquerda e insuficiênci a mitral discreta. Na urinálise observou-se proteinuria intensa  
91 (+++) e P/CU aumentada (0,9 mg/dL). Na análise hematológica observou-se aumento nas  
92 enzimas ALT (142 U/L), FA (191,6 U/L), ureia (61,76 mg/dL), amilase (3.689 UI/L),  
93 colesterol (425,98 mg/dL) e lipase (1.979 UI/L). Também havia hemólise acentuada no  
94 plasma, esquitocitos e presença de microfilárias.

95

96 Uma alíquota sanguínea foi encaminhada para identificação morfológica e molecular das  
97 microfilárias. Pelo teste de *Knott* modificado, dez microfilárias foram avaliadas e  
98 mensuradas, apresentando comprimento médio de  $312 \pm 14 \mu\text{m}$  e largura de  $6,2 \pm 0,5$   
99  $\mu\text{m}$ , com extremidade frontal cônica e extremidade posterior reta, sendo então  
100 identificadas como *D. immitis* (Figura 1) de acordo com as descrições de Ramos et al.  
101 (2016). O diagnóstico foi confirmado pelo teste SNAP 4Dx Plus® (IDEXX Laboratórios),  
102 no qual a amostra sanguínea foi reagente para detecção de抗ígenos circulantes de  
103 fêmeas adultas de *D. immitis* e negativo para os demais patógenos (*Ehrlichia* sp.,  
104 *Anaplasma* sp., e *Borrelia* sp.).

105

106 Figura 1. *Dirofilaria immitis* em sangue de cão detectado pelo teste de *knott* modificado.



107

108 Fonte: acervo do autor

109

110 Para caracterização molecular da espécie, DNA genômico da amostra de sangue foi  
111 extraído utilizando o protocolo descrito por Araújo et al. (2009). Em seguida procedeu-se  
112 a PCR (Reação em Cadeia da Polimerase) do gene 12S rRNA de acordo com Otranto et al.  
113 (2011). O produto de amplificação (330pb) foi visualizado após eletroforese em gel de  
114 agarose (2%) e purificado utilizando ExoSAP-IT (Thermo Fisher Scientific Carlsbad, CA,  
115 USA), de acordo com as instruções do fabricante. A amostra foi sequenciada em ambas as

116 direções pelo método de Sanger, usando um sequenciador automatizado 3130-ABI  
117 (Applied Biosystems). Os cromatogramas foram avaliados e editados utilizando o  
118 software Contig editor (Gene Studio) v. 2.2.0, e a sequência consenso (284pb) foi  
119 submetida a análise BLASTn, apresentando 100% de identidade com sequencias 12S  
120 rRNA de *D. immitis*. A sequência de DNA obtida no presente estudo foi depositada no  
121 banco de dados Genbank sob o número de acesso MN947412.

122  
123 Durante internação foi prescrito Silimarina 50mg/kg, a cada 24 horas, Bezafibrato 2,5  
124 mg/kg a cada 12 horas, Omeprazol 1mg/kg a cada 24 horas, Enalapril 0,5m/kg a cada 12  
125 horas, Doxiciclina 10mg/kg a cada 12 horas; Advocate® (Imidacloprida 100 mg,  
126 moxidectina 25 mg) 1mL, dose única. No quinto dia de internação, o animal teve perda da  
127 consciência, bradicardia acentuada, ausência de reflexos, parada cardíorrespiratória e  
128 veio a óbito. Não foi autorizada a necropsia.

129  
130 **DISCUSSÃO E CONCLUSÕES**  
131  
132 Embora a distribuição de *D. immitis* seja cosmopolita e estados vizinhos já terem relatado  
133 a ocorrência desse parasita (FERNANDES et al., 1999; SOUZA; LARSSON, 2001), este trata-  
134 se do primeiro caso relatado de dirofilariose canina no Mato Grosso do Sul.

135  
136 A confirmação do diagnóstico suscitou o questionamento se esse caso seria autóctone, no  
137 entanto, o proprietário relatou que o animal viajou para Macaé no estado do Rio de Janeiro,  
138 entre dezembro e janeiro de 2017, e não foi realizada qualquer medida de prevenção. Pelo  
139 fato do Rio de Janeiro ser endêmico (LABARTHE et al., 1998) e o mês em que as  
140 microfilárias de *D. immitis* foram detectadas se encaixarem perfeitamente com o período  
141 pré patente da doença (DA SILVA; LANGONI, 2009), assume-se que este relato represente  
142 um caso alóctone.

143  
144 Segundo DA SILVA; LANGONI (2009), a introdução e disseminação de *D. immitis* para  
145 áreas antes livres, está associada circulação de cães domésticos infectados. Embora não  
146 seja um caso autóctone, Campo Grande- MS também possui características que podem  
147 favorecer a introdução e permanência do agente, como o clima, desmatamento, falta de

148 saneamento básico, e uma elevada população de vetores em potencial no meio urbano e  
149 periurbano (Ex. *A. aegypti* e *C. quinquefasciatus*).

150

151 Recentemente, um caso de microfilaremia por um outro filarídeo (*Cercopithifilaria bainae*)  
152 também foi relatado nesta cidade (TUTIJA et al., 2020), no entanto assim como para *D.*  
153 *immitis* e *Acanthocheilonema reconditum*, não se sabe a importância clínica e  
154 epidemiológica desses filarídeos na região. Ao contrário de *D. immitis*, esses outros  
155 filarídeos não costumam estar relacionados a condições patológicas graves, no entanto  
156 necessitam ser diferenciados (via análise microscópica, sorológica ou molecular), para  
157 não ocasionar erros no diagnóstico e no tratamento dos animais acometidos (TUTIJA  
158 et al., 2020).

159

160 As alterações clínicas associadas à dirofilariose são resultado de lesões vasculares  
161 causadas pela presença de parasitas no sistema circulatório do animal. Na maioria dos  
162 casos, a doença é assintomática ou apresenta sinais inespecíficos (SEVIMLI et al., 2007;  
163 SMITH et al., 2015). No dia 6/09/2018, os achados clínicos e laboratoriais não permitiram  
164 o reconhecimento antecipado da doença, ocasionando em comprometimento o  
165 prognóstico.

166

167 Embora eosinofilia seja em alguns casos relacionados com dirofilariose (SMITH et al.,  
168 2015; MONOBE et al., 2016), é um achado hematológico inconsistente, pois menos da  
169 metade dos cães com dirofilariose o apresentam, além de ser comumente encontrado  
170 em outras infecções causadas por parasitos nematódeos (MONOBE et al., 2016). Esta  
171 alteração esteve presente no primeiro hemograma, mas não reapareceu nos exames do  
172 dia 15/09/2018, mesmo com a intensificação do quadro clínico.

173

174 Em casos de infecções maciças, são comuns o desenvolvimento de quadros circulatórios  
175 e distúrbios imunomediados. Obstrução de ligações do fluxo sanguíneo pela insuficiência  
176 cardíaca direita leva a deposição de imunocomplexo e fibrina nos glomérulos, podendo  
177 levar à gromerulonefrite e insuficiência renal (TAYLOR et al., 2010; MONOBE et al., 2016).  
178 Os achados ecocardiográficos, proteinuria intensa (+++), azotemia e relação U/PC  
179 aumentada no presente relato foram compatíveis para estas condições.

180

181 Os achados laboratoriais ALT e FA aumentadas no presente relato foram sugestivos de  
182 hepatopatia, estando de acordo com Taylor et al. (2010) que afirmam que a insuficiência  
183 cardíaca direita congestiva também leva ao aumento da atividade das enzimas hepáticas,  
184 congestão e lesão do fígado. Alterações pancreáticas, dadas pelo aumento das enzimas  
185 amilase, lipase, colesterol, também foram observadas. Estas não costumam ser citadas,  
186 porém podem estar relacionadas com casos mais graves da dirofilariose.

187

188 Considerando a gravidade das lesões, com base nas alterações clínicas e laboratoriais  
189 observadas, a combinação de medicamento preventivo (Advocate®) com doxicícina foi  
190 uma conduta correta e de acordo com as diretrizes da *American heartworm society*, sendo  
191 esta fortemente recomendada antes da terapia adulticida (Melaformina) para pacientes  
192 em estágios mais graves, de modo a evitar a morte em massa de parasitas adultos e  
193 consequente obstrução de vasos (MONOBE et al., 2016). Infelizmente, antes de se iniciar  
194 a terapia adulticida o animal veio a óbito.

195

196 Segundo Monobe et al. (2016) subdiagnóstico é o maior problema para esta infecção,  
197 principalmente para os animais que não recebem tratamento profilático e/ou são  
198 imunossuprimidos. Esses casos também são associados com tempo de sobrevida  
199 reduzido, resultando em morte rápida do animal devido à falha cardíaca.

200

201 O presente relato, trata-se de um caso de dirofilariose em um cão idoso, com uma provável  
202 resposta imunitária ineficaz. A condição clínica de sinais leves e não específica, teve rápida  
203 progressão (em menos de duas semanas), resultando em alterações patológicas cardíacas,  
204 hepáticas, renais e pancreáticas, levando o animal a óbito. Porém devido ao deslocamento  
205 do animal para uma região endêmica e sem realização de tratamento profilático,  
206 provavelmente trata-se de um caso alóctone da região.

207

## 208 AGRADECIMENTOS

209

210 Este trabalho foi apoiado pela Coordenação de Aperfeiçoamento de Pessoal de Nível  
211 Superior (CAPES), Brasil (Código de Financiamento 001).

212

213 **REFERÊNCIAS**

214

215 ALVES, L. C. et al. Survey of canine heartworm in the city of Recife, Pernambuco, Brazil.

216 **Memorias do Instituto Oswaldo Cruz**, v. 94, n. 5, p. 587- 590, 1999.

217

218 ARAUJO, R. T. et al. Canine dirifilariasis in the region of Conceicao Lagoon, Florianópolis,  
219 and in the Military Police kennel, São Jose, State of Santa Catarina, Brazil. **Veterinary**  
220 **Parasitology**, v. 113, n. 3-4, p. 239-42, 2003.

221

222 ARAÚJO, F. R. et al. **Avaliação de um protocolo de extração de DNA genômico a partir**  
223 **de sangue total**. Campo Grande: Embrapa Gado de Corte. 2009, n. 5, p. 120, Comunicado  
224 Técnico.

225

226 BARBOSA, C. L.; ALVES, L. C. Dirofilariose canina: situação atual no Brasil. **Revista do**  
227 **Conselho Federal de Medicina Veterinária**, v. 1, p. 57-62, 2006.

228

229 DA SILVA, R. C.; LANGONI, H. Dirofilariasis. Neglected emerging zoonosis. **Ciência Rural**,  
230 v. 39, n. 5, p. 1614-1623, 2009.

231

232 FERNANDES, C. G. N. et al. Ocorrência de dirofilariose canina na região da Grande Cuiabá,  
233 Estado de Mato Grosso-Brasil. **Brazilian Journal of Veterinary Research and Animal**  
234 **Science**, v. 36, n. 5, p. 258-261, 1999.

235

236 LABARTHE, N. V. et al. Mosquito frequency and feeding habits in an enzootic canine  
237 Dirofilariasis area in Niterói, State of Rio de Janeiro, Brazil. **Memórias do Instituto**  
238 **Oswaldo Cruz**, v. 93, n. 2, p. 145- 154, 1998.

239

240 MONOBE, M. M. et al. Canine Heartworm Disease in a Brazilian non-endemic area.  
241 **Arquivos de Ciências Veterinárias e Zoologia da UNIPAR**, v. 19, n. 2, p. 95-100, 2016.

242

- 243 OTRANTO, D. et al. Morphological and molecular data on the dermal microfilariae of a  
244 species of *Cercopithifilaria* from a dog in Sicily. **Veterinary Parasitology**, v. 182, n. 2-4, p.  
245 221-229, 2011.
- 246
- 247 RAMOS, R. A. et al. Filaroids infecting dogs in northeastern Brazil. **Veterinary**  
248 **Parasitology**, v. 226, p. 26-29, 2016.
- 249
- 250 SEVIMLI, F. K. et al. *Dirofilaria immitis* infection in dogs: unusually located and unusual  
251 findings. **Parasitology Research**, v. 101, p. 1487-94, 2007.
- 252
- 253 SMITH, JR. F. et al. **Manual of Canine and Feline Cardiology**. 3. ed. St. Louis: Elsevier,  
254 2015, 472 p.
- 255
- 256 SOUZA, N. F.; LARSSON, M. H. M. A. Frequênciade dirofilariose canina (*D. immitis*) em  
257 algumas regiões do Estado de São Paulo por meio da detecção de antígenos circulantes.  
258 **Arquivo Brasileiro de Medicina Veterinária e Zootecnia**, v. 53, n. 3, p. 321-325, 2001.
- 259
- 260 TAYLOR, M. A.; COOP, R. L.; WALL, R. L. **Parasitologia veterinária**. 3. ed. Rio de Janeiro:  
261 Guanabara-Koogan, 2010, 726 p.
- 262
- 263 TUTIJA, J. F. et al. Microfilaremia by *Cercopithifilaria bainae* in a dog from the central  
264 western region of Brazil. **Arquivo Brasileiro de Medicina Veterinária e Zootecnia**, v.  
265 72, n. 2, 2020.

## CAPÍTULO 6

2

### 3 CONSIDERAÇÕES FINAIS

4 A presente dissertação, composta por quatro artigos, demonstra que por meio  
5 de avaliações da sequência de DNA foi possível confirmar a identificação de *Dirofilaria*  
6 *immitis* e *Cercopithifilaria bainae* infectando cães de Campo Grande, Mato Grosso do  
7 Sul, Brasil, incluindo casos autóctones.

8 Muitos animais infectados por filarídeos são assintomáticos, ou apresentam  
9 sinais leves e não específicos, porém também podem evoluir para lesões mais graves,  
10 sejam sistêmicas (ex. lesões cardiorrespiratórias, hepáticas e renais): como foi  
11 relatado no caso de dirofilariose (artigo 4), ou dérmicas (ex. dermatites, cisto cutâneo  
12 gigante): como relatado na presença de *C. bainae* (artigo 3). Essas informações  
13 servem de alerta para buscar confirmação da espécie de filarídeo, esteja presente no  
14 sangue ou na derme, de modo a não ocasionar em erros no estabelecimento do  
15 diagnóstico, prognóstico e tratamento dos animais acometidos.

16 Dentre os testes avaliados neste estudo, o diagnóstico molecular (PCR do gene  
17 12S rRNA), possui melhor sensibilidade, além de ser útil para classificar espécies de  
18 microfilárias. No entanto, análises microscópicas (ex. teste de Knott modificado e  
19 exame de sedimento de pele) devem ser consideradas como teste de triagem para  
20 detecção de gênero de filarídeos circulando no sangue e/ou presentes na derme,  
21 justamente, por serem mais baratas e fáceis de serem amplamente utilizadas.

22 Medidas preventivas devem ser adotadas quando houver deslocamento de  
23 animais de/para regiões endêmicas para filarídeos, de modo a evitar mais casos  
24 alóctones e autóctones. Considerando que na área de estudo mosquitos e carapatos  
25 (*Rhipicephalus sanguineus*) são predominantes ao longo do ano, medidas profiláticas  
26 também devem ser promovidas e adotas para evitar a infestação de animais por estes  
27 ectoparasitos. Consequentemente, isso irá minimizar os riscos de infecções  
28 (sanguíneas e dérmicas) por filarídeos e outras doenças transmitidas por vetores  
29 artrópodes.

## ANEXOS



Serviço Público Federal  
Ministério da Educação  
**Fundação Universidade Federal de Mato Grosso do Sul**



### C E R T I F I C A D O

Certificamos que a proposta intitulada “Pesquisa molecular de filarídeos caninos e seus potenciais vetores em Campo Grande, Mato Grosso Do Sul, Brasil”, registrada com o nº 961/2018, sob a responsabilidade de **Carlos Alberto do Nascimento Ramos** - que envolve a utilização de animais pertencentes ao filo Chordata, subfilo Vertebrata, para fins de pesquisa científica – encontra-se de acordo com os preceitos da Lei nº 11.794, de 8 de outubro de 2008, do Decreto nº 6.899, de 15 de julho de 2009, e com as normas editadas pelo Conselho Nacional de Controle de Experimentação Animal (CONCEA), e foi aprovado pela COMISSÃO DE ÉTICA NO USO DE ANIMAIS/CEUA DA UNIVERSIDADE FEDERAL DE MATO GROSSO DO SUL/UFMS, na 6ª reunião ordinária do dia 07/08/2018.

FINALIDADE	( ) Ensino ( x ) Pesquisa Científica
Vigência da autorização	1º/08/2018 a 30/06/2020
Espécie/Linhagem/Raça	<i>Canis familiaris</i> / SRD
Nº de animais	80 Machos + 80 Fêmeas = 160
Peso/Idade	Todas as idades
Sexo	Machos e Fêmeas
Origem	Criadores domésticos

Joice Stein

Coordenadora da CEUA/UFMS  
Campo Grande, 08 de agosto de 2018.

Comissão de Ética no Uso de Animais/CEUA  
<http://www.propp.ufms.br/ceua>  
[ceua.propp@ufms.br](mailto:ceua.propp@ufms.br)  
 fone (67) 3345-7925



Serviço Público Federal  
Ministério da Educação  
**Fundação Universidade Federal de Mato Grosso do Sul**



**RESOLUÇÃO N° 77, DE 08 DE MAIO DE 2018.**

**O PRESIDENTE EM EXERCÍCIO DO CONSELHO DE FACULDADE**  
**da Faculdade de Medicina Veterinária e Zootecnia, da Fundação Universidade Federal de**  
**Mato Grosso do Sul, no uso de suas atribuições e considerando a Resolução 43 de 12 de**  
**setembro de 2012 – COUN/UFMS (Regulamento da Comissão de Ética no Uso de Animais**  
**(CEUA), e, o Parecer da Comissão de Pesquisa FAMEZ, instituída pela IS/FAMEZ N° 115, de**  
**21 de outubro de 2016, resolve, ad referendum:**

Manifestar-se favoravelmente pela aprovação do Projeto de Pesquisa, denominado “PESQUISA MOLECULAR DE FILARÍDEOS CANINOS E SEUS POTENCIAIS VETORES EM CAMPO GRANDE, MATO GROSSO DO SUL, BRASIL” sob a Coordenação do Prof. Carlos Alberto do Nascimento Ramos, Siape nº 2142813.

ALEXANDRE MENEZES DIAS.



Documento assinado eletronicamente por **Alexandre Menezes Dias, Diretor(a), Substituto(a)**, em 08/05/2018, às 14:28, conforme horário oficial de Mato Grosso do Sul, com fundamento no art. 6º, § 1º, do [Decreto nº 8.539, de 8 de outubro de 2015](#).



A autenticidade deste documento pode ser conferida no site [https://sei.ufms.br/sei/controlador\\_externo.php?acao=documento\\_conferir&id\\_orgao\\_acesso\\_externo=0](https://sei.ufms.br/sei/controlador_externo.php?acao=documento_conferir&id_orgao_acesso_externo=0), informando o código verificador **0482068** e o código CRC **A480C0DC**.

**GABINETE DA DIREÇÃO DA FACULDADE DE MEDICINA VETERINÁRIA E ZOOTECNIA**

Av Costa e Silva, s/nº - Cidade Universitária

Fone:

CEP 79070-900 - Campo Grande - MS

**Referência:** Processo nº 23104.008046/2018-41

SEI nº 0482068

  
PREFEITURA MUNICIPAL DE CAMPO GRANDE  
ESTADO DE MATO GROSSO DO SUL  
SECRETARIA MUNICIPAL DE SAÚDE

C.I. N. 20.750/GEP/SESAU/2018, 26 de Setembro de 2018.

DE: Gerência de Educação Permanente - SESAU

PARA: Venuska Lahdo - Superintendente

ASSUNTO: Autorização

Informo a autorização do orientador Carlos Alberto do Nascimento Ramos, com título do projeto de PESQUISA MOLECULAR DE FILARIOSES CANINOS E SEUS POTENCIAIS HOSPEDEIROS ARTRÓPODES EM CAMPO GRANDE, MATO GROSSO DO SUL, BRASIL, para iniciar a pesquisa conforme já autorizado no edoc 17409.

E-mail: carlos.nascimento@ufms.br telefone para contato (67)996210544.

Segue anexa a autorização da Comissão de Ética no uso de Animais.

Atenciosamente,



José Alexandre dos Santos  
Assessor Executivo III



**Ministério do Meio Ambiente**  
**CONSELHO DE GESTÃO DO PATRIMÔNIO GENÉTICO**  
**SISTEMA NACIONAL DE GESTÃO DO PATRIMÔNIO GENÉTICO E DO CONHECIMENTO TRADICIONAL ASSOCIADO**

**Certidão**  
**Cadastro nº A9067A5**

Declaramos, nos termos do art. 41 do Decreto nº 8.772/2016, que o cadastro de acesso ao patrimônio genético ou conhecimento tradicional associado, abaixo identificado e resumido, no Sistema Nacional de Gestão do Patrimônio Genético e do Conhecimento Tradicional Associado foi submetido ao procedimento administrativo de verificação e não foi objeto de requerimentos admitidos de verificação de indícios de irregularidades ou, caso tenha sido, o requerimento de verificação não foi acatado pelo CGen.

Número do cadastro: **A9067A5**

Usuário: **Carlos Alberto do Nasolmento Ramos**

CPF/CNPJ: **032.363.314-08**

Objeto do Acesso: **Patrimônio Genético**

Finalidade do Acesso: **Pesquisa**

**Espécie**

**Dirofilaria immitis**

Título da Atividade: **PESQUISA MOLECULAR DE FILARÍDEOS CANINOS E SEUS POTENCIAIS VETORES EM CAMPO GRANDE, MATO GROSSO DO SUL, BRASIL**

**Equipe**

**Carlos Alberto do Nasolmento Ramos**      **UFMS**

Data do Cadastro: **28/06/2018 14:44:04**

Situação do Cadastro: **Concluído**



Conselho de Gestão do Patrimônio Genético  
Situação cadastral conforme consulta ao SisGen em 18:13 de 16/08/2018.



SISTEMA NACIONAL DE GESTÃO  
DO PATRIMÔNIO GENÉTICO  
E DO CONHECIMENTO TRADICIONAL  
ASSOCIADO - SISGEN

**TERMO DE CONSENTIMENTO LIVRE E ESCLARECIDO**  
**INQUÉRITO DE FILARÍDEOS EM CÃES**

Eu \_\_\_\_\_  
Idade \_\_\_\_\_ anos, Sexo \_\_\_\_\_, Naturalidade \_\_\_\_\_ Portador(a) do documento  
RG \_\_\_\_\_ UF: \_\_\_\_\_, residente à Rua: \_\_\_\_\_ n° \_\_\_\_\_,  
Bairro \_\_\_\_\_, tel. \_\_\_\_\_, declaro ter sido informado de que  
estarei participando espontaneamente de um estudo de acadêmico referente a  
filariose canina.

Estou ciente que ao participar desta pesquisa, estarei garantido eticamente e  
poderei desistir a qualquer momento, inclusive sem nenhum motivo, bastando  
para isso, informar minha decisão a(o) pesquisador(a). Minha participação é  
voluntária e sem interesse financeiro, não estando correndo os riscos ou prejuízos  
de qualquer natureza. Os dados referentes à minha pessoa serão sigilosos e  
provados, sendo que poderei solicitar informações durante todas as fases da  
pesquisa, inclusive após a publicação da mesma. Foi-me informado que para a  
pesquisa constará de coleta de ectoparasitas do animal e no domicilio, amostra  
de sangue, fragmento de pele e um questionário, garantindo-se toda a privacidade  
e a confidencialidade destas informações que será realizada pelo Médico Veterinário  
Rodrigo Leite Soares, sob a orientação da professor Dr. Carlos Alberto do  
Nascimento Ramos, telefone de contato (67) 98174-2669 (Rodrigo).

Como o meu anonimato será preservado por questões éticas, **CONFIRMO** estar  
sendo informado por escrito e verbalmente dos objetivos deste estudo científico e  
em caso de divulgação por foto e/ou vídeo **AUTORIZO** a publicação.

Campo Grande \_\_\_\_\_ de \_\_\_\_\_ de 2019.

-----  
Assinatura do participante

## QUESTIONÁRIO EPIDEMIOLÓGICO- FILARIOSE CANINA

Proprietário: \_\_\_\_\_

Nome: \_\_\_\_\_ N° \_\_\_\_\_ ( ) Macho ( ) FêmeaIdade: ( ) 6 a 12 meses ( ) 1 – 5 anos ( ) acima de 5 anos( ) SRD ( ) Raça pura Qual? \_\_\_\_\_Castrado? ( ) Sim ( ) NãoAnimal reside em: ( ) área urbana ( ) rural ( ) periurbana

Origem: \_\_\_\_\_

Visita área rural? ( ) não ( ) sim Onde? \_\_\_\_\_ Frequência? \_\_\_\_\_Alimentação: ( ) caseira ( ) Ração comercial ( ) ambosTem contato com outros animais? ( ) sim ( ) nãoSe sim, com quais? ( )cães ( ) felinos ( ) eqüídeos  
                          ( )silvestres ( )javes ( ) suínosPossui acesso a rua? ( ) sim ( )não

Qual ambiente onde o animal é criado?

( ) Terra ( ) cimento ( )terra/cimentoÉ realizada limpeza ou desinfecção do local? ( )sim ( )nãoCom que freqüência? ( )diária ( )semanal ( ) quinzenal ( ) mensalO animal tomou alguma vacina? ( )Sim ( )nãoSe sim, quais? ( )anti – rábica ( ) contra viroses ( )outraO animal já foi vermifugado? ( )sim ( )não Quando? \_\_\_\_\_Uso de ivermectina? ( ) sim ( )nãoUso de doxiciclina? ( )sim ( )nãoConhecimento sobre a doença? ( ) sim ( )nãoAnimal já fez transfusão de sangue? ( ) não ( ) sim Quando? \_\_\_\_\_Animal tem doença crônica ou infecto-parasitária? ( ) não ( ) sim

Qual(is)? \_\_\_\_\_

Consulta ao veterinário? ( ) Periodicamente ( )nunca ( ) Só quando adoece

## Sinais clínicos

	Apatia		Distensão abdominal		Mucosas palidas		Nódulo subcutaneo
	Anorexia		Edema		Taquicardia		Necrose cutânea
	Letargia		Linfadenomegalia		Taquipneia		Alopecia
	Vômitos		Hepatoesplenomealnia		Febre		Uveíte
	Diarreia		Outros				

## III- DADOS SOBRE VETORES

Apresenta carrapatos? ( ) sim ( ) não

Nº de carrapatos coletados: ( ) larva ( ) ninfa ( ) Adulta ingurgitada  
 ( ) Adulta não ingurgitada ( ) Macho

Animal tem/teve pulga? ( ) sim ( ) não

( ) nº de pulgas coletadas

Queixa de mosquitos? ( ) sim ( ) não

Período de maior queixa? ( ) Manhã ( ) Tarde ( ) Noite

Vegetação nas mediações? ( ) primária ( ) secundária

Nº de mosquitos: ( ) *Culex* sp. ( ) *Aedes* sp. ( ) Flebotomíneos  
 ( ) *Anopheles* sp. ( ) outros

Utiliza de estratégia/medicamento para tratamento e/ou prevenção de ectoparasitos? ( ) sim ( ) não Qual? \_\_\_\_\_

### **Normas das revistas**

Artigo 1: Formatado conforme as normas do periódico: *Parasitology Research*, disponível no link: <https://www.springer.com/journal/436/submission-guidelines>

Artigo 2: Formatado conforme as normas do periódico: *Revista Brasileira de Parasitologia Veterinária- RBPV*, disponível no link: <http://rbpv.org.br/guia-do-autor>

Artigo 3: Formatado conforme as normas do periódico: *Veterinary Parasitology: Regional Studies and Reports*, disponível no link: <https://www.elsevier.com/journals/veterinary-parasitology-regional-studies-and-reports/2405-9390/guide-for-authors>

Artigo 4: Formatado conforme as normas do periódico: *Acta Veterinária Brasílica*, disponível no link: <http://periodicos.ufersa.edu.br/index.php/acta/about/submissions#onlineSubmissions>